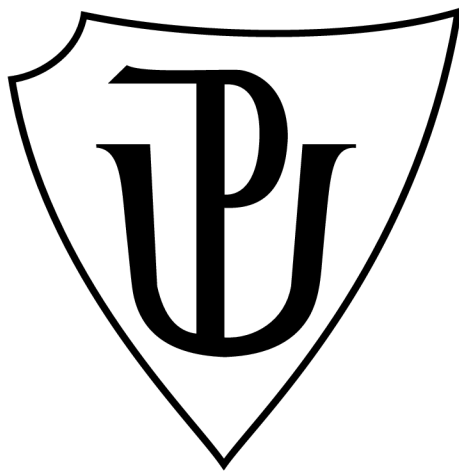


# Univerzita Palackého v Olomouci

Přírodovědecká fakulta

Společná laboratoř optiky UP a FZÚ AV ČR



## Bakalářská práce

Časové rozlišení detekce bezodrazových gama  
fotonů

|                   |                            |
|-------------------|----------------------------|
| Autor:            | Tomáš Jüngling             |
| Studijní program: | Aplikovaná fyzika          |
| Forma studia:     | Prezenční                  |
| Vedoucí práce:    | Mgr. Vlastimil Vrba, Ph.D. |
| Rok:              | 2024                       |

# Bibliografická identifikace

Jméno a příjmení autora: Tomáš Jüngling  
Název práce: Časové rozlišení detekce bezodrazových gama fotonů  
Typ práce: Bakalářská  
Pracoviště: Společná laboratoř optiky UP a FZÚ AV ČR  
Vedoucí práce: Mgr. Vlastimil Vrba, Ph.D.  
Rok obhajoby práce: 2024  
Klíčová slova: Nukleární kvantová optika, časové rozlišení, Mössbauerův jev, gama optické pulzy, časové koincidence, vysokofrekvenční modulace  
Počet stran: 69  
Počet příloh: 1  
Jazyk: Český

# Bibliographical identification

|                       |  |
|-----------------------|--|
| Author's name:        | Tomáš Jüngling   |
| Title:                | Time resolution of recoilless gamma photons detection  |
| Type of thesis:       | Bachelor's   |
| Department:           | Joint Laboratory of Optics of Palacký University and Institute of Physics AS CR  |
| Supervisor:           | Mgr. Vlastimil Vrba, Ph.D.   |
| Year of presentation: | 2024   |
| Keywords:             | Nuclear quantum optics, time resolution, Mössbauer effect, gamma optical pulses, time coincidence, high frequency modulation |
| Number of pages:      | 69   |
| Number of appendices: | 1  |
| Language:             | Czech  |

# Prohlášení

Prohlašuji, že jsem bakalářskou práci na téma „Časové rozlišení detekce bezodrazových gama fotonů“ vypracoval samostatně a s použitím uvedené literatury.

Datum: \_\_\_\_\_

Podpis: .....

# Poděkování

Tímto bych chtěl poděkovat vedoucímu práce Mgr. Vlastimilu Vrbovi, Ph.D. za ochotu, trpělivost a cenné rady během doby vedení této práce. Dále bych neméně rád poděkoval Mgr. Aleši Stejskalovi, Ph.D. především za rady v oblasti experimentální aparatury. V neposlední řadě také děkuji rodině za podporu a trpělivost během mých studií.

# Abstrakt

Práce se zaměřuje na určení časového rozlišení aparatury pro oblast nukleární kvantové optiky. Hodnota časového rozlišení je vyhodnocena na základě provedených časově koincidenčních měření využívajících interakci 14.41 keV gama fotonů s jádry  $^{57}\text{Fe}$ , kde vystupuje jako jeden z parametrů. V práci je dále blíže popsána problematika určení a uveden návrh metodiky, kterou je možné pro vyhodnocení uplatnit.

# Abstract

The presented study focuses on the determination of the time resolution of the apparatus in the field of nuclear quantum optics. The value of time resolution is determined on the basis of performed time-coincidence measurements utilizing the interaction of 14.41 keV gamma photons with  $^{57}\text{Fe}$  nuclei measurements, where it acts as one of the parameters. In the work, the problematics of its determination is further described in detail, and a proposal of the methodology which can be applied for the evaluation is given.

# Obsah

|   |           |
|---|-----------|
| Úvod  | 9         |
| <b>1 Teoretická část</b>                          | <b>10</b> |
| 1.1 Mössbauerova spektroskopie                    | 10        |
| 1.1.1 Bezodrazová emise a absorpce gama fotonů    | 10        |
| 1.1.2 $^{57}\text{Fe}$ Mössbauerova spektroskopie | 12        |
| 1.1.3 Hyperjemné interakce                        | 13        |
| 1.1.4 Efektivní tloušťka absorbátoru              | 15        |
| 1.1.5 Zdroj rezonančních gama fotonů              | 16        |
| 1.2 Detekce gama fotonů                           | 17        |
| 1.2.1 Mössbauerův spektrometr                     | 17        |
| 1.2.2 Detektory                                   | 17        |
| 1.2.3 Fotonásobič                                 | 18        |
| 1.3 Vysokofrekvenční pohyb absorbátoru            | 19        |
| 1.3.1 Spektrální komby                            | 20        |
| 1.3.2 Koincidenční měření                         | 22        |
| 1.3.3 Piezotransducer                             | 23        |
| <b>2 Experimentální část</b>                      | <b>24</b> |
| 2.1 Řídící jednotka spektrometru                  | 26        |
| 2.2 Detektor                                      | 27        |
| 2.2.1 Scintilační materiál                        | 27        |
| 2.2.2 Fotonásobič                                 | 27        |
| 2.2.3 Zesilovač                                   | 28        |
| 2.3 Zářič a pohybové zařízení                     | 30        |
| 2.4 Absorpce gama fotonů                          | 31        |
| 2.5 Vysokofrekvenční modulace                     | 31        |
| 2.5.1 Piezotransducer                             | 31        |
| 2.5.2 Výkonový zesilovač                          | 32        |
| 2.5.3 Generátor funkcí                            | 33        |
| 2.6 Software                                      | 34        |
| 2.6.1 Řízení spektrometru                         | 34        |
| 2.6.2 Analýza koincidenčních experimentů          | 34        |

|          |   |           |
|----------|---|-----------|
| <b>3</b> | <b>Výsledky a diskuze</b>                         | <b>40</b> |
| 3.1      | Kalibrace spektrometru . . . . .                  | 40        |
| 3.2      | Charakterizace absorbátoru . . . . .              | 41        |
| 3.3      | Výběr pracovní oblasti měření . . . . .           | 42        |
| 3.4      | Měření stability v čase . . . . .                 | 46        |
| 3.5      | Korelace parametrů $\sigma_t$ a $p$ . . . . .     | 51        |
| 3.6      | Určení časového rozlišení aparatury . . . . .     | 53        |
| 3.7      | Návrh metodiky . . . . .                          | 55        |
|          | <b>Závěr</b>                                      | <b>57</b> |
|          | <b>Seznam použitých zdrojů</b>                    | <b>60</b> |
|          | <b>Seznam použitých symbolů a zkratk</b>          | <b>61</b> |
| <b>A</b> | <b>Software k fitování koincidenčních spekter</b> | <b>63</b> |



# Úvod

Bakalářská práce se zaměřuje na oblast nukleární kvantové optiky využívající interakce gama záření s tzv. mössbauerovskými jádry. Vhodnou kontrolou experimentálních podmínek lze docílit generace časově proměnné intenzity detekovaného gama záření. Jednou z možností je modifikace vysokofrekvenčními pohyby absorbátorů s mössbauerovskými jádry, jež jsou srovnatelné s dobou života excitovaných stavů jader. Na základě této vysokofrekvenční modulace lze získat časové závislosti intenzity gama záření (například ve formě soustav gama pulzů) při koincidenčních experimentech, kdy se měří čas detekce gama fotonu vzhledem ke startovacímu signálu. Významnou roli v těchto měřeních hraje časové rozlišení experimentální aparatury, které vystupuje jako jeden z parametrů výsledných koincidenčních měření, popisující jak vlastnosti komponent experimentální aparatury, tak také kvalitu jejího nastavení. Tato práce se zabývá právě problematikou určování časového rozlišení v experimentech nukleární kvantové optiky, kdy znalost tohoto parametru pak hraje významnou roli pro správné vyhodnocení experimentálních výsledků.

Cílem této práce je realizace měření časových koincidencí a analýza naměřených dat za účelem vyhodnocení časového rozlišení aparatury pro experimenty nukleární kvantové optiky. Součástí práce je sestavení a otestování experimentální aparatury pro gama optické časově koincidenční měření a určení experimentálních podmínek vhodných pro vyhodnocení časového rozlišení. Pro analýzu experimentálních dat byl navržen softwarový kód v programovacím jazyce Python. V rámci této práce byla též navržena a popsána metodika vyhodnocení časového rozlišení, která může být v budoucnu použita v rámci využívaných gama optických sestav.

Práce je rozdělena do tří hlavních kapitol, kde první kapitola obsahuje stručný úvod do teorie Mössbauerovy spektroskopie a nukleární kvantové optiky s využitím vysokofrekvenčně modulovaného pohybu absorbátoru. Následuje druhá kapitola, ve které je popsáno experimentální vybavení, jež bylo v průběhu měření používáno a vytvořený software pro vyhodnocení provedených koincidenčních měření. V poslední kapitole jsou uvedeny výsledky práce a diskuze řešené problematiky, včetně určení časového rozlišení námi užívané aparatury a popisu metodiky pro její vyhodnocení.

Pro zápis desetinných čísel jsou v celé práci jednotně používány desetinné tečky namísto desetinných čárek.

# 1 Teoretická část

## 1.1 Mössbauerova spektroskopie

Mössbauerova spektroskopie patří mezi velmi významné experimentální metody v oblasti jaderné spektroskopie, se značným přesahem do materiálového výzkumu, chemie, geologie, či studia interakce záření s hmotou [1]. Tato metoda pracuje na bázi stejnojmenného Mössbauerova jevu, jenž využívá bezodrazové emise a absorpce gama fotonů.

### 1.1.1 Bezodrazová emise a absorpce gama fotonů

V případě vyzáření gama fotonu z excitovaného jádra, které přechází do základního stavu, je třeba uvažovat zákon zachování hybnosti. Pokud bude mít vyzářený foton hybnost  $P_\gamma$ , tak musí námi uvažované jádro získat hybnost stejné velikosti, ale opačného směru  $P_r$ . To vede k zavedení energie zpětného rázu  $E_r$ , o kterou je hodnota energie vyzářeného fotonu snížena dle vztahu

$$E_\gamma = E^* - E - E_r, \quad (1.1)$$

kde  $E^*$  a  $E$  ve vztahu (1.1) jsou energie excitovaného jádra a energie základního stavu v tomto pořadí.

Jestliže je uvažovaný atom součástí systému, jako je např. krystalická pevná látka, tak můžeme nahradit hmotnost jednotlivých jader hmotností celého krystalu. To vede z důvodu nepřímé úměry  $E_r$  na hmotnosti k hodnotám  $E_r$ , které se limitně blíží nule. Takový jev, kdy hybnost  $p_\gamma$  je předána celému krystalu, nazýváme bezodrazová emise gama fotonů. Obdobnou úvahu bychom byli schopni provést i pro případ absorpce gama záření a excitace jader, kdy může docházet k bezodrazové absorpci gama fotonů.

V případě Mössbauerova jevu jsou tedy spektrální vlastnosti, jako je třeba šířka spektrální čáry, určeny pouze samotnými vlastnostmi jaderných přechodů. Vzhledem k tomu, že šířky spektrálních čar se pohybují řádově kolem  $10^{-7}$  eV, a energie fotonů  $E_\gamma$  bývá v řádech  $10^3$ – $10^5$  eV, tak je možno docílit rozlišovací schopnosti až  $10^{-12}$  eV.

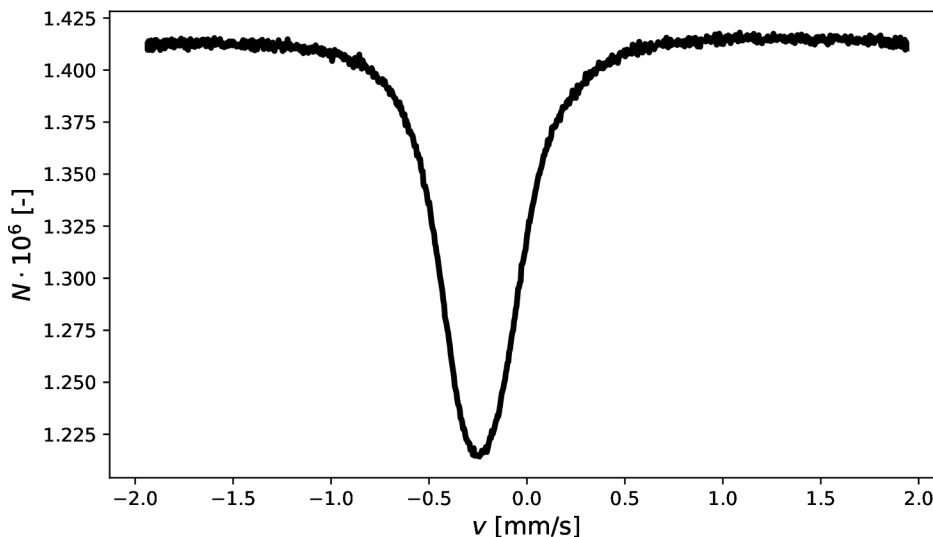
Pro pozorování Mössbauerova jevu je třeba zajistit modulaci energie  $E_\gamma$ , která se pohybuje na úrovni spektrální čáry studovaného materiálu. Za tímto účelem využíváme Dopplerovy modulace, která funguje na principu relativního pohybu zdroje záření a absorpčního materiálu tak, že při pohybu, kdy dochází k přiblížení, je energie záření zvýšena o  $\Delta E$  a naopak při pohybu, kdy se vzdalují, je energie snížena o

$\Delta E$ . Tuto modulaci energie  $\Delta E$  pak můžeme popsat dle vztahu

$$\Delta E = \frac{v}{c} E_0, \quad (1.2)$$

kde  $\Delta E$  je hodnota modulační energie,  $v$  je rychlost, kterou je dopplerovská modulace prováděna,  $c$  je rychlost světla ve vakuu a  $E_0$  je původní energie modulovaného záření, v našem případě gama fotonu. Ze vztahu (1.2) a typických hodnot šířky spektrální čáry a energií gama fotonů lze tedy dopočítat, že je třeba docílit pohybu o rychlostech v řádu mm/s. Těchto rychlostí lze snadno docílit za použití pohybových zařízení, které s daným zářičem nebo absorbátorem, vykonávají již zmiňovaný dopředný a zpětný periodický pohyb. Nejčastěji se využívají trojúhelníkové, nebo pilovité rychlostní profily, které zajišťují rovnoměrné zastoupení rychlostí.

Příklad, jak může takové Mössbauerovo spektrum vypadat, lze vidět na obrázku 1.1, kde na vodorovné ose vidíme rychlosti dopplerovské modulace a svislá osa nám udává počet detekcí  $N$  v závislosti na  $v$  (tedy  $\Delta E$ ). Zde se konkrétně jedná o data naměřena pomocí transmisní Mössbauerovy spektroskopie (TMS), tedy transmisního (přímého) geometrického uspořádání zářič–absorbátor–detektor. V tomto případě můžeme pozorovat pokles počtu detekcí v oblasti spektrální čáry absorbátoru, který je dán tím, že opětovně vyzářený absorbovaného fotonu má pravděpodobnostní charakter a foton je vyzařován do všech směrů, zatím co záření s energiemi mimo tuto spektrální čáru absorbátoru, prochází beze změny (uvažujeme-li pouze rezonanční interakci fotonu s jádry). Dalším často užívaným uspořádáním Mössbauerovy spektroskopie je uspořádání zpětného rozptylu, kde je uvažovaný detektor mimo osu zářiče a absorbátoru. Dochází tedy pouze k detekcím rozptýlených fotonů [2].



**Obrázek 1.1:** Příklad Mössbauerova spektra v režimu uspořádání TMS.

Nakonec je vhodné zmínit, že z různých důvodů byl Mössbauerův jev pozorován pouze u řádově desítek různých izotopů [3]. Mezi těmito izotopy jsou dále i takové,

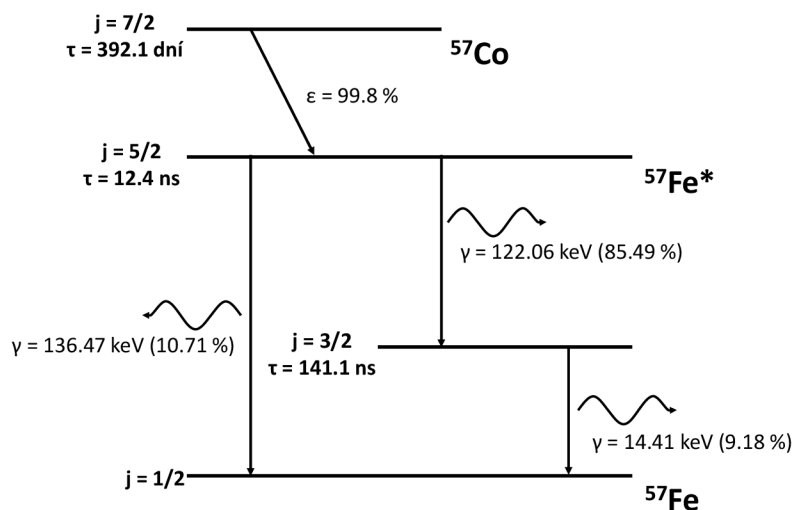
kteřé bud nejsou vhodné pro výrobu zářičů, případně mají příliš krátký poločas rozpadu, aby byly použitelné. V literatuře je uváděno, že počet použitelných izotopů nabývá hodnoty 45 izotopů [4]. Existuje i alternativa k zářičům, která nevyužívá rozpadu radioizotopů, ale synchrotronového záření. Tato metoda nám dovoluje studium více materiálů, avšak za cenu nižší dostupnosti.

### 1.1.2 $^{57}\text{Fe}$ Mössbauerova spektroskopie

V případě Mössbauerovy spektroskopie s izotopem  $^{57}\text{Fe}$  se zabýváme přechodem prvního excitovaného stavu do základního s energií  $E_\gamma \approx 14.41$  keV, s dobou života  $\tau = 141.1$  ns. Spektrální šířku tohoto přechodu jsme tedy schopni dopočítat pomocí vztahu

$$\Gamma_0 = \frac{\hbar}{\tau}, \quad (1.3)$$

kde  $\Gamma_0$  je šířka spektrální čáry (FWHM),  $\hbar$  je redukovaná Planckova konstanta  $\hbar = \frac{h}{2\pi}$  a  $\tau$  doba života. Z výpočtu Heisenbergova principu neurčitosti (1.3) pak víme, že  $\Gamma_0$  nabývá hodnoty 4.66 neV. Samotné železo  $^{57}\text{Fe}^*$  v excitovaném stavu pak vzniká při radioaktivní přeměně  $^{57}\text{Co}$ . Pro přehlednost přeměnové schéma  $^{57}\text{Co}$  uvádíme na obrázku 1.2.



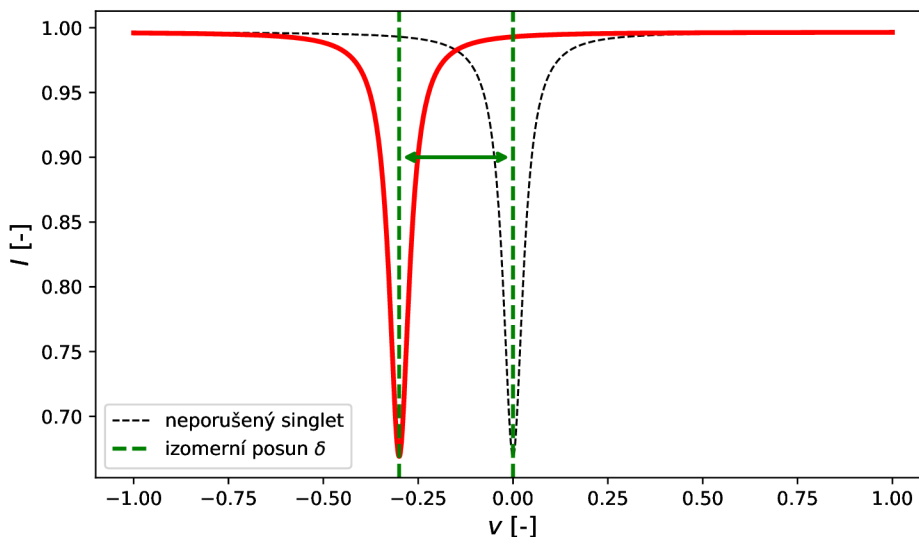
**Obrázek 1.2:** Rozpadové schéma  $^{57}\text{Co}$ , který přechází na  $^{57}\text{Fe}$ .

Veličina  $j$  zde reprezentuje kvantování celkového momentu hybnosti a  $\tau$  dobu života na dané energetické hladině. Dále kromě gama fotonů z výše vyobrazených přechodů lze zaznamenat konverzní elektrony a rentgenové záření o energii přibližně 6 keV. To je spojeno s nižší pravděpodobností vyzáření fotonu o energii 14.41 keV, jelikož dochází k interakcím těchto fotonů s elektrony na vnitřních slupkách atomu, a tak k uvolnění Augerových a konverzních elektronů, za doprovodu rentgenového záření. Jak již bylo zmíněno, tak nás budou zajímat právě fotony s energií 14.41 keV

a z tohoto důvodu je nutné stínit detektor před zářením v oblasti 6 keV, aby nedocházelo k zahlcení detektoru a následnému „pile-up“ efektu. Popis a metodika tohoto odstínění bude popsána v sekci 2.2.2 a 2.4.

### 1.1.3 Hyperjemné interakce

Vlivem působení elektrických a magnetických polí, které jsou tvořeny elektrony v atomové slupce samotného Mössbauerova jádra, či sousedícími atomy, vznikají „poruchy“ v energetické struktuře jader. Interakce jader s těmito elektrickými a magnetickými poli se souhrnně označují jako hyperjemné interakce. Mezi hyperjemné interakce, které je nutno v oblasti Mössbauerovy spektroskopie zohlednit, patří posun energetických hladin (interakce elektrického monopólu), nebo rozštěpení hladin (interakce elektrického kvadrupólu a magnetického dipólu). Právě znalosti hyperjemných interakcí většinou poskytují velmi cenné informace o lokálních elektrických a magnetických vlastnostech okolí daných jader ve studovaném materiálu [5].



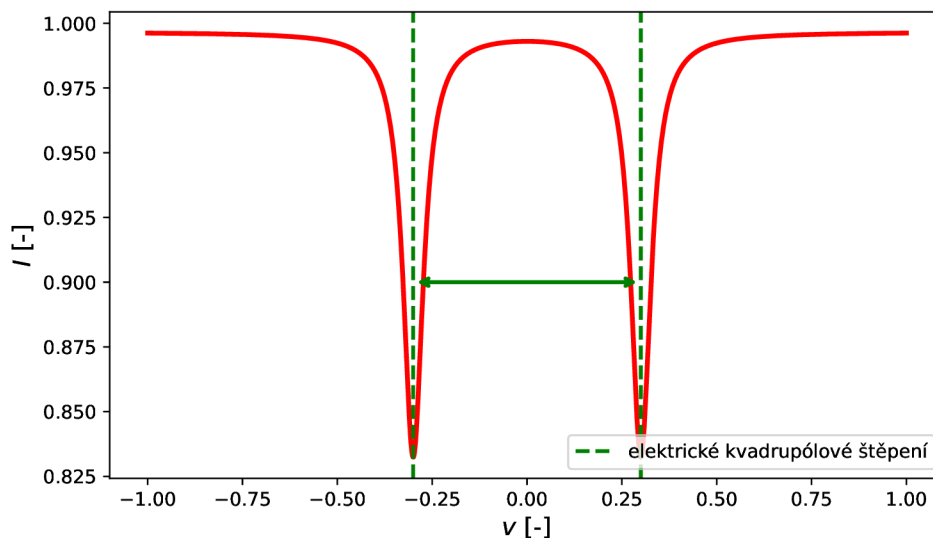
**Obrázek 1.3:** Ukázka izomerního posunu  $\delta$  simulovaná za pomoci Lorentzových funkcí.

Díky interakci elektrického monopólu dochází vlivem různých distribucí náboje v různých okolích  $^{57}\text{Fe}$  k relativnímu posunu energetických hladin. Tento posun se nazývá izomerní posun  $\delta$  a jak název napovídá, tak je způsobován primárně tím, že atomy stejného prvku, ale jiného izomeru, mají také různé energetické hladiny (jak  $\delta E_g$ , tak i  $\delta E_e$ , tedy excitované a základní hladiny)<sup>1</sup>. Důsledkem je, že dochází k posunu spektrální čáry, a k absorpci  $\gamma$  fotonů dochází pouze tehdy, je-li dané příchozí záření dopplerovskými modulováno. Tento efekt si nyní názorně ukážeme na simulovaném Mössbauerově spektru za pomoci Lorentzovy funkce, jak lze pozorovat na obrázku 1.3, kde na horizontální ose máme bezrozměrné rychlosti dopplerovské

<sup>1</sup>Izomerní posun  $^{57}\text{Fe}$  bývá typicky vztažen k  $\alpha\text{Fe}$ .

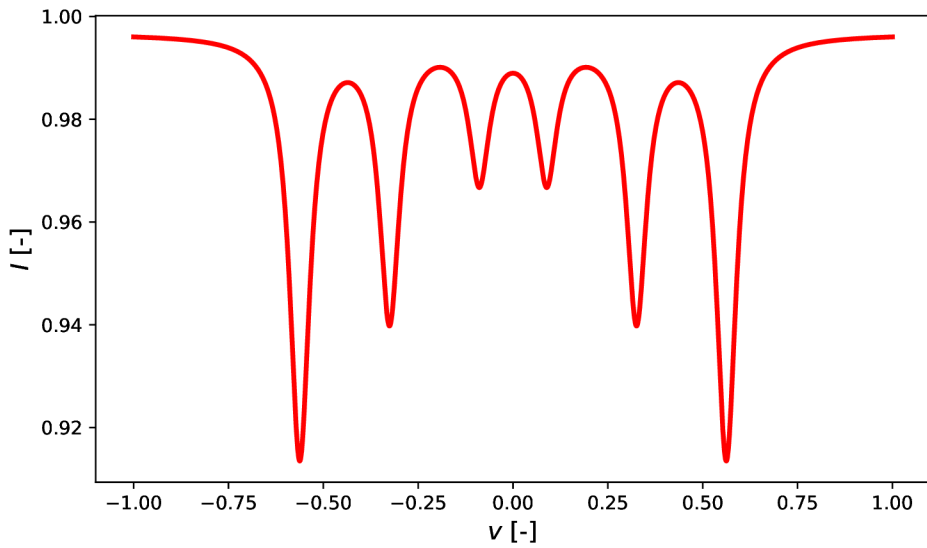
modulace  $v$  a na vertikální ose bezrozměrnou intenzitu  $I$ . Jedná se o spektrum singletu, tedy spektra bez rozštěpeného rezonančního přechodu.

Další hyperjemnou interakcí je interakce elektrického kvadrupólu vedoucí na kvadrupólové štěpení hladin. K tomuto jevu dochází vlivem různých uspořádání elektronových obalů atomů a uspořádání atomů v krystalové mřížce, které svým působením deformují tvar atomového jádra. To je v kvantové mechanice popsáno za pomoci kvantového čísla  $j$ , které popisuje celkový spin jádra. Příklad tohoto štěpení pak může být takový, že první excitovaná hladina na obrázku 1.2 s  $j = 3/2$  může být rozštěpena do dvou degenerovaných hladin s  $m = \pm 3/2$  a  $m = \pm 1/2$ , kde  $m$  je kvantové číslo reprezentující průmět spinu do osy kvantování. Výsledné Mössbauerovo spektrum pak může vypadat, jak je naznačeno na obrázku 1.4, kde jsme opět využili simulace pomocí Lorentzovských funkcí. Výsledné spektrum pak nabývá tvaru dubletu, tedy spektra s dvěma rezonančními přechody.



**Obrázek 1.4:** Ukázka kvadrupólového štěpení simulovaná za pomoci Lorentzových funkcí.

Poslední interakci, kterou si zde popíšeme, je magnetická interakce jader související s magnetickým hyperjemným štěpením (jaderný Zeemanuv jev). K tomu dochází interakcí s magnetickým polem prostřednictvím magnetického dipólového momentu  $\vec{\mu}$ . U tohoto jevu dochází pro  $^{57}\text{Fe}$  k rozštěpení rezonančního přechodu do takzvaného sextetu s relativními intenzitami spektrálních čar v poměru 3:2:1:1:2:3, jak lze pozorovat na obrázku 1.5.



**Obrázek 1.5:** Ukázka magnetického dipólového štěpení simulovaná za pomoci Lorentzových funkcí.

Dále jsou samozřejmě také možné různé kombinace výše popsáných jevů. Tato tematika ovšem převyšuje rozsah této práce. Podrobnější informace lze nalézt v příslušné literatuře [3, 5].

#### 1.1.4 Efektivní tloušťka absorbátoru

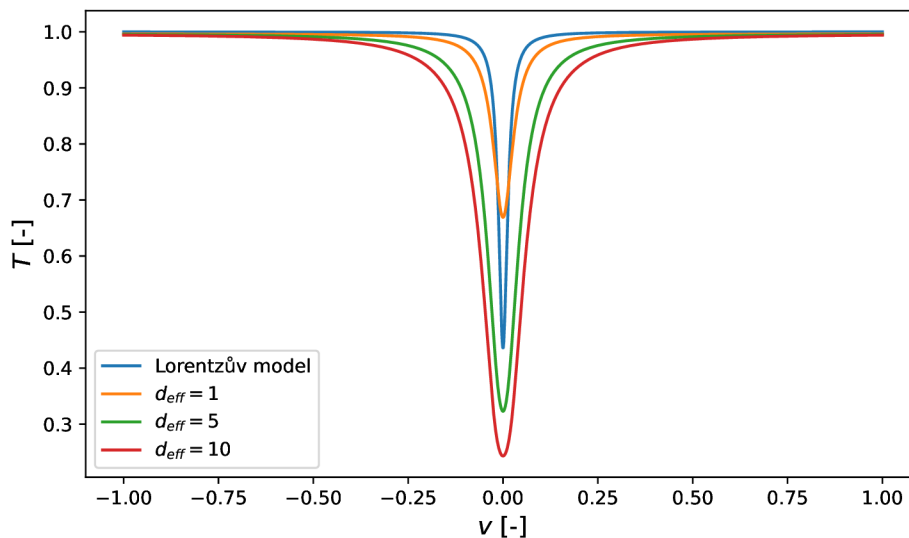
Mössbauerova spektra bývají převážně popisována za pomoci Lorentzových funkcí

$$S(E_\gamma) = \frac{1}{\pi} \frac{\frac{\Gamma_0}{2}}{(E_\gamma - E_a)^2 + (\frac{\Gamma_0}{2})^2}, \quad (1.4)$$

kde  $E_\gamma$  je energie gama fotonu a  $E_a$  představuje energii nukleárního přechodu absorbátoru. Pro přesnější popis si však s jednoduchým modelem jako je v (1.4) nevystačíme. Z důvodu, že tento model popisuje situace pouze pro ideální tenký absorbátor, kde dochází jen k jedné absorpci a vyzáření, tak se zavádí model transmisního integrálu [5] ve tvaru

$$S(E_\gamma)_{\text{TI}} = \frac{1}{\pi} \int_{-\infty}^{\infty} \frac{\frac{\Gamma_0}{2}}{(E - E_\gamma)^2 + (\frac{\Gamma_0}{2})^2} \exp\left(-d_{\text{eff}} \frac{(\frac{\Gamma_0}{2})^2}{(E - E_a)^2 + (\frac{\Gamma_0}{2})^2}\right) dE. \quad (1.5)$$

Jak lze pozorovat, tak má výraz (1.5) podobu konvoluce emisní čáry a odezvy absorbátoru, kde  $d_{\text{eff}}$  představuje efektivní tloušťku absorbátoru [5]. Efektivní tloušťka absorbátoru je bezrozměrný parametr, shrnující vlastnosti rezonanční absorpce jaderného systému v dané látce. Porovnání těchto modelů si lze prohlédnout na obrázku 1.6.



**Obrázek 1.6:** Porovnání modelů Lorentzovy funkce a transmisního integrálu pro různé  $d_{\text{eff}}$ . Horizontální osa představuje rychlosti dopplerovské modulace a vertikální transmisí záření absorbátorer.

### 1.1.5 Zdroj rezonančních gama fotonů

V jaderné fyzice, či fyzice využívající zdroje záření s vysokými energiemi, existuje mnoho zdrojů ionizujícího záření. Ty bychom mohli rozdělit do skupin, jako jsou: kosmické záření, radioizotopy, zdroje rentgenového záření, urychlovače částic, případně synchrotrony. My se v této sekci omezíme především na zdroje záření na bázi radionuklidů.

Jedná se o širokou škálu materiálů, s různými druhy a energiemi záření. I přesto, že existují metody, jak dosáhnout téměř jakéhokoliv záření za pomoci urychlovačů či synchrotronů, tak může být využití radionuklidů značně výhodné, především z důvodu dostupnosti, kompaktnosti (realizace v poměrně malé aparatuře) anebo stability (možnost nepřerušovaného dlouhodobého provozu).

Z důvodu, že v našich experimentech využíváme Mössbauerova jevu, tak se také omezíme na radionuklidy, jenž se vyznačují právě bezodrazovou emisí a absorbcí gama fotonů. Příkladem takových isotopů mohou být například:  $^{151}\text{Eu}$ ,  $^{103}\text{Rh}$ , nebo nejčastěji užívaný  $^{57}\text{Co}$ .

Právě zmiňovaný  $^{57}\text{Co}$  byl použit i v našich experimentech. Po takovémto zdroji záření požadujeme především vysokou aktivitu užitečného záření (v našem případě 14.41 keV  $\gamma$  fotonů), co nejnižší aktivitu jiného záření, a také co nejužší spektrální šířku čáry pro užitečné záření [6]. Šířka spektrální čáry pro 14.41 keV přechod  $^{57}\text{Fe}$ , jak jsme si již za pomoci (1.3) ukázali, nabývá hodnoty 4.66 neV. Avšak této hodnoty nelze dosáhnout za současného splnění i dalších zmiňovaných požadavků, které na zářič máme.

Samotný radioisotop bývá obsažen v pevnolátkové matici. Pro  $^{57}\text{Co}$  jsou nejvhodnější materiály s kubickou FCC nebo BCC krystalickou strukturou [7]. Námí použitý zdroj konkrétně využívá rhodiové matrice, do které jsou atomy  $^{57}\text{Co}$  difun-



dovány. Rh patří k materiálům, které šířku spektrální čáry rozšiřují nejméně. Dále může mít na šířku spektrální čáry vliv také samotná příprava zdroje, kupříkladu atmosferický vodík, který vniká do matrice, nebo rychlost difuzního procesu.

## 1.2 Detekce gama fotonů

Stejně jako v optice světelné detektory ve viditelné oblasti spektra patří detekce gama záření k jedné z hlavních disciplín odvětví nukleární fyziky a souvisejících vědních oblastí. V této sekci si stručně popíšeme detektory ionizujícího záření, jež jsou nedílnou součástí každé aparatury, související s prací s ionizujícím zářením a také stručně uvedeme základní popis Mössbauerova spektrometru.

### 1.2.1 Mössbauerův spektrometr

Mössbauerův spektrometr je zařízení určeno k záznamu mössbauerovských spekter. Je tedy nutno, aby takovéto zařízení disponovalo jak detekční částí, tak i blokem pro řízení rychlostního profilu pohybového zařízení, jež je nezbytný k dopplerovské modulaci vyzářených gama fotonů, což nám umožňuje realizovat vybraný rozsah rychlostí (z principu relativity je jasné, že lze místo zářiče modulovat pohyb absorbátoru).

Detekční část je realizována za pomoci komparátorů a diskriminátorů, jež nám umožňují vybrat a přiřadit požadované pulzy, vystupující z detektoru k rychlostem pohybového zařízení (modulované energii).

Řízení rychlosti transduceru<sup>2</sup> je povětšinou realizováno převodem zadávacího napětí na proud, který je následně využit k excitaci zadávací cívky transduceru. Důležitá je v tomto případě znalost odezvové charakteristiky transduceru, jejímž změřením získáme informaci o souvislosti mezi zadávacím napětím a příslušným proudem.

### 1.2.2 Detektory

Obecně bychom mohli říci, že se detektory ionizujícího záření dělí do tří hlavních kategorií, ale samozřejmě jich je mnohem více a každá má jiná specifika a použití. Tyto tři kategorie jsou plynové detektory, scintilační detektory a polovodičové detektory, které se zejména v posledních letech těší stálému vývoji a rostoucímu využití. My jsme však v našich experimentech použili scintilační detektory, jejichž specifika budou popsána v sekci 2.2, avšak nejdříve jednotlivé metody detekce a jejich specifika popíšeme.

Plynové detektory fungují na principu ionizace plynu, kde jsou ionty a uvolněné elektrony urychlovány pomocí elektrického pole a zachytávány elektrodami. V dnešní době již nejsou až na jisté specifické oblasti (například měření ve vysokých magnetických polích) běžně užívány v tak vysoké míře. Důvodem je zejména nízká účinnost detekce, střední energetické rozlišení, středně dobré časové rozlišení a poměrně velké rozměry.

---

<sup>2</sup>Pohybové zařízení budeme v této práci dále označovat pomocí anglického názvu transducer.

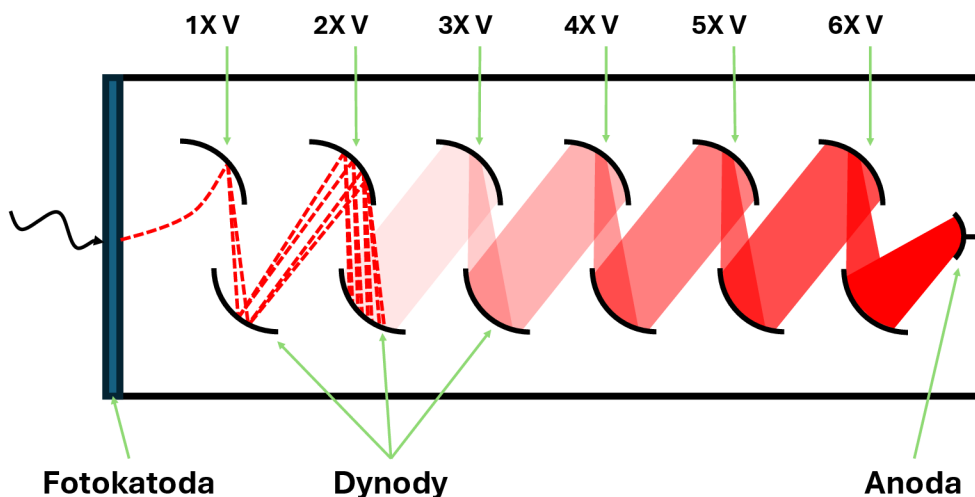
Často využívanou alternativou detektorů ionizujícího záření jsou detektory scintilační. Ty fungují na principu scintilace, což je přeměna ionizujícího záření na záblesky viditelného světla, jenž jsou následně dále zesíleny pomocí fotonásobiče (PM což je zkratkou z anglického „photomultiplier“). V současné době se jedná nejspíše o nejvyužívanější metodu detekce ionizujícího záření, a to především díky velmi dobrému poměru mezi parametry detektoru a cenou. Celkově lze shrnout, že scintilační detektory mají střední účinnost detekce záření, průměrné až nadprůměrné energetické rozlišení, dobré časové rozlišení a prostorové rozlišení, které je závislé především na výběru fotonásobiče.

Poslední druh detektoru, který si zde uvedeme, jsou detektory polovodičové. Ty fungují na principu PN přechodu, který je zapojen do závěrného směru. Při průletu ionizujícího záření PN přechodem dochází k excitaci elektronů, které se dostávají do vodivostního pásu a vznikají elektron-děrové páry. Jak již bylo zmíněno, tak lze říci, že se v současnosti jedná o nejlepší metodu detekce ionizujícího záření. Tomu nasvědčuje především vysoká účinnost a výborné energetické, časové a prostorové rozlišení. Nevýhodou je však vysoká cena a vysoká teplotní závislost.

Detailnějšího popisu detektorů ionizujícího záření je možné se dočíst např. v [8, 9], nebo [10], kde je detailnější popis především scintilačních materiálů.

### 1.2.3 Fotonásobič

Fotonásobič patří do skupiny detektorů, pracujících na principu vnějšího fotoelektrického jevu. Jedná se o zařízení obsahující fotokatodu, která musí být vhodně volena, aby odpovídala vlnové délce fotonů, které chceme detekovat. V našem případě se jedná o scintilační fotony scintilátoru YAP:Ce, který má vyzařovací maximum na vlnové délce 370 nm. Dále musí fotonásobič obsahovat sérii dynod, které zajišťují emisi sekundárních fotoelektronů. Většinou lze nalézt 15-20 dynod, kde na každé jeden elektron vyrazí dva, či více sekundárních elektronů a dochází tak k lavinovému jevu. Avšak, aby mohlo k této sekundární fotoemisi dojít, tak je třeba zajistit i urychlení elektronů, k němuž je využito zdroje vysokého napětí a také děliče napětí. Dělič napětí slouží k vytvoření skokového rozdělení napětí tak, aby se každá dynoda nacházela na větším potenciálu. Schéma typického fotonásobiče si lze prohlédnout na obrázku 1.7.



**Obrázek 1.7:** Schéma konstrukce fotonásobiče. Potenciály jednotlivých dynod jsou zde uvedeny jako  $nX V$ .

Obecně však nejsme omezeni pouze výše zobrazenou konstrukcí, ale máme celou řadu různých fotozesilovačů s širokou škálou využití. Jako příklad bychom si mohli uvést například gradientní fotonásobiče, které jak název naznačuje nevyužívají skokové změny napětí z dynody na dynodu, ale gradientní změny napětí v jednom z mnoha kanálků fotonásobiče. Takovéto zařízení se pak nazývá kanálkový fotonásobič, jehož výhodou je schopnost poskytnout prostorovou informaci o dopadajícím záření [8].

Nyní ještě stručně zmíníme některé z parametrů fotonásobičů. Mezi hlavní parametry patří účinnost. Ta je dělena na kvantovou účinnost fotokatody (pravděpodobnost vyražení elektronu) a účinnost kolekce, která nám říká, kolik fotoelektronů je zachyceno další dynodou (do velké míry závislé na geometrické konstrukci PM). Celkové účinnosti se pak pohybují v rozmezí 20 % až 40 %. Dalšími důležitými parametry fotonásobičů jsou časová odezva a energetické rozlišení. Tato rozlišení nám říkají to, jak rychle je fotonásobič schopen reagovat na dopadající fotony a jaký je nejmenší energetický rozdíl, který jsme pomocí fotonásobiče ještě schopni zaznamenat v tomto pořadí.

### 1.3 Vysokofrekvenční pohyb absorptoru

Jak bylo v předchozí sekci ukázáno, tak Mössbauerovo spektrum v energetické doméně může nabývat tvarů singletu, dubletu, nebo sextetu v závislosti na hyperjemných interakcích. To je pravdou za předpokladu, že v případě dopplerovské modulace zářiče je absorptor v klidu. V této kapitole se ovšem zaměříme na případ, kdy tomu tak není a absorptor je vysokofrekvenčně modulován.

### 1.3.1 Spektrální komby

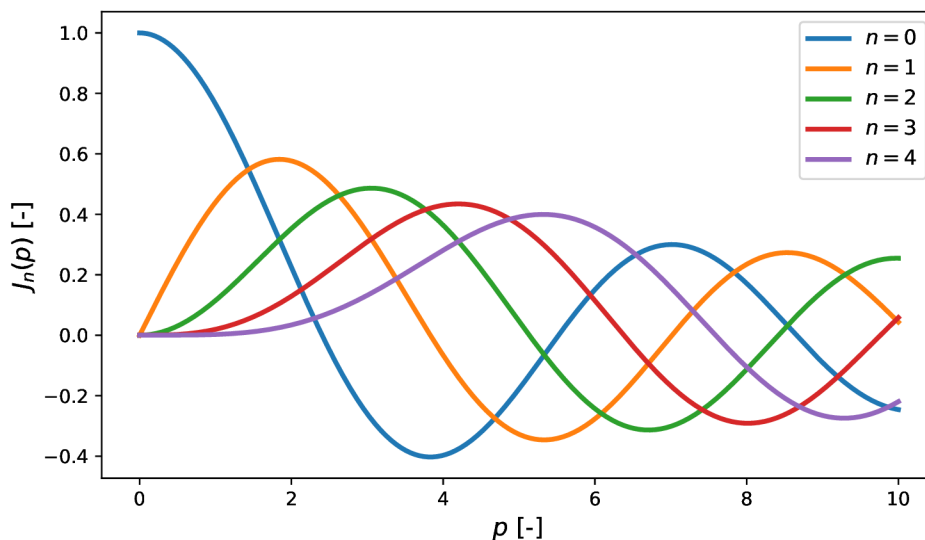
V případě vysokofrekvenční modulae v řádech MHz vznikají v Mössbauerovu spektru takzvané postranní komby<sup>3</sup> [11, 12]. Příchozí gama záření je v tomto případě během průletu absorbatorem přetvořeno do spektrálních kombů a následně opouští absorbátor. Popis generace těchto kombů pro homogenní vibrace absorbátoru (koherentní model [13]) nyní stručně nastíníme. Pohyb absorbátoru je možné popsat pomocí rovnice

$$z(t) = z_0 + R \sin(\Omega t), \quad (1.6)$$

kde  $z_0$  je počáteční pozice absorbátoru,  $R$  amplituda pohybu a  $\Omega$  úhlová frekvence pohybu ( $\Omega = 2\pi f$ ). Elektrické pole vyzářeného 14.41 keV gama fotonu v laboratorní souřadné soustavě je popsáno vlnovou funkcí

$$E_\gamma(z, \tau) = E_0 \Theta(\tau - z/c) e^{-i(\omega_\gamma + \Gamma_\gamma/(2\hbar))(\tau - z/c) + i\varphi_0}, \quad (1.7)$$

kde  $\Theta(x)$  je Heavisidova funkce,  $\tau = t - t_0$  prodleva emise fotonu oproti času  $t_0$ <sup>4</sup>,  $\Gamma_\gamma$  šířka spektrální čáry gama fotonu,  $\omega_\gamma$  úhlová frekvence gama fotonu a  $\varphi_0$  fáze. Z pohledu vysokofrekvenčně modulovaných jader je tato vlnová funkce frekvenčně modulována a sestává ze superpozice spektrálních čar o frekvencích  $\omega_\gamma \pm n\Omega$ . Jednotlivé amplitudy a fáze těchto postranních čar jsou popsány modulačním indexem  $p$ , vystupujícím v Besselové funkci prvního druhu  $J_n(p)$ , kde  $n$  představuje danou postranní čáru [13]. Parametr  $p$  je definován jako  $p = \frac{2\pi R}{\lambda}$ , kde  $\lambda$  je vlnová délka gama fotonu. Besselovy funkce si lze prohlédnout na obrázku 1.8.



Obrázek 1.8: Tvary Besselových funkcí prvního druhu.

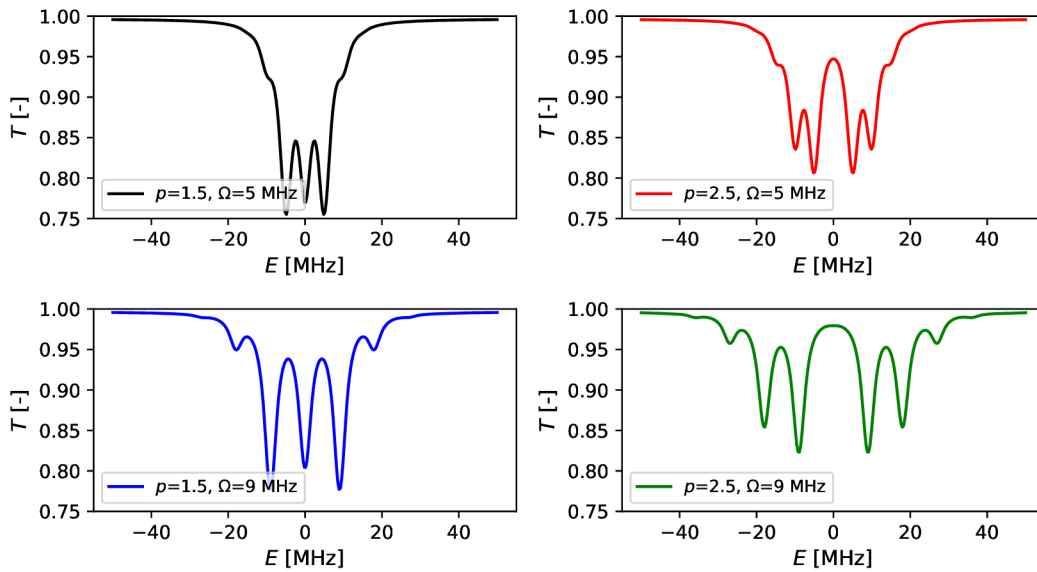
<sup>3</sup>Pro zjednodušení budeme dále v práci využívat terminologii pomocí označení „komb“ a „rozkombení“ spektra, přejatou z anglického označení „spectral comb“. Alternativou by tedy mohlo být i označení spektrální hřeben.

<sup>4</sup>Čas  $t_0$  představuje vyzáření gama fotonu o energii 122.06 keV (vznik prvního excitovaného stavu  $^{57}\text{Fe}$ ).

Výsledné Mössbauerovo spektrum  $S(\omega_\gamma)$  popsané za pomoci transmisního integrálu, které jsme popsaly výše, tedy bude nabývat tvaru

$$S(\omega_\gamma) = \sum_{n=-\infty}^{\infty} J_n^2(p) S_{\text{TI}_n}(\omega_\gamma), \quad (1.8)$$

kde index u  $S_n(\omega_\gamma)$  reprezentuje posun spektrální čáry absorbátoru o  $n\Omega$  [14]. Výraz  $(\omega - \omega_a)$  v (1.5) tedy přechází na  $(\omega - \omega_a - n\Omega)$ . Příklady rozkombených Mössbauerových spekter si lze prohlédnout na obrázku 1.9, kde vrchní sloupec představuje rozkombené spektrum za pomoci frekvence  $\Omega = 5$  MHz a spodní za pomoci  $\Omega = 9$  MHz s příslušnými hodnotami parametru  $p$ . Pro danou simulaci jsme volili efektivní tloušťku  $d_{\text{eff}} = 5$ .



**Obrázek 1.9:** Simulovaná Mössbauerova spektra rozkombena pomocí vysokofrekvenčního pohybu absorbátoru.

Jak si lze povšimnout, tak jsou jednotky na horizontální ose v MHz místo  $\text{mm} \cdot \text{s}^{-1}$  [11]. Důvodem je snažší orientace, jelikož u spekter dochází ke štěpení čar, odpovídajícímu akustické modulaci vzájemného pohybu zářiče a absorbátoru. Převodní konstantou mezi těmito jednotkami je

$$1 \text{ mm} \cdot \text{s}^{-1} = 11.615 \text{ MHz}. \quad (1.9)$$

Tuto přepočtení konstantu můžeme získat tak, že v rovnici (1.2) dosadíme za  $\Delta E$  výraz  $hf$ . Pak po úpravě získáváme výraz

$$f = \frac{E_0 v}{h c}, \quad (1.10)$$

kde za  $E_0$  dosadíme hodnotu energie uvažovaného gama fotonu v jednotkách Joule ( $E_0 \cdot q$ , kde  $q$  je elementární elektrický náboj) a za  $v$  dosadíme  $1 \text{ mm} \cdot \text{s}^{-1}$ .

### 1.3.2 Koincidenční měření

Koincidenčním měřením rozumíme experimentální metodu, která poskytuje informaci o časovém rozdílu mezi událostmi v různých detektorech. V nukleární kvantové optice je tato technika využívána pro měření takzvaných „quantum beats“ (kvantových záznějů) [15, 16, 17], v závislostech intenzity gama záření na čase.

Časovou závislost intenzity gama záření lze získat tak, že rovnici (1.7) převedenou do soustavy pohybujícího absorbátoru

$$E_{\gamma m}(\tau) = E_0 \Theta[\tau - z_0/c - R \sin(\Omega t)/c] e^{-i[\omega_\gamma + \Gamma_\gamma/(2\hbar)](\tau - z_0/c - R \sin(\Omega t)/c + \varphi_0)}, \quad (1.11)$$

kde  $R \sin(\Omega t)/c$  vyjadřuje harmonický pohyb absorbátoru kolem rovnovážné polohy, převedeme za pomoci Fourierovy transformace do frekvenční domény, kde výslednou komplexní amplitudu lze zapsat jako

$$E_{\gamma m}(\omega) = \sum_{n=-\infty}^{\infty} E_{\gamma n}. \quad (1.12)$$

Jednotlivé frekvenční příspěvky v sumě 1.12 pak splňují

$$E_{\gamma n}(\omega) \propto \frac{J_n(p) e^{i(n\Omega t_0 + \omega t_0 + (\omega + n\Omega)z_0/c + \varphi_0)}}{\omega + n\Omega - \omega_\gamma + i\frac{\Gamma_\gamma}{2\hbar}}. \quad (1.13)$$

Ve frekvenční doméně komplexní amplitudu následně vynásobíme s komplexní funkcí absorbátoru  $\tilde{A}$ , která může mít například pro singletový absorbátor tvar [18]

$$\tilde{A}(\omega) = e^{-i\frac{d_{\text{eff}}}{2} \frac{\Gamma_\gamma/(2\hbar)}{\omega - \omega_a + i\Gamma_\gamma/(2\hbar)}}, \quad (1.14)$$

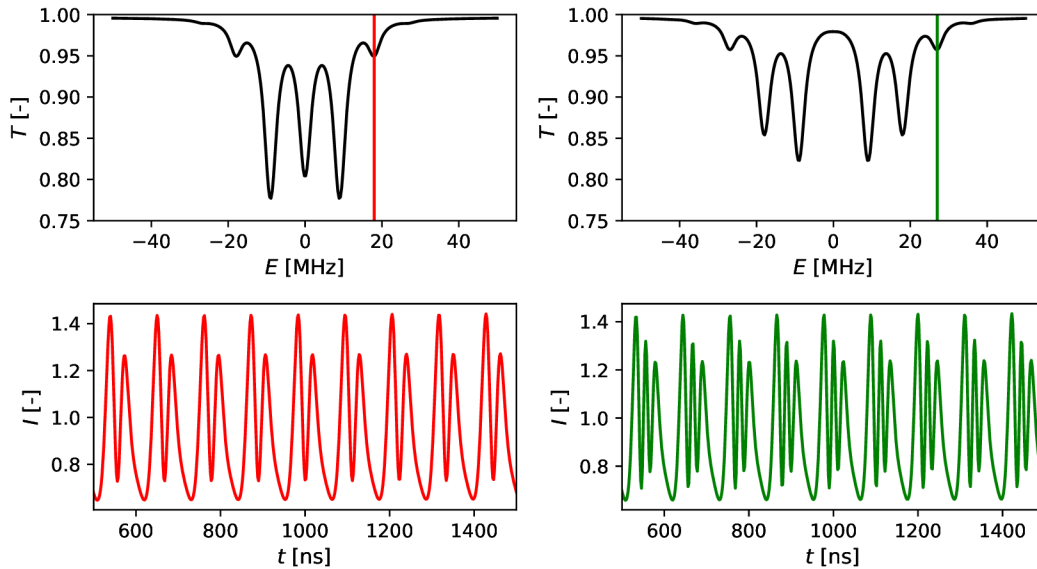
kde  $\omega_a$  představuje energii nukleárního přechodu uvažovaného absorbátoru a zpětnou Fourierovou transformací se vrátíme do časové domény. Tak získáváme modulovanou vlnu  $E_{\text{out}}$  jejíž intenzita, kterou jsme schopni experimentálně měřit [19], je pak vyjádřena jako

$$I_{\text{out}}(\tau) = E_{\text{out}}(\tau) E_{\text{out}}(\tau)^*. \quad (1.15)$$

Dále by bylo dobré zmínit, že v našich experimentech nevyužíváme dvou detektorů, kde jeden detekuje gama fotony o energii 122.06 keV (start koincidence) a druhý fotony o energii 14.41 keV (stop koincidence). Místo toho využíváme napěťových pulzů z generátoru funkcí, a tudíž je nutné intenzitu (1.15) středovat přes všechny hodnoty  $t_0$

$$I(t) \propto \int_{-\infty}^{\infty} I_{\text{out}}(\tau) dt_0. \quad (1.16)$$

Na obrázku 1.10 je ukázáno, jak takováto koincidenční spektra vypadají, kde jsme pro simulaci využili rozkombení s frekvencí 9 MHz, se stejnými parametry jako na obrázku 1.9. Lze si povšimnout, že pro energii dopplerovské modulace laděnou do druhého kombu, má závislost intenzity na čase, podobu opakujících se dvojpulzů, zatím co pro energie laděné do třetího kombu, mají podobu trojpulzů.



**Obrázek 1.10:** Simulovaná koincidenční měření, kde horní grafy, odpovídají rozkmbeným spektrům pro hodnoty 9 MHz z obrázku 1.9 a spodní grafy, odpovídají koincidenčním měřením pro stejné parametry a energie dopplerovské modulace, odpovídající svislým čarám na horních grafech.

V současné době je také experimentováno nejen s jednoduchým harmonickým pohybem absorbátoru, ale také se složitějšími profily pohybu, které umožňují generaci odlišných časových struktur, jako je například generace jednotlivých pulzů, nebo jiných složitějších závislostí.

### 1.3.3 Piezotransducer

Výše zmiňovaný vysokofrekvenční pohyb jsme uvažovali pouze pro absorbátor. Hlavním důvodem je, že je generace takového vysokofrekvenčního pohybu pro případ absorbátorové fólie mnohonásobně snažší, než v případě zářiče.

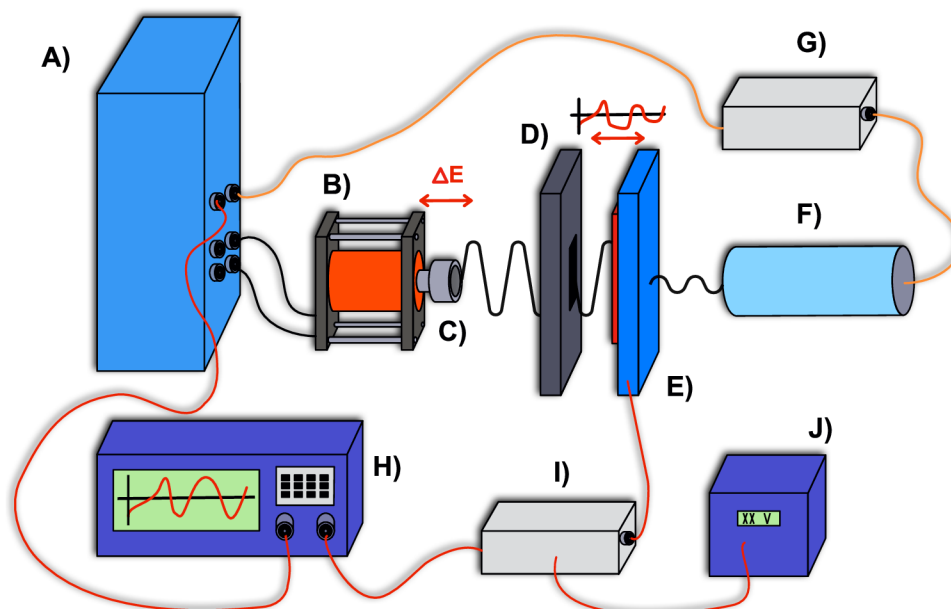
Ke generaci se využívají piezotransducery, pracující na principu piezoelektrického jevu. Tento jev lze využít ke generaci napětí, vlivem mechanického tlaku na piezokrystal, nebo naopak k deformaci tohoto krystalu, vlivem napětí, čehož využívají právě zmiňované piezotransducery.

Pokud je k takovému krystalu přiloženo napětí, tak vlivem asymetrické struktury dochází k přeuspořádání distribuce elektrického náboje a tedy i vzniku mechanické deformace. Tuto deformaci je následně možné ovlivňovat například velikostí působícího napětí, nebo volbou samotného piezomateriálu.

Hlavní výhodou piezotransducerů je vysoká přesnost řízení pohybu, rychlost a velký frekvenční rozsah.

## 2 Experimentální část

V této kapitole se zaměříme na popis experimentálního vybavení a softwarových balíčků, jenž byly použity pro realizovaná měření. Softwarová část zahrnuje jak software pro ovládání spektrometru, tak software pro analýzu naměřených dat, který jsem upravoval pro specifické účely vyhodnocení časových měření.

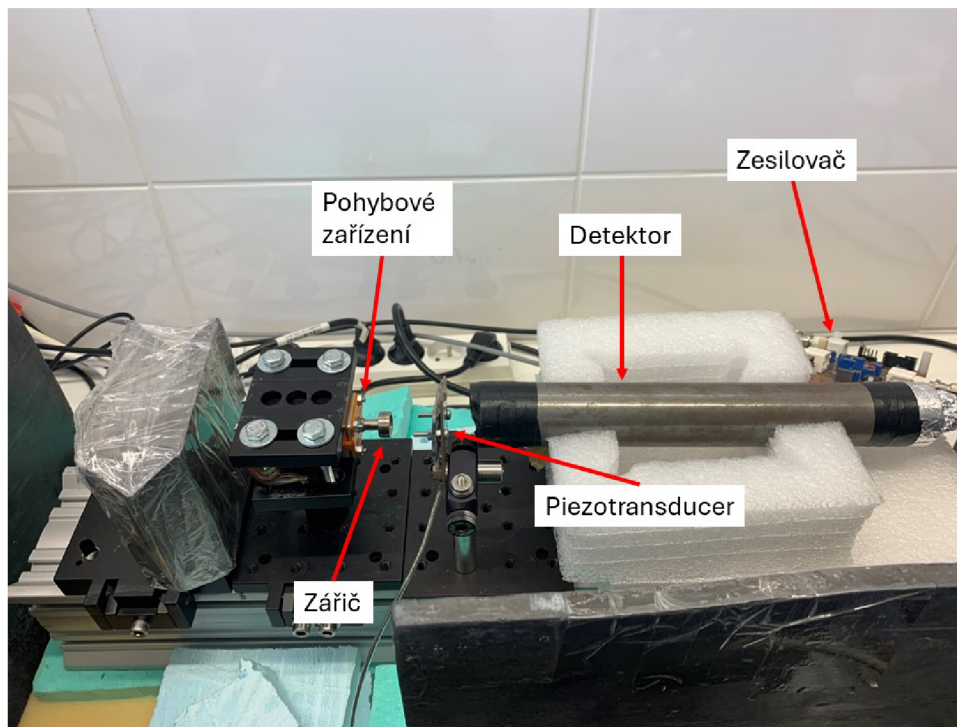


**Obrázek 2.1:** Schéma experimentální aparatury, kde jsou jednotlivé prvky následující, A) řídicí jednotka spektrometru, B) pohybové zařízení, C) zářič, D) kolimátor, E) piezotransducer s absorbátorem, F) detektor, G) zesilovač, H) generátor funkcí, I) výkonový zesilovač, J) zdroj napětí.

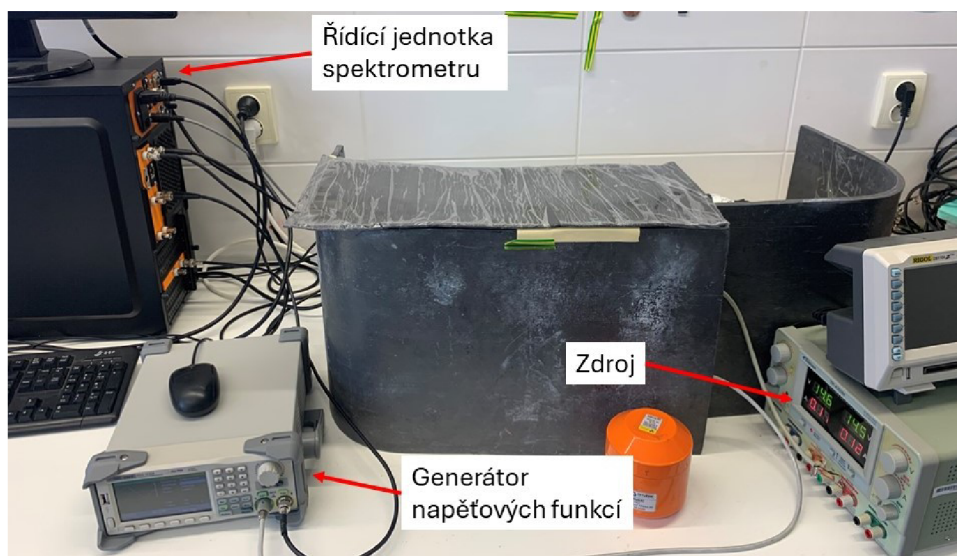
Na obrázku 2.1 lze pozorovat zapojení sestavy v koincidenčním režimu, kdy jeden kanál je využíván pro registraci startovacího signálu z napěťového generátoru funkcí (dále jen generátor funkcí) a na druhý kanál je přiváděn signál z detektoru. Sestavu lze rozdělit do tří základních částí, jenž jsou na obrázku 2.1 barevně rozlišené (barvy vodičů). Fotony vzniklé deexcitací  $^{57}\text{Fe}$  se od radioaktivního zářiče šíří do všech směrů. Pro odstínění nežádoucího záření, jenž neprochází absorbátorem, se využil kolimátor. Samotný absorbátor byl umístěn na piezoelementu, jenž byl za účelem generace  $\gamma$  optických časových signálů při měření rozvíbrotán pomocí har-



monického signálu, pocházejícího z generátoru funkcí a dále zesíleného pomocí výkonového zesilovače. Fotony prošlé absorbátorem byly následně detekovány pomocí scintilačního detektoru. K zesílení signálu z detekcí byl využit lineární zesilovač (dále jen zesilovač). Na obrázku 2.2 a 2.3 lze dále vidět fotografii experimentální sestavy s jednotlivými komponentami.



Obrázek 2.2: Snímek používané experimentální aparatury.



Obrázek 2.3: Snímek používané experimentální aparatury odstíněné olověným stíněním.

## 2.1 Řídící jednotka spektrometru

Jednou z hlavních komponent experimentální aparatury je Mössbauerův spektrometr. Konkrétně se jednalo o zařízení, které je popsáno v [20] pro specifické potřeby v oblasti nukleárních kvantových experimentů. V této sekci bude proveden stručný popis obecných vlastností zařízení a následně se zaměříme na popsání funkcionality měření časových histogramů v koincidenčním režimu.

Jak již bylo zmíněno, tak běžné komerční spektrometry nejsou pro experimenty v oblasti nukleární kvantové optiky dostačující. Hlavním rozdílem jsou nároky nejen na měření v energii, ale také především na měření v čase.

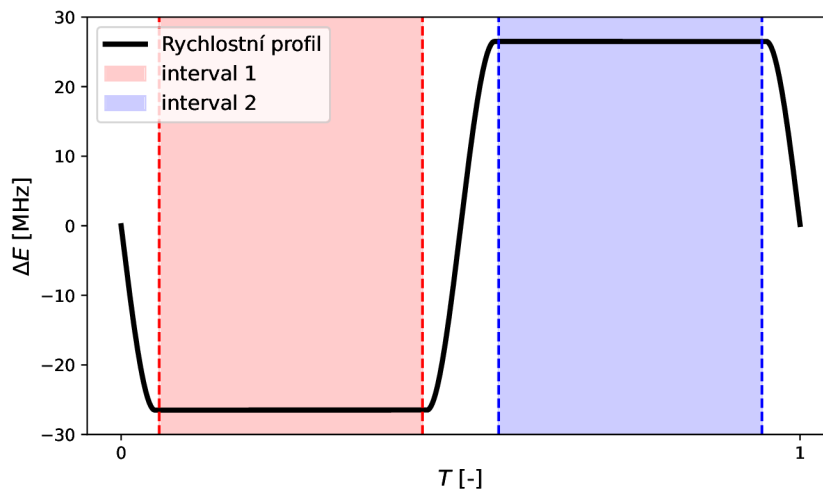
Spektrometr je konstruován s dvěma kanály, které jsou schopny současného řízení transducerů a zaznamenání příslušných detekovaných spekter. K řízení každého transduceru je využito dvou cívek, kde jedna obstarává pohyb samotného transduceru a druhá snímá rychlost tohoto pohybu za účelem korekce na požadovaný rychlostní profil, díky kterému lze docílit přesné dopplerovské modulace. Proud řídicí cívky je kontinuálně upravován na základě zpětnovazebního signálu ze snímací cívky [21]. Zařízení pak nabízí hned několik přednastavených rychlostních profilů, jako jsou například trojúhelníkový, pilový a konstantní, u kterých stačí pouze zadat příslušné parametry jako například rozsah rychlostí. Alternativně lze také nahrát vlastní rychlostní profil ze souboru.

Zařízení nám umožňuje měření ve dvou hlavních módech. Prvním módem je měření konvenčních Mössbauerových spekter. Zde bychom mohli zdůraznit především možnost záznamu dvou spekter současně, případně měření v konfiguraci rezonančního spektrometru [22], kde je třeba současného pohybu jak zářiče, tak i detektoru.

Další mód je zaměřen na koincidenční měření. Zde je využito obou detekčních kanálů, které spektrometr nabízí, kde první kanál plní startovací funkci časově digitálního převodníku (TDC) a druhý naopak funkci pro zastavení. Dále řídicí jednotka spektrometru nabízí dva druhy diskriminace signálu, kde jeden pracuje na bázi pulzního tvarového diskriminátoru (PSD) a druhý na bázi asynchronního amplitudového diskriminátoru (AAD) který byl využit v našich experimentech. Samotná posloupnost je pak taková, že je příchozí signál nejdříve zpracováván pomocí AAD a následně přechází na TDC.

Příchozí signál je tedy nejen zpracováván pomocí amplitudového diskriminátoru, ale zároveň také časového, jenž nám dává informaci o příletu detekovaného fotonu. Časový interval koincidenčního měření může být nastaven buď na 1024 ns nebo 2002 ns s příslušnými rozlišeními 250 ps a 500 ps.

Výsledkem koincidenčních měření jsou dva časové histogramy, které odpovídají dvěma nastavitelným intervalům rychlostního profilu transduceru, tedy každý histogram může mít rozdílnou fázi dopplerovské modulace. V našem případě měření v režimu konstantní rychlosti histogramy odpovídají právě intervalům, kde je daná rychlost konstantní, tak jak to je vyobrazeno na obrázku 2.4.



**Obrázek 2.4:** Příklad rychlostního profilu transduceru, kde zvýrazněné intervaly odpovídají jednotlivým časovým histogramům. Rychlosti (resp. příslušné dopplerovskými modulované energie) jsou uvedeny v jednotkách MHz. Horizontální osa udává čas v rámci jedné periody  $T$  pohybu.

Zde se jedná o symetrický rychlostní profil, kde transducerem laděná energie  $\Delta E$  odpovídá hodnotám  $\pm 26.5$  MHz. Tato symetrie však není nutností a řídicí jednotka spektrometru umožňuje nastavení i pro dvě různé hodnoty  $\Delta E$ .

## 2.2 Detektor

### 2.2.1 Scintilační materiál

V našich experimentech jsme užívali scintilačních detektorů, jejichž základem byl scintilační materiál YAP:Ce [23, 24]. Společně s NaI:Tl se jedná o nejpoužívanější scintilační materiály v oblasti Mössbauerovy spektroskopie. Vyznačuje se svou krátkou dobou scintilace 28 ns a světelnou výtěžností 25000 fotonů/MeV [10].

### 2.2.2 Fotonásobič

Fotonásobiče byly v průběhu experimentů použity dva, a to Hamamatsu R6094 s patičí C9028-01 a Hamamatsu R6427 se zdrojem vysokého napětí C9619-50 a patičí E2624-05. Jednotlivá specifika zařízení je možno dohledat v dokumentaci zařízení [25, 26]<sup>1</sup>.

Jednotlivé scintilační krystaly byly pomocí fotovodivé pasty připevněny na fotocitlivou plochu fotonásobiče (PM). Je nutno dávat pozor, aby nebyl krystal umístěn svou reflektivní ploškou k fotocitlivé katodě PM trubice, jelikož daná reflektivní

<sup>1</sup>Hamamatsu R6427 bylo zcela nové a tudíž ještě nebyly jednotlivé dynody „opáleny“, což může mít vliv na detekci v podobě například neustálené hodnoty časového rozlišení fotonásobiče.

ploška krystalu slouží k odrazu scintilačních fotonů a došlo by tedy ke snížení světelné výtěžnosti. Snímek detektoru si lze prohlédnout na obrázku 2.5. Jak lze pozorovat, tak je užitý fotonásobič z důvodu snížení magnetických vlivů umístěn ve feromagnetickém stínění, jenž zároveň společně s obmotáním alobalovou fólií zabraňuje parazitním světelným vlivům.



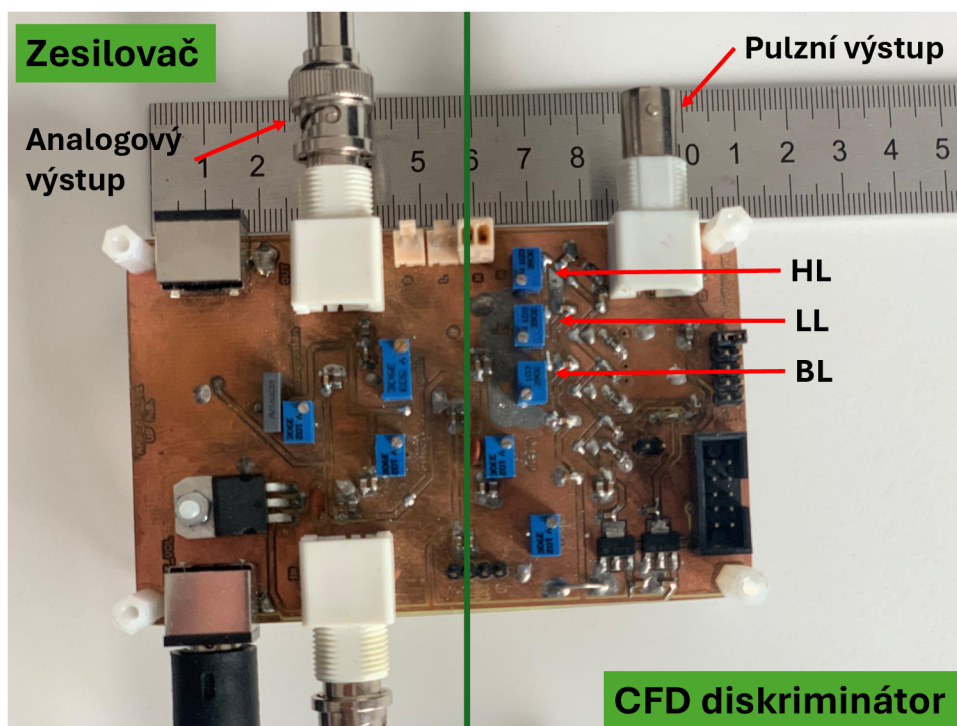
**Obrázek 2.5:** Snímek detektoru  $\gamma$  záření užitého během experimentů.

### 2.2.3 Zesilovač

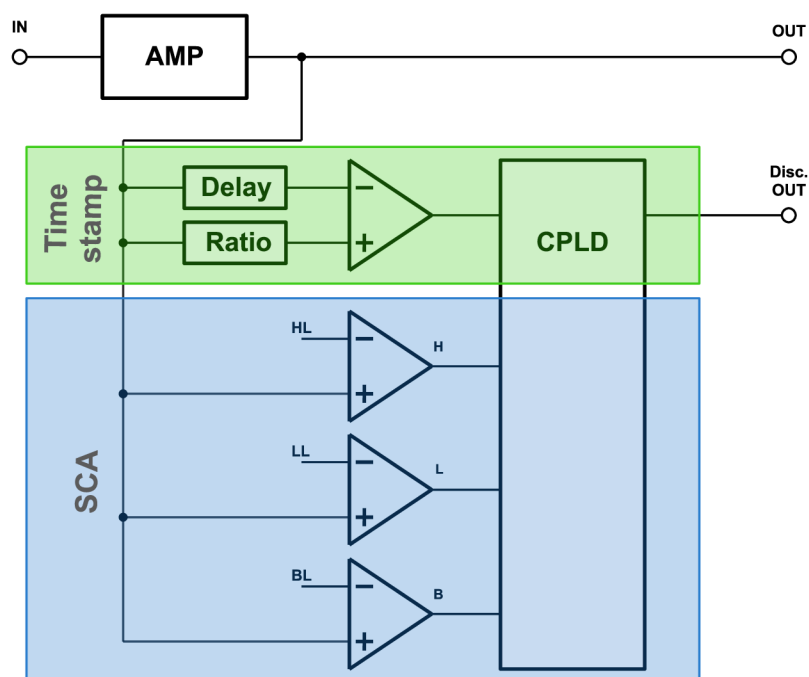
Nyní si uvedeme poslední komponentu detekční části aparatury, kterou je zesilovač výstupního signálu fotonásobiče. Bylo testováno větší množství zesilovačů, ale pro výsledné měření (viz kapitola 3.6), kde došlo k vyhodnocení časového rozlišení aparatury, byl použit jen jeden, který obsahoval CFD (angl. constant fraction discriminator). Důvodem pro tuto volbu byla časová stabilita, která je pro tuto práci velmi významná.

Jednalo se o zařízení, které neobsahovalo pouze zesilovač, ale také diskriminátor, na jehož výstupu se nacházel pulzní signál, posílán s definovanou časovou značkou. Důvodem této volby byla časová nestabilita, která způsobovala nekonzistenci výsledků jednotlivých měření, která by znemožnila vyhodnocení výsledného časového rozlišení experimentální aparatury, což bude dále diskutováno v sekci 3.6. Pro porovnání si ukážeme i výsledky, jež byly vyhodnoceny pouze pomocí zesilovače bez využití zmiňovaného diskriminátoru.

Samotné zařízení je zobrazeno na obrázku 2.6, kde si lze kromě potenciometrů k nastavení běžných parametrů jako zesílení, offset a integrace povšimnout i možnosti nastavení diskriminačního okna. To bylo realizováno tak, že se nejdříve změřilo spektrum pomocí jednokanálového analyzátoru (SCA) v řídicí jednotce spektrometru s analogovým výstupem zesilovače a po určení hladin se pomocí přepočtu 1 kanál = 0,61 mV nastavily na potenciometrech příslušné hodnoty baseline (BL), horní hranice diskriminátoru (HL) a dolní hranice diskriminátoru (LL). Po tomto nastavení jsme již mohli okno SCA řídicí jednotky spektrometru rozšířit, aby byly detekovány veškeré pulzy vycházející z diskriminátoru. Blokové schéma daného zapojení si lze prohlédnout na obrázku 2.7.



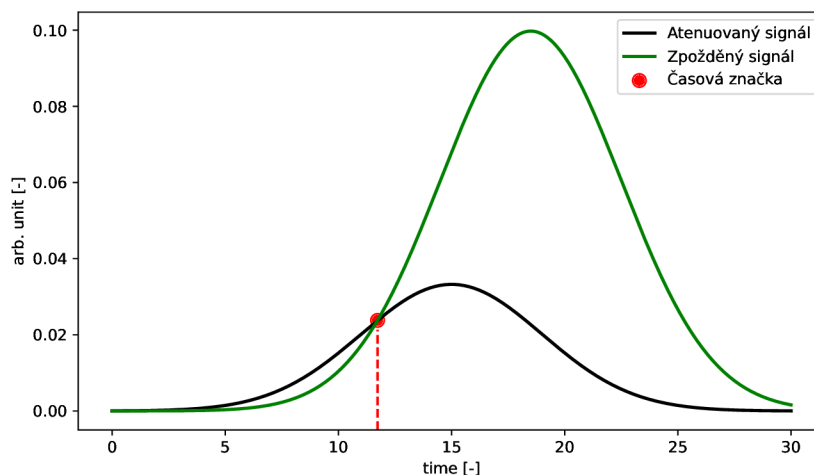
Obrázek 2.6: Snímek zesilovače s diskriminačním blokem užitý během experimentů.



Obrázek 2.7: Blokové schéma zesilovače s diskriminačním blokem.

Generace časové značky probíhala tak, že byl daný zesílený analogový signál rozdělen do dvou větví, kde na jedné byl signál atenuován (došlo tedy ke snížení jeho amplitudy) a na druhé zpožděn. Výsledná časová značka byla určena jako bod překřížení obou signálů jak je vyobrazeno na obrázku 2.8, kde jsme pro ilustraci

využili Gaussovy funkce. Pokud jsou tvary příchozích pulzů přibližně zachovány, což je v našem případě splněno, tak CFD určuje časovou značku ve stejném místě tvaru pulzu. Změna časové značky je v našem případě tedy malá, a můžeme ji zanedbat.



**Obrázek 2.8:** Princip určení časové značky zesilovače, demonstrováno na simulovaných signálech popsáných Gaussovými funkcemi.

## 2.3 Zářič a pohybové zařízení

V experimentech jsme jako zdroje 14.41 keV rezonančních fotonů využívali zářiče s izotopem  $^{57}\text{Co}$  v Rh matrici od firmy RITVERC [27]. Specifikaci použitého zářiče si lze prohlédnout v tabulce 2.1.

**Tabulka 2.1:** Informace o použitém zdroji gama záření.

|                    |                |
|--------------------|----------------|
| Mössbauerův zdroj: | Cobalt-57      |
| Aktivita:          | 50 mCi         |
| Sériové číslo:     | MCo7.124/62.20 |
| Datum produkce:    | 12.10.2020     |

Dopočítaná aktivita zářiče se v průběhu experimentů během roku 2023 pohybovala v rozmezí od 6.3 mCi do 2.5 mCi.

Dále si popíšeme transducer, který zprostředkovává dopplerovskou modulaci. Jeho základem je feromagnetické jádro umístěné na 3D tištěných membránách, jehož pohyb je řízen pomocí zadávací cívky. Pro přesnou modulaci je užito také snímací cívky [28], která daný pohyb snímá a posílá zpět do řídicí jednotky spektrometru, který následně provádí náležitě korekce, aby byl výsledný rychlostní profil dodržen s co největší přesností [21].

## 2.4 Absorbce gama fotonů

V této části jsou popsány komponenty, které byly v experimentech využity k ovlivnění průchodu gama fotonů, včetně jejich rezonanční absorpce, kolimace a stínění.

K vysokofrekvenční modulaci jsme využili absorbátoru ve formě fólie z nerezové oceli o tloušťce  $25\ \mu\text{m}$  s přirozeným zastoupením  $^{57}\text{Fe}$  (2.1 %). Tento absorbátor má spektrální profil singletu. Konkrétně se jedná o fólii z nerezové oceli typu 304 od firmy FischerScientific [29].

Ke kalibraci spektrometru jsme využili absorbátoru  $\alpha\text{Fe}$  [30] o tloušťce  $25\ \mu\text{m}$ .

Jak si lze na obrázku 2.1 povšimnout, tak se před samotným rezonančním absorbátorem, který je nalepen na piezotransducer, nachází také olověný kolimátor, jehož čtvercový otvor má přibližné rozměry  $6\times 6\ \text{mm}^2$ . Ten slouží k účinnému zabránění detekce záření, jenž by přes rezonanční absorbátor neprocházel, a tedy zvýšení efektu měření. Navíc vysokofrekvenční pohyb piezoelementu může vykazovat nehomogenitu výchylky. Ty by v našem případě díky zmenšení aktivní oblasti absorbátoru měly mít menší vliv.

Dále můžeme zmínit i hliníkovou fólii, která byla využita k odstínění fotonásobiče vůči rentgenovému záření v oblasti 6 keV a odstínění aparatury pomocí olověných plátů. To slouží k zvýšení radiační bezpečnosti tak, aby byla úroveň radiace v okruhu nad jeden metr na úrovni pozadí.

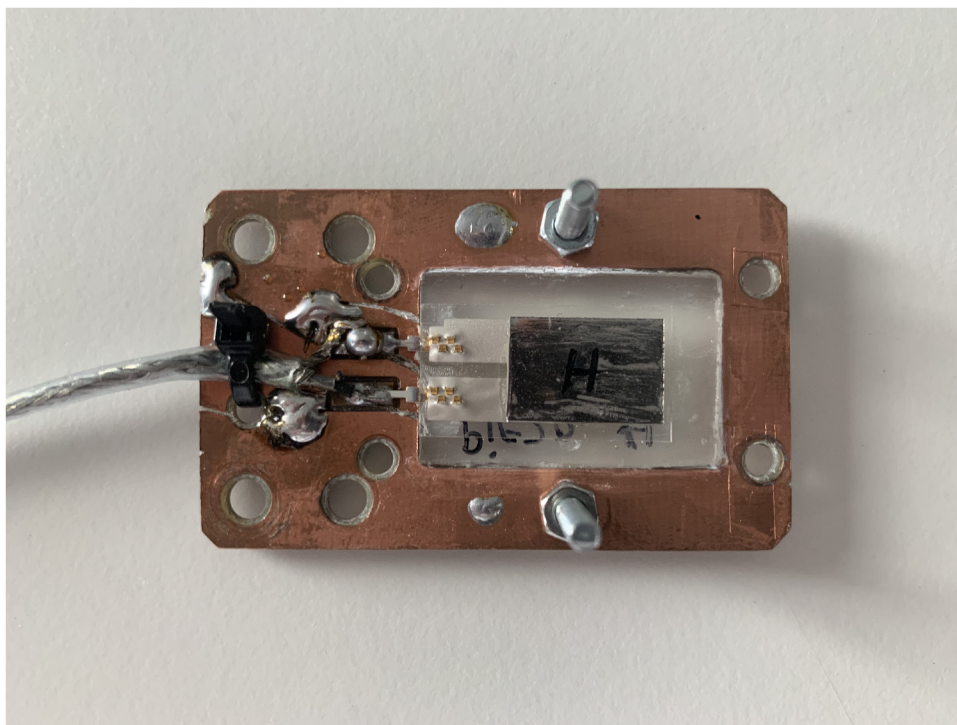
## 2.5 Vysokofrekvenční modulace

Zásadním rozdílem experimentů nukleární kvantové optiky oproti konvenční Mössbauerově spektroskopii je vysokofrekvenční modulace rezonančního absorbátoru, kdy amplituda vychýlení je srovnatelná s vlnovou délkou příslušných gama fotonů. Za tímto účelem jsme použili piezotransducer, na kterém byl rezonanční absorbátor nalepen [19]. Jednotlivé části si blíže popíšeme níže.

### 2.5.1 Piezotransducer

Základem použitého piezoelementu je organický polymer  $\beta$ -PVDF, který se obecně vyznačuje jak dobrým převodem elektrické energie na mechanickou a nízkou absorpcí gama záření, tak dobrou odezvou na vysoké frekvence [31].

K tomuto piezomateriálu je následně nalepen rezonanční absorbátor popsáný v kapitole 2.4 a ty jsou nalepeny na plexiskelnou podložku. Zařízení si je možné prohlédnout na obrázku 2.9

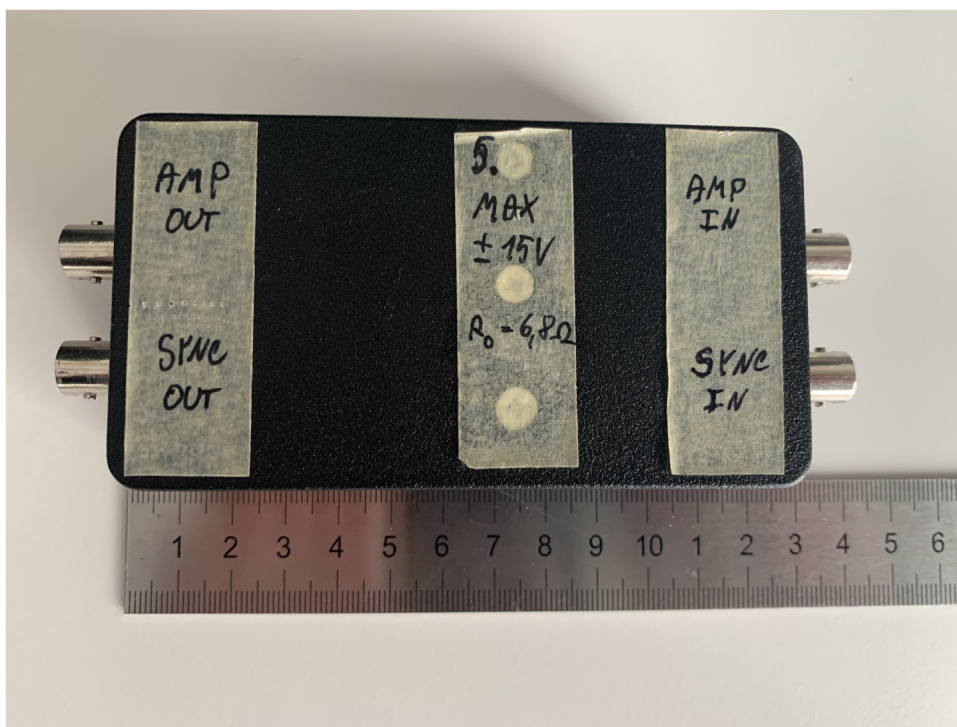


Obrázek 2.9: Snímek použitého piezotransduceru.

### 2.5.2 Výkonový zesilovač

Z důvodu kapacitní zátěže a přenosu energie piezoelementu nemusí být daný generátor funkcí správně schopen řídit daný piezoelement. To je z důvodu, že piezoelement má nízkou impedanci a výstup generátoru funkcí disponuje  $50\Omega$  sériovou terminací. Vytváří tak dělič napětí, v jehož důsledku je napětí na piezoelementu menší, než kdybychom měli zdroj s menší výstupní impedancí. Proto byl využit výkonový zesilovač, který zajišťuje impedanční přizpůsobení. Námí použitý výkonový zesilovač [19] umožňuje výstupní napětí  $\pm 14$  V s lineárním výstupním proudem do hodnoty 200 mA. Oproti aparatuře bez výkonového zesilovače jsme tedy schopni dosáhnout až o 40 % většího rozsahu napětí a také dodání výkonu, jenž umožňuje užití piezotransduceru v oblasti jeho fyzických limitů. Snímek tohoto zařízení si lze prohlédnout na obrázku 2.10.





Obrázek 2.10: Snímek výkonového zesilovače.

### 2.5.3 Generátor funkcí

Jako generátoru startovacích pulzů a pohybového profilu piezoelementu bylo v našich experimentech užito zařízení Siglent SDG1032X [32]. Konkrétní specifikace lze dohledat v dokumentaci výrobce. Samotné zařízení je vyobrazeno na obrázku 2.11.

Startovací pulzy pro naše měření měly amplitudu 400 mV, offset 200 mV, náběžnou hranu 16.8 ns a šířku 32.6 ns. Pro řízení piezotransducera byly použity pouze harmonické signály (funkce sinus), u nichž jsme pro různá měření měnili parametry frekvence a amplitudy.



Obrázek 2.11: Snímek generátoru funkcí Siglent SDG1032X.

## 2.6 Software

V této části jsou popsány použité softwarové balíčky, zahrnující jak software pro řízení spektrometru, tak vyhodnocovací software použitý pro fitování experimentálních dat. Vyhodnocovací software vycházel z již vytvořeného programu, který byl však pro účely této práce významně modifikován a zobecněn, viz dále.

### 2.6.1 Řízení spektrometru

K řízení spektrometru a komunikaci s PC byl využit příslušný software OLTWINS, který umožňuje řízení měření jak v energetické, tak i v časové doméně. Software je možné využívat v operačním systému Windows nebo Linux. Podrobnější popis je možné nalézt na stránkách výrobce [33].

Ke skriptování sérií koincidenčních měření byly vytvořené skripty pro řízení v prostředí Bash, jenž je kompatibilní se softwarem OLTWINS (verze 2.7.1), který samostatně takovéto nastavení neumožňuje. Aplikace vytvořených skriptů významně zjednodušila provádění experimentů.

### 2.6.2 Analýza koincidenčních experimentů

Při vývoji softwaru k fitování časových histogramů jsem vycházel z kódu uvedeného v disertační práci [19], jenž byl napsán za účelem simulací časových měření v oblasti nukleární kvantové optiky. V průběhu vývoje došlo hned k několika iteracím, kde každá obsahovala jisté vylepšení a rozlišný účel použití. Kód v příloze A

je poslední iterací, jenž byla použita k vyhodnocení finálních výsledků v této práci. Všechny vytvořené iterace, které lze k daným experimentům využít, jsou k dispozici na uložišti v GitHub [34]. Jednotlivé módy jsou označovány jako „ModeX“, kde X udává danou iteraci.

Prvním módem je Mode0, jenž je původní simulační software z již dříve zmíněné práce. Mode1 a Mode2 umožňují vyhodnocení jednoho datového souboru, s fitováním jednoho ( $+\Delta E$ ) a obou ( $\pm\Delta E$ ) časových histogramů. Módy 3 a 4 slouží k separátnímu fitování všech souborů v cílové složce a stejně jako v případě Mode1 a Mode2 se liší tím, zda fitují pouze jeden nebo oba časové histogramy. Dále již všechny další módy fitují oba časové histogramy, tudíž tuto informaci nebudeme dále zmiňovat. Mode5 fituje všechny soubory v cílové složce současně. Důležité je ovšem zmínit, že jsou automaticky vybrány pouze soubory se souhlasnou (námi zvolenou) hodnotou nastaveného napětí na generátoru funkcí. Důvodem je souvislost napětí  $V_{pp}$  s parametrem  $p$ . Mode6 stejně jako Mode5 současně fituje sadu souborů, s tím rozdílem, že nyní nemusí mít jednotlivé datasety stejné hodnoty  $V_{pp}$ . Mode7 přináší vylepšení v podobě sdílené hodnoty časového rozlišení  $\sigma_t$  napříč všemi soubory. Posledním módem je Mode8, který přidává možnost uvolnění  $\Delta E$  a níže si jej detailněji popíšeme.

Na začátku kódu v příloze A si lze povšimnout možnosti nastavení parametrů specifikujících vlastnosti absorbatóru (včetně  $d_{\text{eff}}$ ), frekvenci piezotransduceru, výběr oblasti dat (na počátku simulace až do přibližně 320 ns jsou numerické artefakty), povolené hodnoty  $\Delta E$  a  $V_{pp}$ , počáteční podmínky pro fitování časových histogramů, cestu k datovým souborům, cílové složky pro ukládání fitovaných dat s nafitovanými parametry, atd.

Následuje část se simulačním skriptem intenzity záření, který je konvoluován s normalizovanou Gaussovou křivkou, kde právě  $\sigma$  ve vyjádření

$$G(x) = \frac{1}{\sigma\sqrt{2\pi}} e^{-\frac{(x-\mu)^2}{2\sigma^2}} \quad (2.1)$$

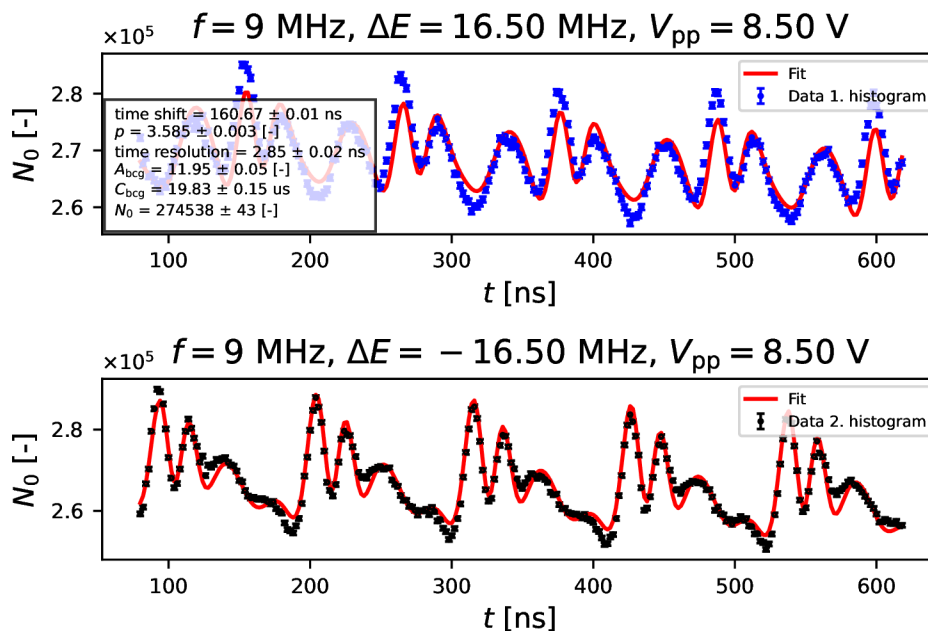
představuje časové rozlišení experimentální aparatury. Jak si lze povšimnout, tak funkce (2.1) musí být za účelem správné interpretace parametru počtu detekcí  $N_0$  normalizována. Tvar fitovací funkce si můžeme popsat jako

$$F_{\text{fit}} = G(t, \sigma_t) \otimes \left( \frac{A_{\text{bcg}} + I(t, \delta_t)}{A_{\text{bcg}} + 1} e^{-\frac{t}{C_{\text{bcg}}}} \right) N_0, \quad (2.2)$$

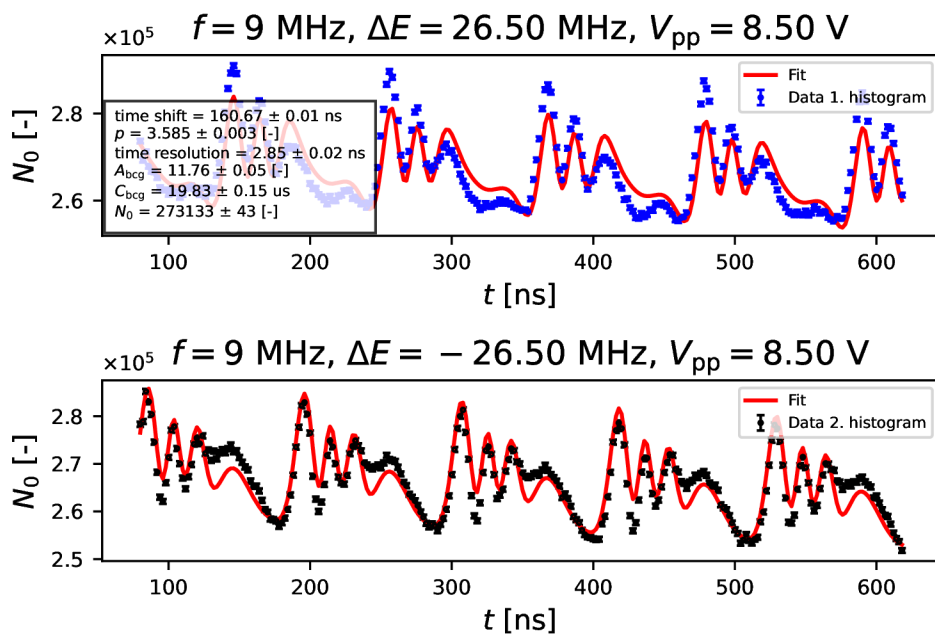
kde  $G$  je Gaussova funkce,  $\otimes$  symbol konvoluce a  $I$  intenzita záření (1.16).

Dalšími kroky zpracování dat je výběr vyhodnocovaného intervalu dat a napojení jednotlivých (dvou a více) datasetů a příslušných funkcí. Důležitou součástí tohoto posledního úkonu je správné poskládání a kombinování jednotlivých parametrů. To je dále ukázáno na příkladu čtyř naměřených datasetů (každý se skládá ze dvou větví pro kladnou a zápornou rychlost), které byly společně fitovány, viz obrázky 2.12–2.15. Konkrétně jediný parametr, jenž je sdílen všemi datasety, je parametr časového rozlišení  $\sigma_t$ , parametr vibrační amplitudy  $p$ ,  $\delta_t$  a  $C_{\text{bcg}}$  je sdílen pro datasety se shodně nastavenou hodnotou napětí generátoru funkcí  $V_{pp}$  a zbylé parametry odpovídají vždy kladné a záporné větvi laděných energií  $\pm E$  jednotlivých datasetů.

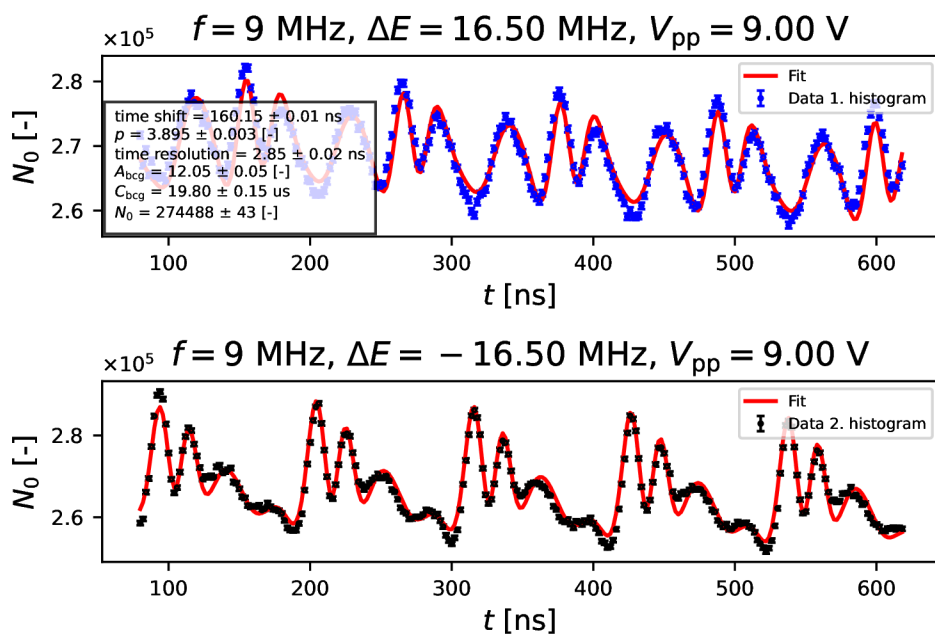
Dále se zde nachází samotná fitovací část, již předchází vytvoření počátečních odhadů, a horních a dolních mezí fitovaných parametrů. Následující část kódu obsahuje finální úpravy zpracovávaných dat a jejich uložení do výsledné podoby. Nahrání je opatřeno podmínkami pro výběr pouze žádoucích hodnot  $\Delta E$  a  $V_{pp}$  z názvu souborů. Úplným závěrem je extrakce fitovaných parametrů, jenž jsou uloženy do textového souboru, aby bylo možné provádět snazší analýzu výsledků.



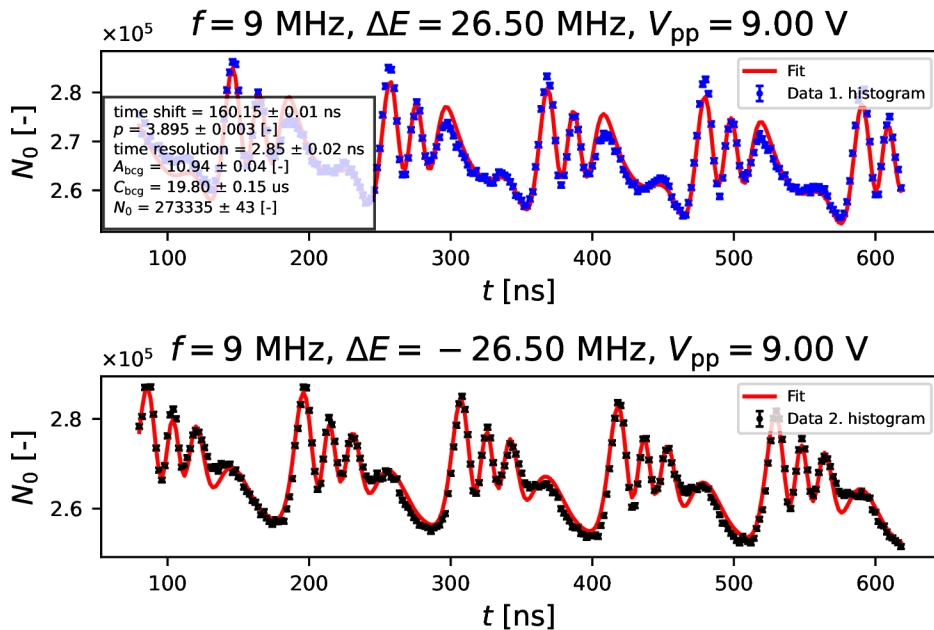
**Obrázek 2.12:** Výsledek fitování pro laděnou energii 16.5 MHz a napětí generátoru funkcí 8.5 Vpp.



**Obrázek 2.13:** Výsledek fitování pro laděnou energii 25.5 MHz a napětí generátoru funkcí 8.5 Vpp.



**Obrázek 2.14:** Výsledek fitování pro laděnou energii 16.5 MHz a napětí generátoru funkcí 9 Vpp.

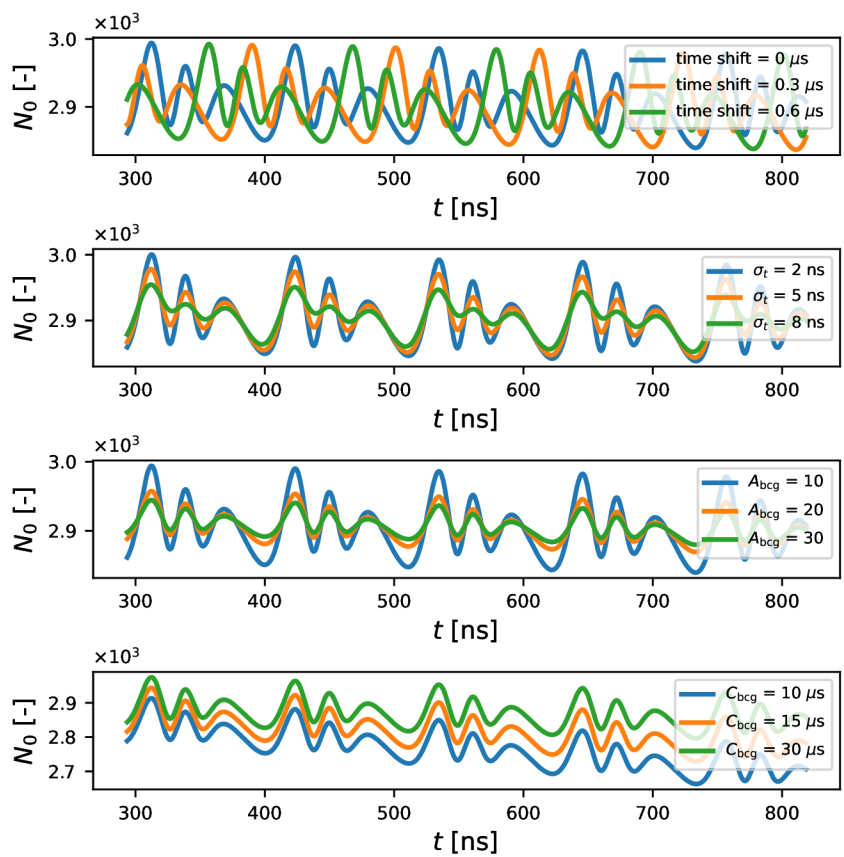


**Obrázek 2.15:** Výsledek fitování pro laděnou energii 25.5 MHz a napětí generátoru funkcí 9 V<sub>pp</sub>.

Fitované parametry na obrázcích 2.12–2.15 jsou popsány v tabulce 2.2 a jejich vliv si lze prohlédnout na simulovaných časových závislostech na obrázku 2.16, kde jsme volili frekvenci piezotransduceru 9 MHz,  $\Delta E = 27 \text{ MHz}$  a parametr  $p = 2$  (vliv parametru  $p$  je vysvětlen v kapitole 1.3.1, a proto si jej zde uvádět nebudeme). Výchozí parametry, jenž zrovna nejsou variovány, jsou nastaveny na hodnoty  $\text{time shift} = 0 \text{ } \mu\text{s}$ ,  $\sigma_t = 3 \text{ ns}$ ,  $A_{bcg} = 10$  a  $C_{bcg} = 80 \text{ } \mu\text{s}$ . Vliv parametru počtu detekcí  $N_0$  je triviální, a tudíž jej také nebudeme řešit.

**Tabulka 2.2:** Fitované parametry.

|                                |                               |
|--------------------------------|-------------------------------|
| time shift ( $\delta_t$ )      | Časový posun                  |
| $p$                            | Vibrační amplituda            |
| time resolution ( $\sigma_t$ ) | Časové rozlišení aparatury    |
| $A_{bcg}$                      | Amplituda pozadí              |
| $C_{bcg}$                      | Konstanta exponenciály pozadí |
| $N_0$                          | Počet detekcí                 |



Obrázek 2.16: Názorné zobrazení vlivu parametrů fitační funkce (2.2).

## 3 Výsledky a diskuze

Po teoretickém úvodu (kapitola 1) a seznámení se s použitým vybavením (kapitola 2) se nyní můžeme přesunout k samotným měřením a jejich výsledkům. Měření zde budou seřazena tak, jak by měla být chronologicky prováděna (více v sekci 3.7). První dvě sekce jsou zaměřeny na nastavení spektrometru a získání potřebných parametrů k fitování koincidenčních měření, samotná problematika časového rozlišení je pak popsána v kapitole 3.3.

### 3.1 Kalibrace spektrometru

Jeden z prvních úkonů, jenž je nutno provést před začátkem experimentů v oblasti Mössbauerovy spektroskopie, je kalibrace rychlostního rozsahu spektrometru. Ta zahrnuje změření spektra se známou spektrální strukturou a následné určení kalibrační konstanty  $K$ . Tato kalibrační konstanta je následně zadána do softwaru spektrometru a zaručuje získání spekter s odpovídajícími hodnotami rychlostí dopplerovské modulace (přiřadí jednotlivým bodům spektra v relativních jednotkách spektrometru [a.u.] odpovídající rychlosti dopplerovské modulace)<sup>1</sup>.

My jsme pro kalibraci využili  $\alpha\text{Fe}$ , jehož rozdíly pozic ( $D_1$ ,  $D_2$  a  $D_3$ ) absorpčních čar rozštěpeného spektra jsou definované jako podíl  $D_1 = 1.677 \text{ mm}\cdot\text{s}^{-1}$ ,  $D_2 = 6.167 \text{ mm}\cdot\text{s}^{-1}$  a  $D_3 = 10.657 \text{ mm}\cdot\text{s}^{-1}$  [5]. Kalibrační konstantu pak získáváme jako  $K_i = D_i/L_i$ , kde  $L_i$  je vzdálenost absorpčních píků v kanálech ( $i = 1, 2, 3$ ).

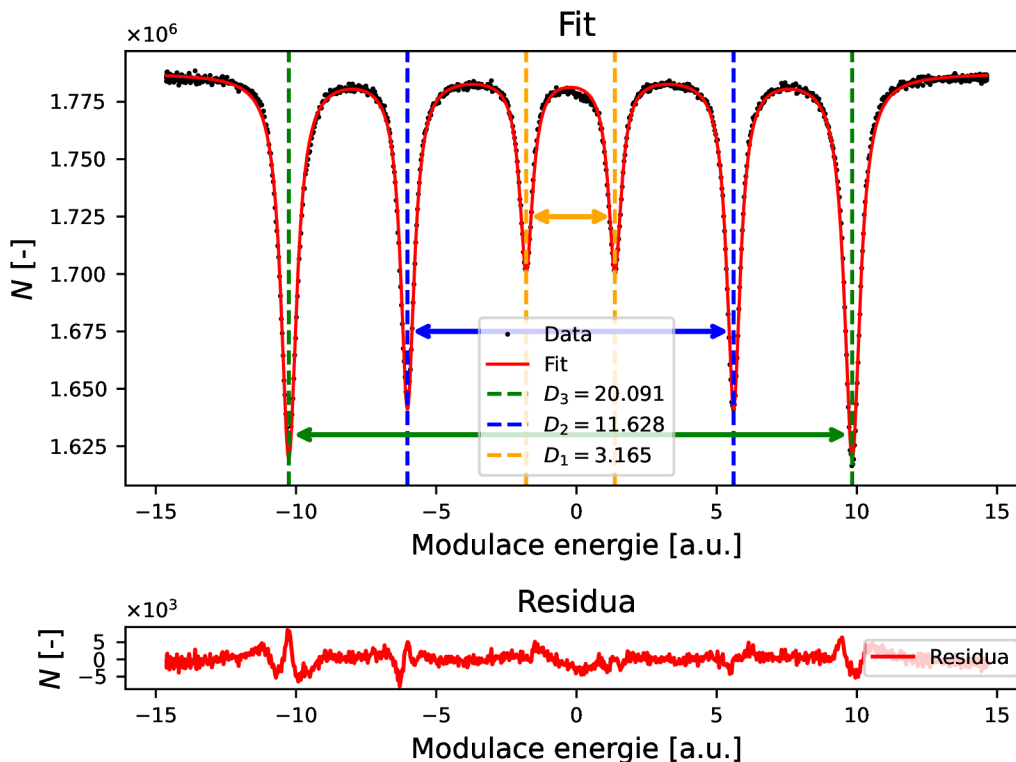
Při měření kalibrační konstanty jsme nejdříve náležitě natavili spektrometr, což zahrnovalo nastavení zesílení výstupního signálu fotonásobiče a nastavení hladin MCA tak, aby odpovídaly pulzům detekcí 14.41 keV fotonů. Tyto náležitosti již nebudou v textu dále zmiňovány. Následně byl  $\alpha\text{Fe}$  absorbátor upevněn ke statickému detektoru (stínící trubici PM). Když byla aparatura uvedena do náležitého geometrického rozložení, tak pouze zbývalo nastavit rychlostní profil transduceru a změřit kalibrační spektrum.

Naměřené a nafitované kalibrační spektrum si lze prohlédnout na obrázku 3.1, kde na vertikální ose vidíme počet detekcí  $N$  pro jednotlivé kanály spektrometru. Výslednou kalibrační konstantu jsme určili jako průměrnou hodnotu  $K_i$ , která nabývá hodnoty  $0.5302$  pro  $\text{mm}\cdot\text{s}^{-1}$ , nebo  $6.1593$  pro jednotky MHz.

---

<sup>1</sup>V mössbauerovských experimentech bývá konvenčně součástí kalibrace i vztažení nulového bodu rychlostní osy ke kanálu symetrie kalibračního spektra (tj. v našem případě nulový isomerní posun vzhledem k  $\alpha\text{Fe}$ ). V této práci tento krok proveden není a nulová hodnota ve spektru je vztažena k nulové rychlosti zářiče.



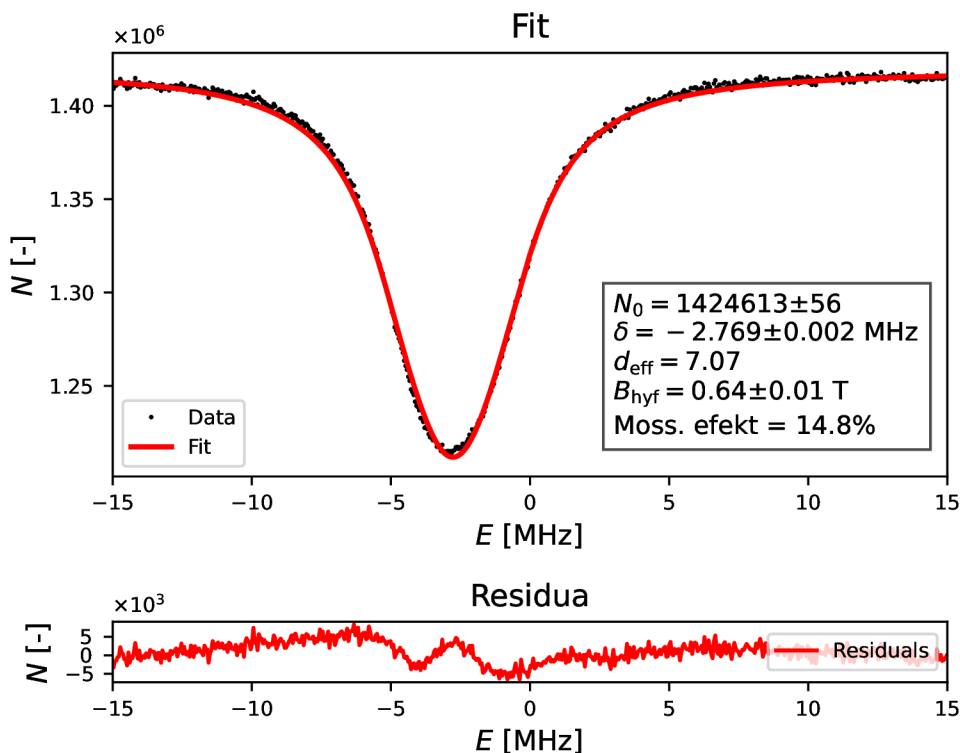
Obrázek 3.1: Kalibrační spektrum  $\alpha\text{Fe}$ .

## 3.2 Charakterizace absorbátoru

Dále bylo před začátkem koincidenčních experimentů třeba určit parametry užívaného absorbátoru, který vykonává vysokofrekvenční pohyb. Mezi tyto parametry patří například efektivní tloušťka  $d_{\text{eff}}$ , izomerní posun  $\delta$ , jenž zde bereme jako posun spektrální čáry vůči nulové rychlosti<sup>2</sup> a hyperjemné magnetické pole  $B_{\text{hyf}}$ , popisující rozšíření spektrální čáry. V našich experimentech jsme měřili pouze hodnotu izomerního posunu a hyperjemného pole. Hodnota efektivní tloušťky byla převzata z přechodících měření za pomoci konfigurace rezonančního spektrometru, jenž nám danou hodnotu  $d_{\text{eff}}$  umožňuje získat spolehlivěji, než za pomoci fitování transmisního integrálu. Pro další měření budeme tedy pracovat s hodnotou  $d_{\text{eff}} = 7.07$ .

Při měření transmisního spektra jsme aparaturu uvedli do stavu tak, jak je uvedeno na obrázku 2.1. Absorbátorem nalepeném na piezoelementu nebylo v průběhu měření vibrováno (nevyužili jsme generátoru funkcí). Nastavený rychlostní profil transduceru (trojúhelníkový) a jeho meze budeme uvádět v jednotkách MHz. Jednotky MHz byly voleny z důvodu následného usnadnění výpočtů a vyvarování se následné nutnosti převodů  $\text{mm}\cdot\text{s}^{-1}$  na MHz. Převodní konstanta je  $1 \text{ mm}\cdot\text{s}^{-1} = 11.615 \text{ MHz}$ . Výsledný fit naměřeného spektra si můžeme prohlédnout na obrázku 3.2.

<sup>2</sup>Přestože nejsou pozice spektrálních čar vztaženy k referenci ( $\alpha\text{Fe}$ ), tak pro zjednodušení budeme pro tuto veličinu dále používat toto konvenční označení.



**Obrázek 3.2:** Výsledná data a fit transmisního spektra nevibrujícího absorbátoru.

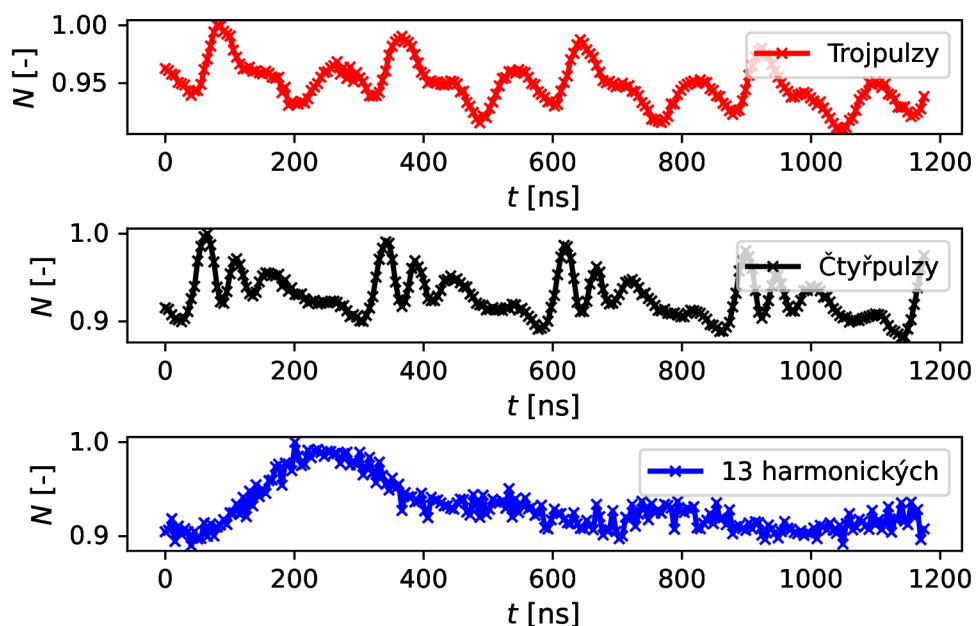
Fitování naměřených dat bylo provedeno za pomoci transmisního integrálu, kdy byl fixován parametr  $d_{\text{eff}}$ . Jak je z výsledku fitování vidět, tak izomerní posun nabývá hodnoty  $\delta = -2.77$  MHz. Tato hodnota je následně společně s parametrem  $B_{\text{hyf}} = 0.64$  T využívána ve vytvořeném Pythonovském kódu, jenž je určen k fitování časových histogramů koincidenčního měření.

### 3.3 Výběr pracovní oblasti měření

Výběrem pracovní oblasti měření rozumíme zvolení frekvence a napětí  $V_{\text{pp}}$  signálu generátoru funkcí, jenž řídí piezotransducer a volbu intervalu transducerem dopplerovsky laděných energií. V experimentech používáme harmonické signály, díky kterým získáváme poměrně jednoduché časové struktury v podobě opakujících se shluků pulzů, na kterých je snazší určení časového rozlišení, než kdybychom využili složitějších signálů složených z více harmonických. To by vyžadovalo zavedení dalších parametrů do procesu generování simulační funkce, jako jsou například amplitudy jednotlivých harmonických.

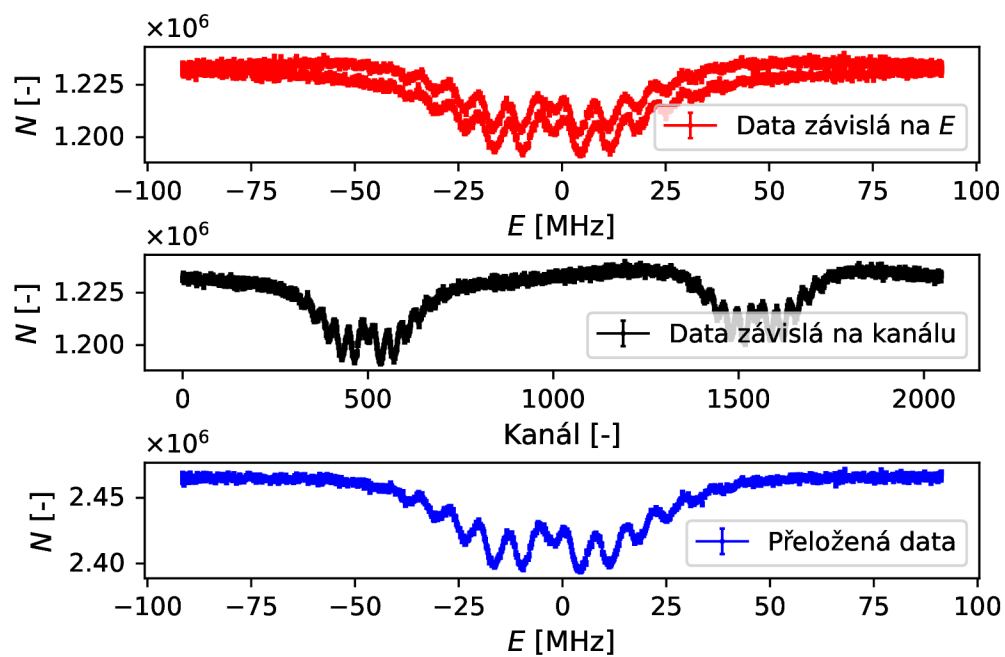
Srovnání časové struktury pro jednoduchý harmonický signál a signál složený z více harmonických si lze prohlédnout na obrázku 3.3, kde nahoře máme trojpulzní časovou strukturu pro jednoduchý harmonický signál, uprostřed čtyřpulzní časovou strukturu pro jednoduchý harmonický signál a dole se nachází časová struktura pro signál jenž je složený z třinácti harmonických. Zde je nutno dodat, že v posledním případě se jedná pouze o ukázkový příklad a lze generovat celou řadu složitých koin-

cidenčních struktur, v závislosti na parametrech neharmonického signálu generátoru funkcí.

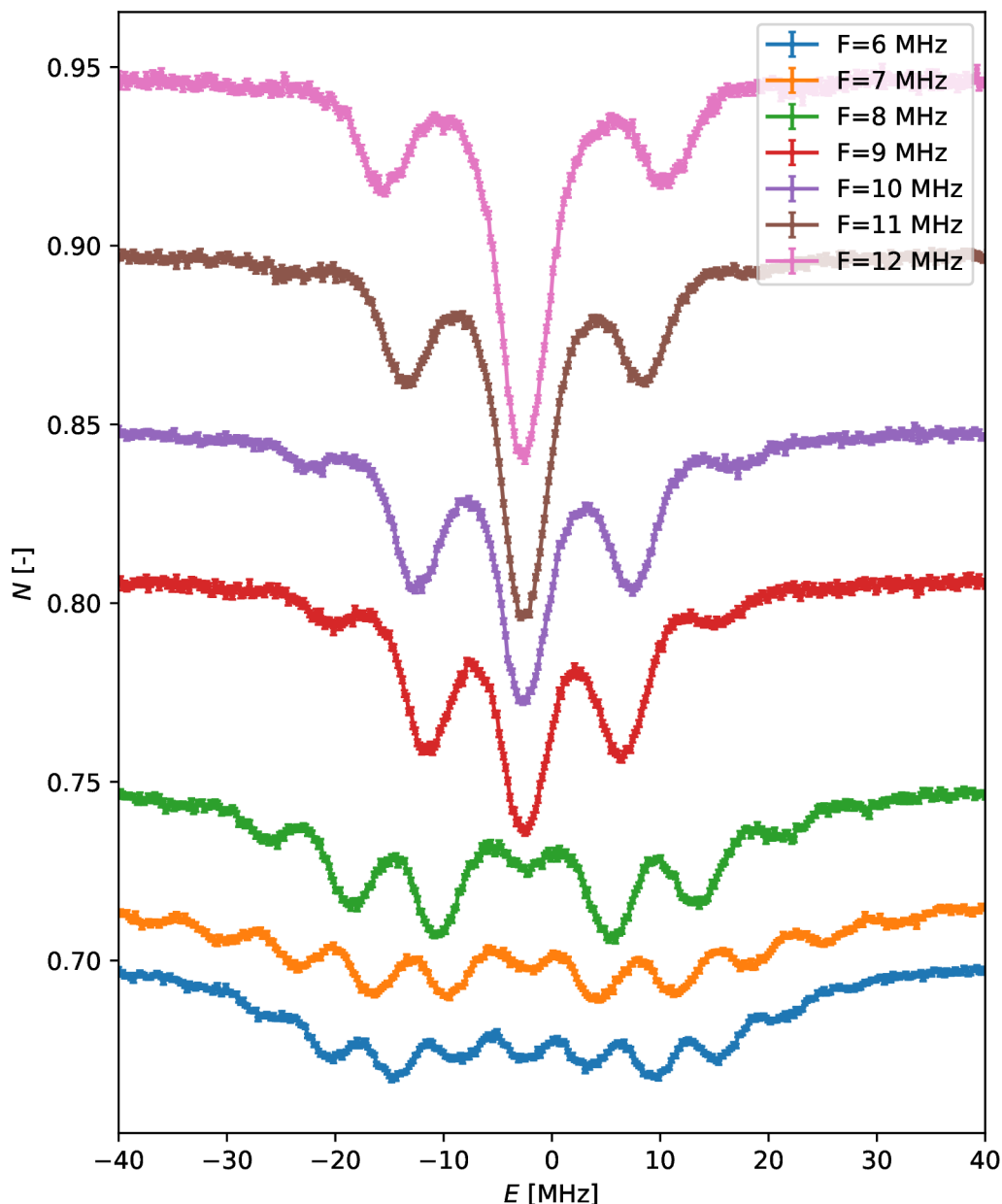


**Obrázek 3.3:** Srovnání časových struktur pro sinusový signál a signál složený z více harmonických, kde dva horní grafy reprezentují časové struktury, generované za pomoci funkce s jednou harmonickou a spodní reprezentuje strukturu generovanou za pomoci třinácti harmonických.

Jako první se zaměříme na volbu frekvence piezotransduceru. Zde jsme provedli sérii měření s postupně se navyšující frekvencí, jejíž výsledky si lze prohlédnout na obrázku 3.5. Spektra byla zpracována tak, že jsme pro naměřené spektrum, jenž má dvě symetrické větve, našli pomocí maxima autokorelační funkce, optimální bod přeložení a náležitě dané větve sečetli. Díky této metodě tedy získáváme lepší statistiku a také přehlednější zobrazení. Tato procedura je zobrazena na obrázku 3.4, kde na horním grafu je naměřené spektrum v závislosti na laděné energii, na prostředním je spektrum v závislosti na kanálu a v posledním je již výsledné přeložené spektrum.



Obrázek 3.4: Procedura přeložení spekter.

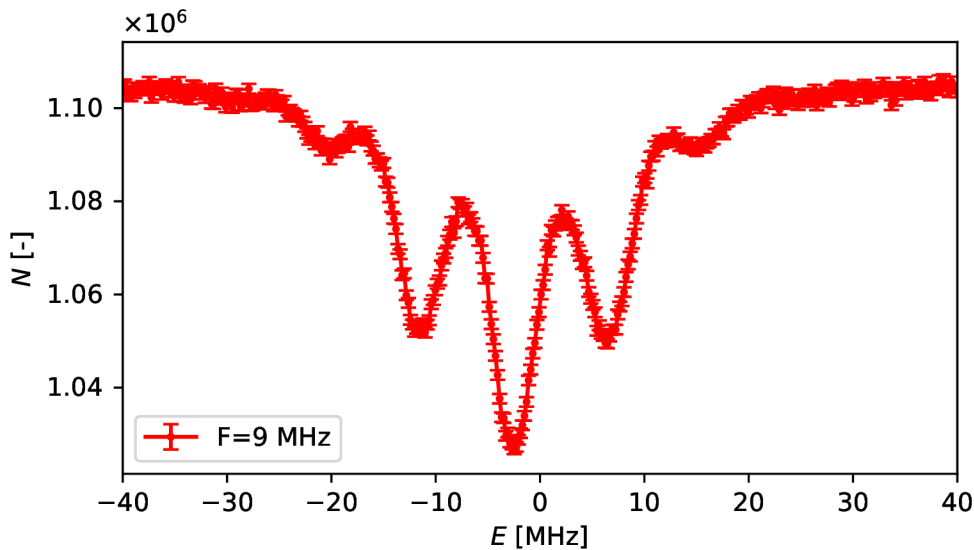


**Obrázek 3.5:** Rozkombené spektra pro frekvence 6–12 MHz.

Spektra byla měřena pro hodnotu  $4 V_{pp}$  na generátoru funkcí. Dále si lze povšimnout, že rezonanční frekvence daného piezoelementu se bude nacházet právě v okolí 7 MHz, kde je dané spektrum nejvíce rozkombeno (tedy vibrační amplituda  $p$  nabývá nejvyšší hodnoty). Z výsledků na obrázku 3.5 tedy také vyplývá, že mezi mírou rozkombení a frekvencí není monotonní závislost.

Na základě těchto měření jsme následně volili frekvenci 9 MHz, jenž má pro druhou vedlejší spektrální čáru nejvýraznější absorpční čáru. To nás zajímá převážně z důvodu, že v případě ladění energie do oblasti druhého kombu získáváme časové struktury, jenž mají tvar dvoj- až čtyřpulzů. Právě tyto struktury se pro určení časového rozlišení jeví jako nejlepší. Samotné spektrum pro 9 MHz si pak lze prohlédnout

na obrázku 3.6.



Obrázek 3.6: Rozkombené spektrum pro frekvenci 9 MHz.

### 3.4 Měření stability v čase

Jedním ze zásadních kritérií pro určení časového rozlišení experimentální sestavy je stabilita a opakovatelnost měření časových histogramů detekcí rezonančních gama fotonů. Důvodem je, že námi volená metodika vyhodnocení časového rozlišení aparatury je založena na kombinaci několika měření s rozdílně nastavenými parametry, které jsou prováděny v po sobě jdoucích sériích měření, a tak by i jedno měření výrazně ovlivněno vnějšími vlivy, mohlo mít značný vliv a zkreslit výslednou hodnotu časového rozlišení aparatury.

V průběhu experimentů bylo zjištěno, že při opakovaných měřeních se stejnými počátečními parametry jako jsou  $\Delta E$ ,  $V_{pp}$ , atd., se výsledky neshodují. Konkrétně se jednalo o  $p$  parametr a parametr časového rozlišení  $\sigma_t$ , jež je hlavním předmětem této práce. Prvotní hypotézou byl vliv teploty, který ovlivňoval elektronické komponenty, a tak i samotné výsledky. Na základě této hypotézy bylo provedeno několik sérií měření.

Jako první jsme provedli porovnání měření s různými nastavenými napětími na generátoru funkcí. Samotný piezoelement generuje poměrně značné množství tepla, které se mění se změnou napětí. Bylo tedy ověřeno, zda teplotní stabilita nesouvisí s hodnotou napětí  $V_{pp}$  v důsledku změny stability podmínek v blízkosti piezoelementu při změně generovaného tepla.

Po vyhodnocení bylo zjištěno, že velikost napětí generátoru funkcí nejspíše vliv mít bude, avšak nejedná se o dostatečné potlačení, aby šly výsledky považovat za časově (teplotně) nezávislé (série měření 6  $V_{pp}$  a 8.5  $V_{pp}$  na obrázku 3.7). Další série měření byla provedena za podmínek, kdy byla teplota v místnosti za pomoci klimatizace alespoň částečně kontrolována (data 8.5  $V_{pp}$  AC na obrázku 3.7). V tomto případě již lze pozorovat zatelné zlepšení stability v čase.

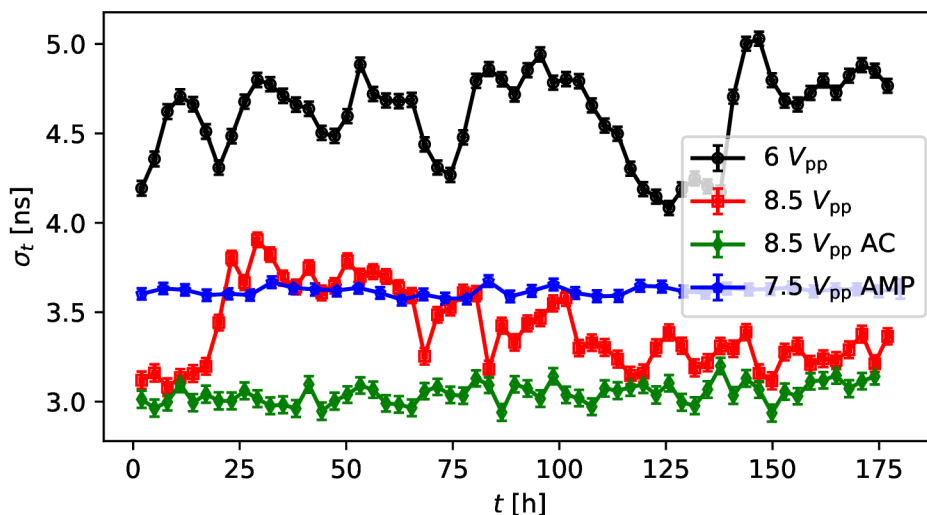
Jednou z možností redukce fluktuací výsledků měření je tedy stabilizace vnějších podmínek (teploty) v oblasti experimentální sestavy. Pro dosažení ještě vyšší stability měření bylo dále využito Zesilovače s diskriminátorem CFD popsaného v kapitole 2.2.3. Po této změně jsme již dosáhli dostačujících hodnot, kde má směrodatná odchylka série měření nižší hodnoty, než průměr nejistot fitovaných parametrů jednotlivých měření časového rozlišení  $\sigma_t$ . Toto porovnání hodnot si lze prohlédnout v tabulce 3.1. Sérii tohoto měření si lze opět prohlédnout na obrázku 3.7 (jako 7.5  $V_{pp}$  AMP).

|                          | 6 $V_{pp}$ | 8.5 $V_{pp}$ | 8.5 $V_{pp}$ AC | 7.5 $V_{pp}$ AMP |
|--------------------------|------------|--------------|-----------------|------------------|
| průměr nejistot [ns]     | 0.039      | 0.045        | 0.046           | 0.033            |
| směrodatná odchylka [ns] | 0.245      | 0.218        | 0.059           | 0.025            |

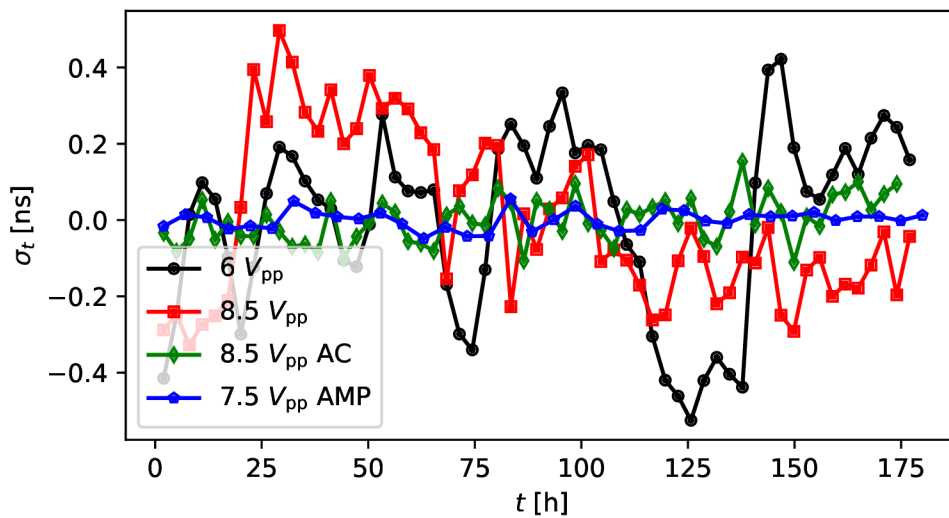
**Tabulka 3.1:** Porovnání hodnot průměru nejistot fitu  $\sigma_t$  a směrodatné odchylky  $\sigma_t$ .

Jednotlivé série měření si lze prohlédnout na obrázku 3.7 a na obrázku 3.8, kde jsou za účelem snažšího porovnání jednotlivé série měření „normalizované“. Normalizace byla provedena za pomoci napočítaného průměru hodnoty časového rozlišení jednotlivých sérií měření, který byl následně od dat odečten.

Pro série měření 6  $V_{pp}$ , 8.5  $V_{pp}$  a 8.5  $V_{pp}$  AC byla přibližná doba jednoho měření tři hodiny, zatímco pro sérii měření 7.5  $V_{pp}$  AMP trvalo jedno měření přibližně pět hodin. Důvodem byl požadavek na stejnou statistiku při nižším počtu detekcí za časovou jednotku, jenž se snížil výměnou zesilovače. Dále si lze při bližším pohledu na dataset 6  $V_{pp}$  také povšimnout, že jednotlivé série měření mají přibližnou periodu 24 h, která souhlasí s hypotézou teplotního vlivu (24hodinový teplotní cyklus).



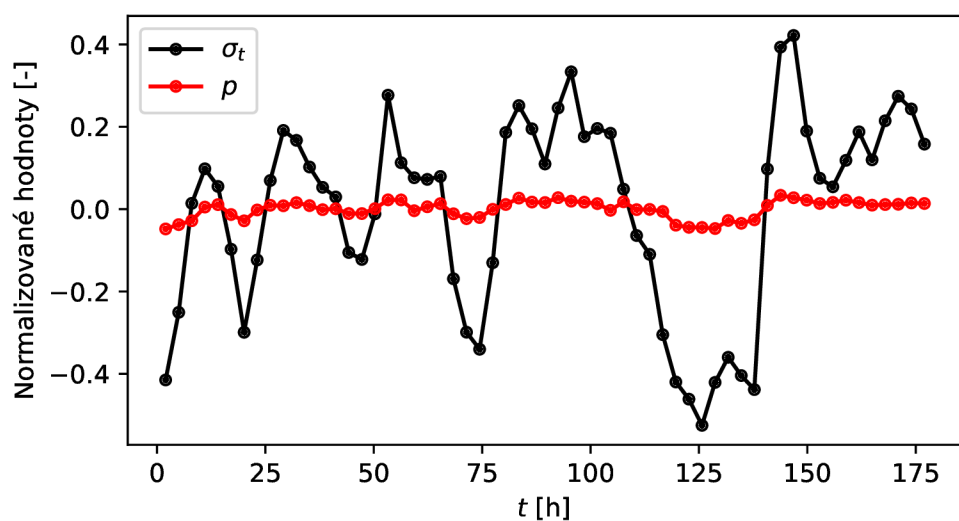
**Obrázek 3.7:** Časový vývoj parametru  $\sigma_t$  pro opakované měření při jednotlivých napětích. 8.5  $V_{pp}$  AC označuje měření při spuštěné klimatizaci a 7.5  $V_{pp}$  AMP měření při spuštěné klimatizaci a současném užití zesilovače s CFD.



**Obrázek 3.8:** Normalizovaný časový vývoj parametru  $\sigma_t$  pro opakované měření při jednotlivých napětích. 8.5 V<sub>pp</sub> AC označuje měření při spuštěné klimatizaci a 7.5 V<sub>pp</sub> AMP měření při spuštěné klimatizaci a současném užití zesilovače s CFD.

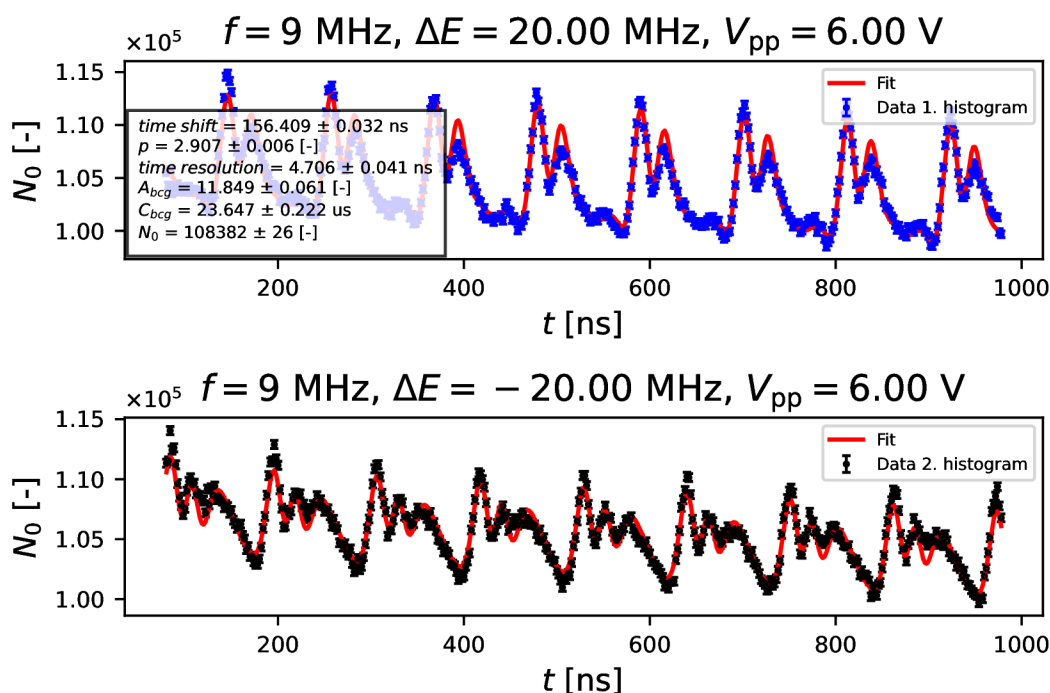
Samotné rozdílné hodnoty časového rozlišení  $\sigma_t$  pro měření 6 V<sub>pp</sub> bychom mohli přisoudit jak vlivu teploty na celkové časové rozlišení, tak korelaci parametrů časového rozlišení  $\sigma_t$  a  $p$ , což bude diskutováno v následující kapitole 3.5. Rozdíly hodnot sérií měření 8.5 V<sub>pp</sub> a 8.5 V<sub>pp</sub> AC nejsou až tak výrazné v oblasti 0–20 h a 110–174 h. V oblasti 20–110 h naopak nejspíše došlo k vyšší teplotní výchylce. Rozdíl přibližně 0.6 ns mezi 8.5 V<sub>pp</sub> AC a 7.5 V<sub>pp</sub> AMP může být dán jak korelací parametrů, tak užitím již dříve zmiňovaného zesilovače bez CFD, který nám časové rozlišení aparatury zhoršuje. Na závěr si ještě na obrázku 3.9 ukážeme teplotní závislost parametru  $p$ . Jako sérii měření jsme volili měření 6 V<sub>pp</sub>, kde jsou výchylky  $p$  nejlépe pozorovatelné.



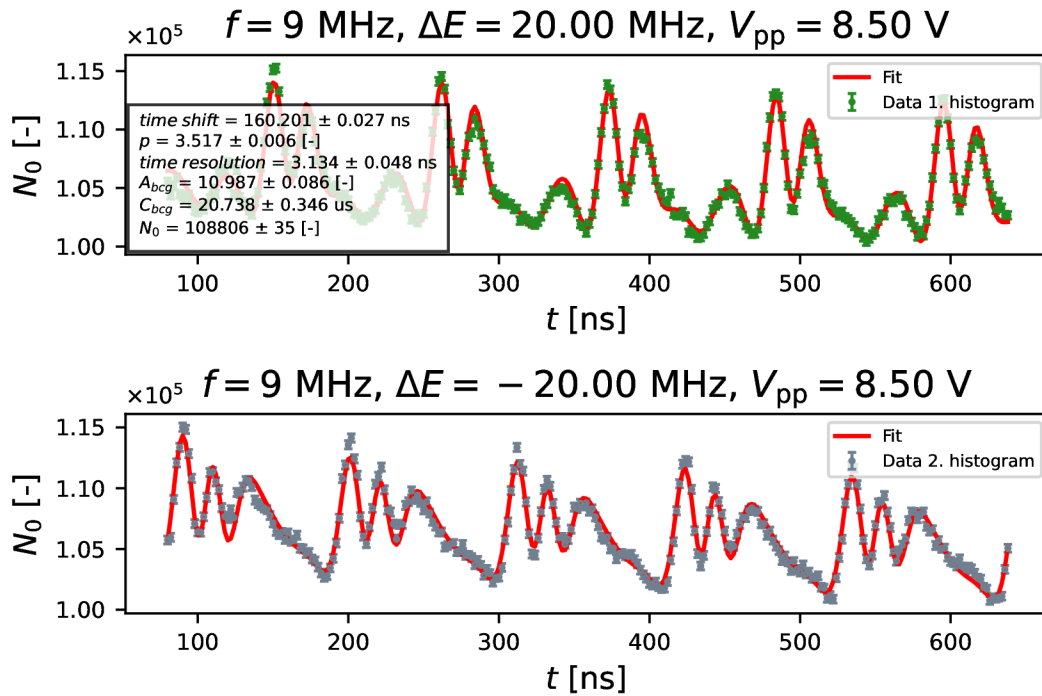


**Obrázek 3.9:** Ukázka teplotní závislosti normalizovaných hodnot parametru  $p$  v porovnání s parametrem  $\sigma_t$ .

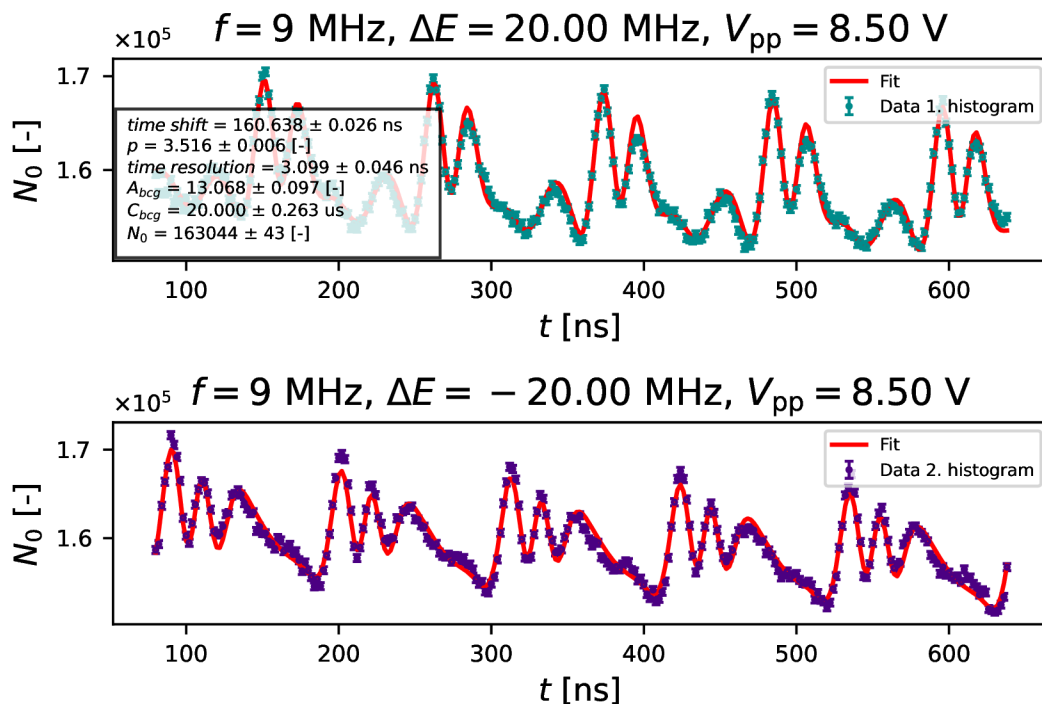
Příklady výsledných fitací si lze prohlédnout na obrázcích 3.10–3.13, jenž odpovídají pátému bodu jednotlivých sérií měření z obrázku 3.7.



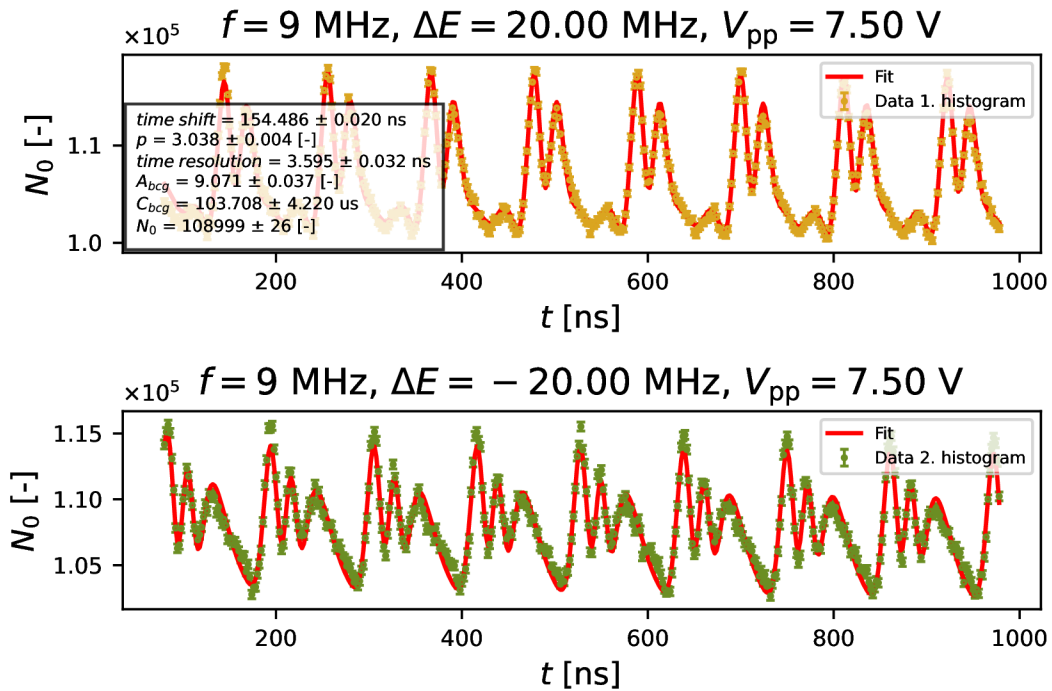
**Obrázek 3.10:** Ukázka nafitovaných koincidenčních histogramů pro sérii měření  $6 V_{pp}$ , jenž je vyobrazena na obrázku 3.7.



**Obrázek 3.11:** Ukázka nafitovaných koincidenčních histogramů pro sérii měření  $8.5 V_{pp}$ , jenž je vyobrazena na obrázku 3.7.



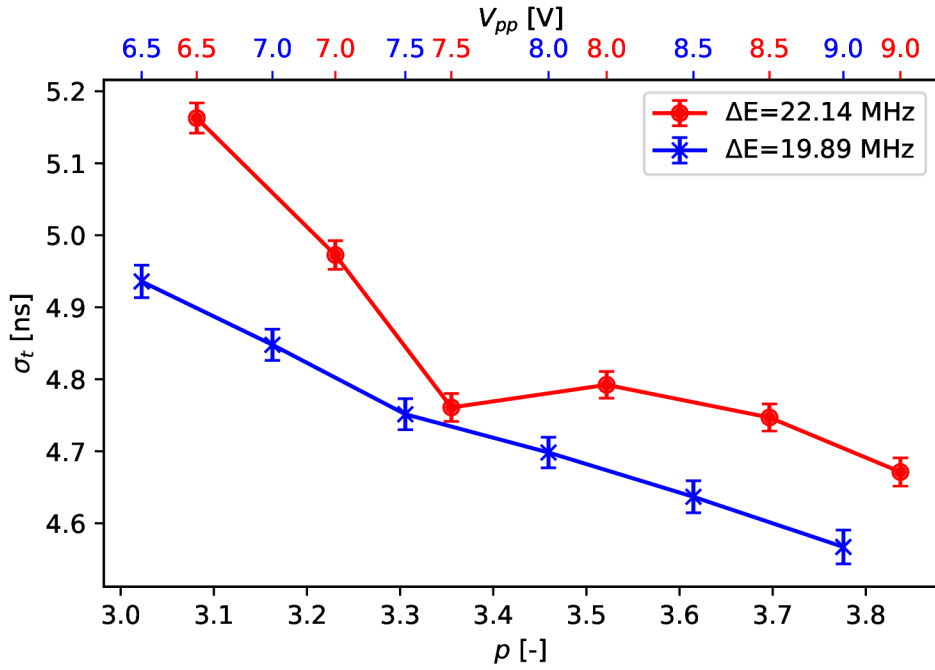
**Obrázek 3.12:** Ukázka nafitovaných koincidenčních histogramů pro sérii měření  $8.5 V_{pp}$  AC, jenž je vyobrazena na obrázku 3.7.



**Obrázek 3.13:** Ukázka nafitovaných koincidenčních histogramů pro sérii měření  $7.5 V_{pp}$  AMP, jež je vyobrazena na obrázku 3.7.

### 3.5 Korelace parametrů $\sigma_t$ a $p$

Jak již bylo v kapitole 3.4 nastíněno, tak dochází ke korelaci parametrů  $\sigma_t$  a  $p$ , kterou si lze prohlédnout na obrázku 3.14, kde lze pozorovat výsledky fitování časového rozlišení v závislosti na  $V_{pp}$  (parametru  $p$ ). Konkrétně se jedná o zápornou korelaci, tedy hodnoty časového rozlišení s roustoucím parametrem  $p$  mají klesající tendenci. Je nutno dodat, že data, z nichž provádíme vyhodnocení, byla měřena se zesilovačem bez CFD, a tudíž zde opět může hrát roli teplotní nestabilita.

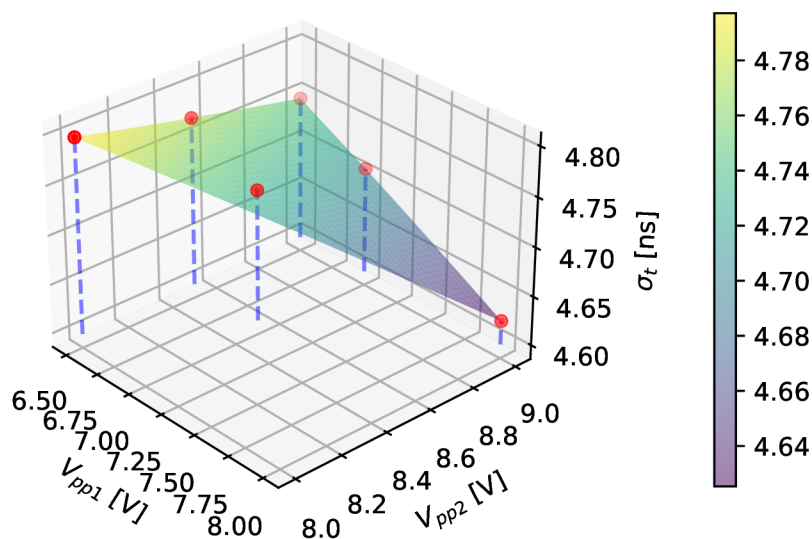


**Obrázek 3.14:** Ukázka závislosti parametrů  $\sigma_t$  a  $p$  pro série měření s laděnými energiemi 22.14 MHz a 19.89 MHz. Na horní horizontální ose vidíme hodnoty  $V_{pp}$  a na spodní hodnoty  $p$  pro jednotlivá měření.

Tato skutečnost vedla k takové úpravě kódu na fitování koincidenčních měření, která umožňuje současné fitování několika souborů, jenž sdílí parametr  $\sigma_t$ , což je popsáno v kapitole 2.6.2. Z dat vyobrazených na obrázku 3.14 jsme si zvolili sérii měření provedenou pro hodnoty  $\Delta E = 19.89$  MHz a ověření korelace provedli znovu při volbě dvojic dat, jenž lze pozorovat v tabulce 3.2, která je graficky interpretovaná na obrázku 3.15. Z provedeného měření je patrné, že zmiňovaná korelace stále setrvává, avšak interval rozptylu hodnot parametru  $\sigma_t$  se snížil o přibližně 53 %. Předpokládáme, že použití zesilovače s CFD a fitování více souborů s rozlišnými hodnotami  $V_{pp}$  a  $\Delta E$  současně povede k dalšímu zlepšení.

**Tabulka 3.2:** Výsledná tabulka hodnot  $p$  a  $\sigma_t$  při využití fitování více souborů s rozlišně nastavenou hodnotou  $V_{pp}$  současně.

| $V_{pp1}$ [V] | $V_{pp2}$ [V] | $p_1$ [-] | $p_2$ [-] | $\sigma_t$ [ns] | $u_{\sigma_t}$ [ns] |
|---------------|---------------|-----------|-----------|-----------------|---------------------|
| 6.5           | 8.0           | 3.017     | 3.465     | 4.7986          | 0.0157              |
| 6.5           | 8.5           | 3.016     | 3.624     | 4.7720          | 0.0160              |
| 6.5           | 9.0           | 3.016     | 3.787     | 4.7471          | 0.0165              |
| 7.0           | 8.5           | 3.160     | 3.622     | 4.7337          | 0.0157              |
| 7.0           | 9.0           | 3.160     | 3.786     | 4.7079          | 0.0161              |
| 8.0           | 9.0           | 3.460     | 3.783     | 4.6243          | 0.0159              |

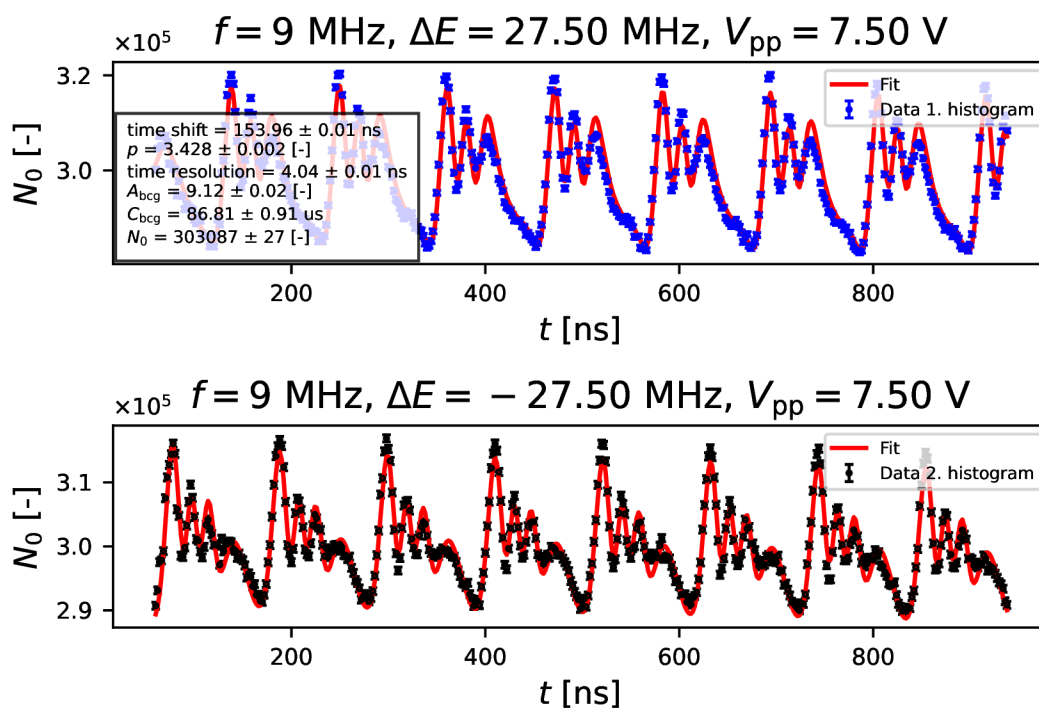


**Obrázek 3.15:** Hodnoty parametru  $\sigma_t$  v případě společného fitování dvou souborů dat s odlišně nastavenou hodnotou  $V_{pp}$ .

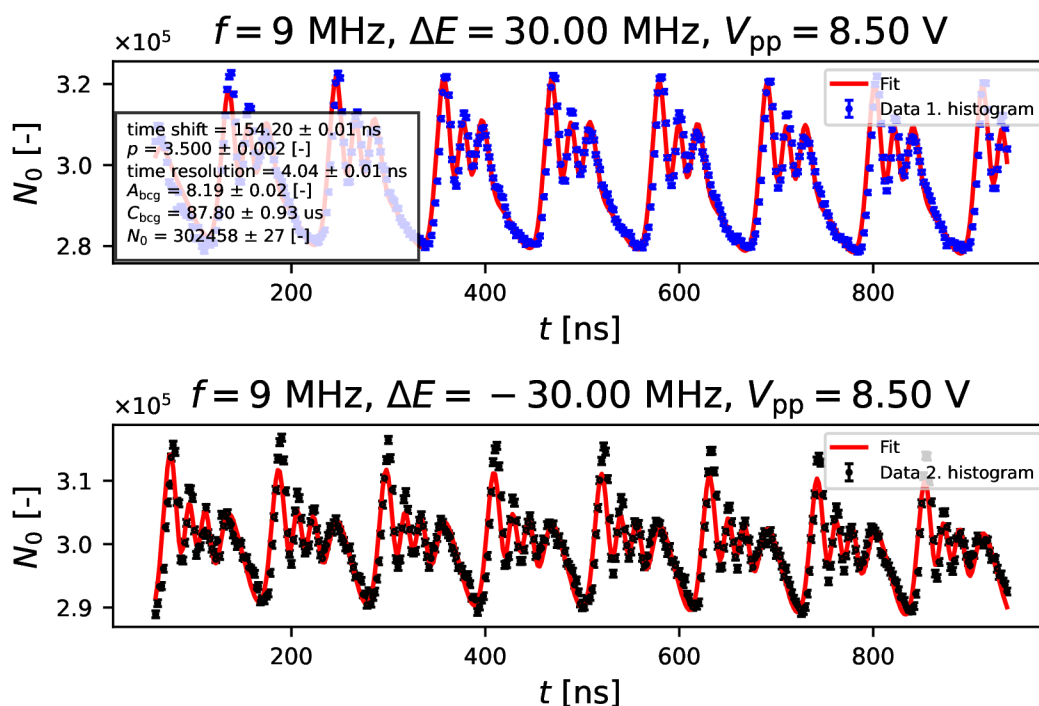
### 3.6 Určení časového rozlišení aparatury

Na základě výsledků a diskuze v předchozích kapitolách nyní můžeme provést vyhodnocení časového rozlišení  $\sigma_t$ . To provedeme za pomoci dat měřených s nastavenými hodnotami  $V_{pp} = (6.5; 7.5; 8.5)$  V,  $\Delta E = (25.0; 27.5; 30.0; 32.5)$  MHz a frekvencí piezotransducera 9 MHz.

Pro určení výsledné hodnoty časového rozlišení jsme fitovali současně celou množinu časových histogramů pro výše uvedené parametry  $V_{pp}$  a  $\Delta E$ . Příklady nafitovaných spekter z této série si lze prohlédnout na obrázcích 3.16–3.17. Získaná hodnota časového rozlišení je  $\sigma_t = 4.04 \pm 0.01$  ns. Pro srovnání jsme provedli obdobné fitování v případě dvojic energií  $\Delta E$ , kde pro dvojici 27.5 MHz a 32.5 MHz je výsledná hodnota  $\sigma_t = 4.14 \pm 0.01$  ns a pro dvojici 25.0 MHz a 30.0 MHz je  $\sigma_t = 3.90 \pm 0.01$  ns.



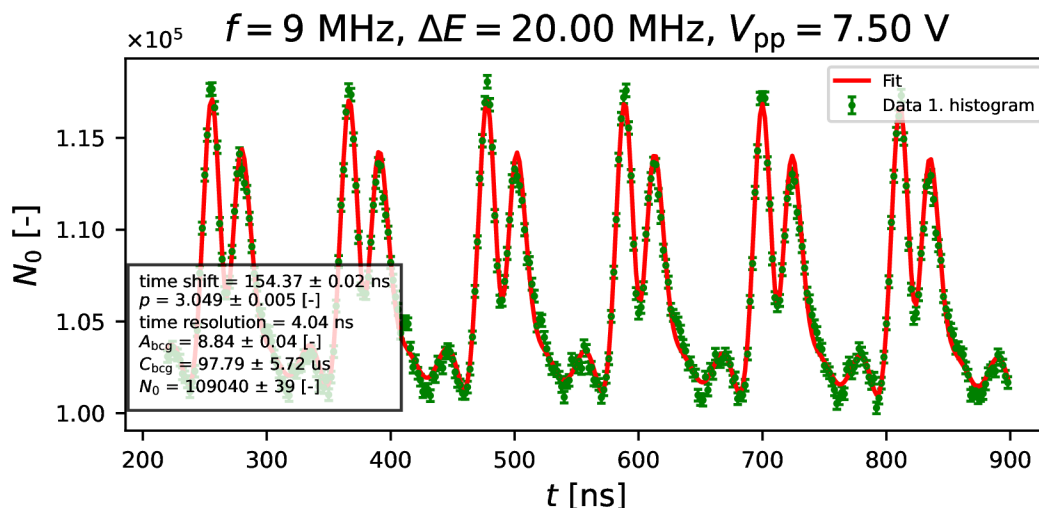
**Obrázek 3.16:** Ukázka nafitovaných koincidenčních histogramů ( $\Delta E = 27.5 \text{ MHz}$  a  $V_{pp} = 7.5 \text{ V}$ ) pro určení časového rozlišení.



**Obrázek 3.17:** Ukázka nafitovaných koincidenčních histogramů ( $\Delta E = 30.0 \text{ MHz}$  a  $V_{pp} = 8.5 \text{ V}$ ) pro určení časového rozlišení.

Pro ověření správnosti výsledné hodnoty časového rozlišení aparatury by bylo možné provést srovnání s jinou metodou. Taková metoda ovšem zahrnuje generaci záření vhodných časových vlastností (délka časového pulzu a definovaný čas přiletu), jenž je aktuálně dostupné pouze na synchrotronech.

Na závěr uvádíme ukázkou spektra s fixovaným parametrem časového rozlišení 4.04 ns určeným výše popsaným postupem, kterou lze pozorovat na obrázku 3.18.



**Obrázek 3.18:** Ukázkou nafitovaného koincidenčního histogramu s fixovanou hodnotou časového rozlišení na 4.04 ns.

### 3.7 Návrh metodiky

Na základě výsledků z předchozích kapitol si nyní stručně nastíníme návrh metodiky určení časového rozlišení aparatury pro experimenty v oblasti nukleární kvantové optiky, která se skládá z výběru pracovní oblasti, kontroly časové stability měření a samotného vyhodnocení, které si nyní nastíníme.

Po nastavení aparatury doporučujeme provést měření za účelem výběru pracovní oblasti. Toto měření je v podobě spekter v energetické doméně, jenž je provedeno pro různé frekvence piezotransducera, který moduluje dané gama záření. Volbu frekvence by měla ovlivnit především míra rozkombení daného energetického spektra, kdy požadujeme výskyt postranních spektrálních čar, se současným požadavkem na výrazné amplitudy těchto čar. Dále následuje výběr intervalu hodnot  $V_{pp}$  generátoru funkcí, jenž by měl obsahovat alespoň tři různé hodnoty. Volba těchto hodnot se odvíjí především od vlastností daného piezotransducera. Na závěr doporučujeme zvolit alespoň tři různé hodnoty energie dopplerovské modulace mezi druhou a čtvrtou postranní čarou, což nám umožňuje generovat časové histogramy v podobě opakujících se dvou- až čtyřpulzních struktur.

Dalším krokem procedury určení časového rozlišení je zajištění časové stability opakujících se měření. Jak bylo v této práci ukázáno, tak opakující se měření se stejnými nastavenými parametry nemusí dávat stejné výsledky. Primární příčinu tohoto jevu přisuzujeme změně teplot během měření. Tento jev by mělo být možné výrazně

potlačit kontrolou prostředí, v němž je měření prováděno. V případě nedostatečné možnosti kontroly okolních podmínek je vhodné využít zesilovače s CFD, případně jiné alternativní metody.

Posledním krokem je provedení samotné série měření, z níž bude parametr časového rozlišení  $\sigma_t$  vyhodnocen. Tato série by měla obsahovat měření s parametry nastavenými na hodnoty, jež byly zvoleny při výběru pracovní oblasti. Po změření těchto časových histogramů zbývá dané časové struktury nařadit za pomoci kódu, který je prezentován v příloze A.



# Závěr

V této práci jsme se zaměřili na určení časového rozlišení aparatury pro experimenty v oblasti nukleární kvantové optiky. Toto rozlišení obecně závisí na časových charakteristikách jednotlivých komponent experimentální sestavy v rámci detekce a následného zpracování příslušných pulsních signálů. Námi prezentovaná metoda umožňuje získat informaci o celkovém časovém rozlišení dané sestavy na základě změření a vyhodnocení několika časově-koincidenčních histogramů. Jedná se tak o relativně jednoduchou a rychlou metodu určení.

Pro vypracování metodiky určení časového rozlišení byla sestavena a otestována experimentální aparatura využívající časových koincidenčních detekcí 14.41 keV rezonančních fotonů vůči startovacímu pulznímu signálu z generátoru funkcí. Modulace mössbauerovské interakce gama fotonů s jádery  $^{57}\text{Fe}$  pomocí vysokofrekvenčních vibračních absorbátorů umožňovala generaci časových histogramů ve formě periodické soustavy gama pulzů (dvoj- až čtyř pulzů). Takovéto signály se ukazují jako vhodné pro určení časového rozlišení, které je získáno jako parametr fitovaných experimentálních dat.

Během experimentů bylo zjištěno, že v důsledku korelací fitovaných parametrů v rámci koincidenčních měření je vhodné vyhodnocování provádět pomocí současného fitování více datasetů. Za tímto účelem byl vytvořen kód programu v jazyce Python. Vyhodnocení je v tomto kódu realizováno tak, že všechny fitované datasety sdílí společný parametr časového rozlišení, zatímco ostatní parametry se pro jednotlivé datasety liší.

Experimentální parametry mohou být ovlivněny vnějšími podmínkami (například teplotou). Pro správné vyhodnocení je tak nutné zajistit stabilní laboratorní podmínky. Opakovatelnost měření tak, aby bylo možné analyzovat soubor několika po sobě měřených datasetů, bylo možné v našich experimentech zajistit vytvořením stabilních teplotních podmínek za pomoci klimatizace, případně využitím vhodné elektroniky pro zpracování detekčních pulzů (CFD).

Na základě provedených měření a jejich vyhodnocení byl v rámci bakalářské práce popsán návrh metodiky vyhodnocení, která zahrnuje volbu pracovní oblasti měření (frekvence piezotransduceru, amplituda napětí z generátoru funkcí, volba dopplerovské modulace), ověření časové stability a samotné vyhodnocení časového rozlišení pomocí vytvořeného programu. Pro experimentální sestavu použitou pro naše měření nabývá časové rozlišení hodnoty 4.04 ns.

# Seznam použitých zdrojů

1. GÜTLICH, Philipp. Fifty years of Mössbauer spectroscopy in solid state research—remarkable achievements, future perspectives. *Zeitschrift für anorganische und allgemeine Chemie*. 2012, roč. 638, č. 1, s. 15–43. [cit. 2024-03-24].
2. PROCHÁZKA, Vít. *Neobvyklá Mössbauerova spektroskopie*. Univerzita Palackého v Olomouci, 2014. [cit. 2024-03-24].
3. GREENWOOD, Norman Neill. *Mössbauer spectroscopy*. Springer Science & Business Media, 2012. [cit. 2024-03-24].
4. GINDER-VOGEL, Matthew; SPARKS, Donald L. Chapter 1 - The Impacts of X-Ray Absorption Spectroscopy on Understanding Soil Processes and Reaction Mechanisms. In: SINGH, Balwant; GRÄFE, Markus (ed.). *Synchrotron-Based Techniques in Soils and Sediments*. Elsevier, 2010, sv. 34, s. 1–26. Developments in Soil Science. ISSN 0166-2481. Dostupné z DOI: [https://doi.org/10.1016/S0166-2481\(10\)34001-3](https://doi.org/10.1016/S0166-2481(10)34001-3). [cit. 2024-03-24].
5. GÜTLICH, Philipp; BILL, Eckhard; TRAUTWEIN, Alfred X. *Mössbauer spectroscopy and transition metal chemistry: Fundamentals and applications*. Springer Berlin Heidelberg, 2011. ISBN 978-3-540-88427-9. Dostupné z DOI: 10.1007/978-3-540-88428-6. [cit. 2024-03-24].
6. LONGWORTH, G; WINDOW, B. The preparation of narrow-line Mössbauer sources of  $^{57}\text{Co}$  in metallic matrices. *Journal of Physics D: Applied Physics*. 1971, roč. 4, č. 6, s. 835. Dostupné z DOI: 10.1088/0022-3727/4/6/316. [cit. 2024-03-24].
7. QAIM, SM; BLACK, PJ; EVANS, MJ. The preparation of narrow-line  $^{57}\text{Fe}$  Mössbauer sources and an investigation of some of the causes of their line broadening. *Journal of Physics C: Solid State Physics*. 1968, roč. 1, č. 5, s. 1388. [cit. 2024-03-24].
8. OUSEPH, P. *Introduction to nuclear radiation detectors*. Sv. 2. Springer Science & Business Media, 2012. [cit. 2024-03-24].
9. AHMED, Syed Naeem. *Physics and engineering of radiation detection*. Academic Press, 2007. [cit. 2024-03-24].
10. KOČIŠČÁK, Jan. *Aplikace práškových scintilačních materiálů v Mössbauerově spektroskopii [online]*. 2023 [cit. 2024-03-02]. Dostupné také z: <https://theses.cz/id/5ddeki/>. Disertační práce. Univerzita Palackého v Olomouci, Přírodovědecká fakulta Olomouc. [cit. 2024-03-24].

11. RUBY, SL; BOLEF, DI. Acoustically modulated  $\gamma$  rays from Fe 57. *Physical Review Letters*. 1960, roč. 5, č. 1, s. 5. [cit. 2024-03-26].
12. CRANSHAW, TE; REIVARI, P. A Mössbauer study of the hyperfine spectrum of  $^{57}\text{Fe}$ , using ultrasonic calibration. *Proceedings of the Physical Society*. 1967, roč. 90, č. 4, s. 1059. [cit. 2024-03-26].
13. VAGIZOV, Farit; ANTONOV, Vladimir; RADEONYCHEV, YV; SHAKHMURATOV, RN; KOCHAROVSKAYA, Olga. Coherent control of the waveforms of recoilless  $\gamma$ -ray photons. *Nature*. 2014, roč. 508, č. 7494, s. 80–83. [cit. 2024-03-26].
14. SHAKHMURATOV, RN; VAGIZOV, FG. Application of the Mössbauer effect to the study of subnanometer harmonic displacements in thin solids. *Physical Review B*. 2017, roč. 95, č. 24, s. 245429. [cit. 2024-03-26].
15. MONAHAN, JE; PERLOW, GJ. Theoretical description of quantum beats of recoil-free  $\gamma$  radiation. *Physical Review A*. 1979, roč. 20, č. 4, s. 1499. [cit. 2024-03-26].
16. PERLOW, Gilbert J. Quantum beats of recoil-free  $\gamma$  radiation. *Physical Review Letters*. 1978, roč. 40, č. 13, s. 896. [cit. 2024-03-26].
17. SHAKHMURATOV, RN; VAGIZOV, FG; ANTONOV, VA; RADEONYCHEV, YV; SCULLY, Marlan O; KOCHAROVSKAYA, Olga. Transformation of a single-photon field into bunches of pulses. *Physical Review A*. 2015, roč. 92, č. 2, s. 023836. [cit. 2024-03-26].
18. PROCHÁZKA, Vít; NOVÁK, Petr; STEJSKAL, Aleš; DUDKA, Michal; VRBA, Vlastimil. Lamb-Mössbauer factor determination by resonant Mössbauer spectrometer. *Physics Letters A*. 2022, roč. 442, s. 128195. [cit. 2024-03-24].
19. STEJSKAL, Aleš. *Coherent Control of Gamma-radiation Intensity by Vibrating Resonant Medium [online]*. 2023 [cit. 2024-03-02]. Dostupné také z: <https://theses.cz/id/cq6qcq/>. Disertační práce. Univerzita Palackého v Olomouci, Přírodovědecká fakulta Olomouc. [cit. 2024-03-24].
20. STEJSKAL, Aleš; PROCHÁZKA, Vít; DUDKA, Michal; VRBA, Vlastimil; KOČIŠČÁK, Jan; ŠRETROVÁ, Pavla; NOVÁK, Petr. A dual Mössbauer spectrometer for material research, coincidence experiments and nuclear quantum optics. *Measurement*. 2023, roč. 215, s. 112850. ISSN 0263-2241. Dostupné z DOI: <https://doi.org/10.1016/j.measurement.2023.112850>. [cit. 2024-03-04].
21. PROCHÁZKA, Vít; NOVÁK, Petr; VRBA, Vlastimil; STEJSKAL, Aleš; DUDKA, Michal. Autotuning procedure for energy modulation in Mössbauer spectroscopy. *Nuclear Instruments and Methods in Physics Research Section B: Beam Interactions with Materials and Atoms*. 2020, roč. 483, s. 55–62. ISSN 0168-583X. Dostupné z DOI: <https://doi.org/10.1016/j.nimb.2020.08.015>. [cit. 2024-03-04].
22. PROCHÁZKA, Vít; NOVAK, Petr; STEJSKAL, Ales; DUDKA, Michal; VRBA, Vlastimil. Lamb-Mössbauer factor determination by resonant Mössbauer spectrometer. *Physics Letters A*. 2022, roč. 442, s. 128195. Dostupné z DOI: [10.1016/j.physleta.2022.128195](https://doi.org/10.1016/j.physleta.2022.128195). [cit. 2024-03-04].

23. BACCARO, S; BLAŽEK, K; DE NOTARISTEFANI, F; MALY, P; MARES, J.A; PANI, R; PELLEGRINI, R; SOLURI, A. Scintillation properties of YAP:Ce. *Nuclear Instruments and Methods in Physics Research Section A: Accelerators, Spectrometers, Detectors and Associated Equipment*. 1995, roč. 361, č. 1, s. 209–215. ISSN 0168-9002. Dostupné z DOI: [https://doi.org/10.1016/0168-9002\(95\)00016-X](https://doi.org/10.1016/0168-9002(95)00016-X). [cit. 2024-03-24].
24. CRYTUR.CZ. YAP:Ce. Dostupné také z: <https://www.crytur.com/materials/yap-ce/>. [cit. 2024-03-04].
25. HAMAMATSU. *Photomultiplier tube R6094*. Dostupné také z: [https://www.hamamatsu.com/eu/en/product/optical-sensors/pmt/pmt\\_tube-alone/head-on-type/R6427.html](https://www.hamamatsu.com/eu/en/product/optical-sensors/pmt/pmt_tube-alone/head-on-type/R6427.html). [cit. 2024-03-04].
26. HAMAMATSU. *Photomultiplier tube R6427*. Dostupné také z: [https://www.hamamatsu.com/us/en/product/optical-sensors/pmt/pmt\\_tube-alone/head-on-type/R6427.html](https://www.hamamatsu.com/us/en/product/optical-sensors/pmt/pmt_tube-alone/head-on-type/R6427.html). [cit. 2024-03-04].
27. RITVERC. *RITVERC zářič*. Dostupné také z: <https://ritverc.com/en/products/industrial-sources/gamma-radiation-sources/57co>. [cit. 2024-03-04].
28. NOVÁK, P.; PROCHÁZKA, V.; STEJSKAL, A. Universal drive unit for detector velocity modulation in Mössbauer spectroscopy. *Nuclear Instruments and Methods in Physics Research Section A: Accelerators, Spectrometers, Detectors and Associated Equipment*. 2022, roč. 1031, s. 166573. ISSN 0168-9002. Dostupné z DOI: <https://doi.org/10.1016/j.nima.2022.166573>. [cit. 2024-03-04].
29. FISCHERSIENTIFIC. *Absorbátor z nerezové oceli*. Dostupné také z: <https://www.fishersci.ca/shop/products/stainless-steel-foil-0-025mm-0-001in-thick-type-304-thermo-scientific/p-4782161>. [cit. 2024-03-04].
30. FISCHERSIENTIFIC.  *$\alpha$ Fe kalibrační vzorek*. Dostupné také z: <https://www.fishersci.ca/shop/products/iron-foil-0-025mm-0-001in-thick-hard-99-5-metals-basis-thermo-scientific/aa44687gt>. [cit. 2024-03-04].
31. AMBROSY, A; HOLDIK, K. Piezoelectric PVDF films as ultrasonic transducers. *Journal of Physics E: Scientific Instruments*. 2000, roč. 17, s. 856. Dostupné z DOI: [10.1088/0022-3735/17/10/011](https://doi.org/10.1088/0022-3735/17/10/011). [cit. 2024-03-04].
32. SIGLENT. *Generátor funkcí*. Dostupné také z: <https://siglentna.com/product/sdg1032x/>. [cit. 2024-03-04].
33. DEPARTMENT OF EXPERIMENTAL PHYSICS. *OLTWINS*. Dostupné také z: <https://www.prf.upol.cz/en/department-of-experimental-physics/oltwins/about-oltwins/>. [cit. 2024-05-05].
34. JÜNGLING, Tomáš. *Python code for determining time resolution*. Dostupné také z: <https://gist.github.com/TJungling/f89555035904554e92716bab863641ec>. [cit. 2024-03-04].

# Seznam použitých symbolů a zkratek

| Značka     | Popis   |
|------------|---|
| AAD        | amplitudový diskriminátor (amplitude discriminator)                     |
| ABG        | generátor napěťových funkcí (arbitrary function generator)              |
| BL         | základní hladina diskriminátoru (baseline)                              |
| CFD        | diskriminátor s časovou značkou (constant fraction discriminator)       |
| FWHM       | čířka v polovině výšky (full width half maximum)                        |
| HL         | horní hladina diskriminátoru (high level)                               |
| LL         | dolní hladina diskriminátoru (low level)                                |
| PM         | fotonásobič (photomultiplier tube)                                      |
| PSD        | pulzní tvarový diskriminátor (pulse shape discriminator)                |
| SCA        | jednokanáloví analyzátor (single channel analyser)                      |
| TDC        | časově digitální převodník (time digital convertor)                     |
| TMS        | transmisní Mössbauerova spektroskopie                                   |
| $A_{bcg}$  | amplituda pozadí  |
| $B_{hyf}$  | hyperjemné magnetické pole  |
| $c$        | rychlost světla $c = 299792458$ m/s                                     |
| $C_{bcg}$  | konstanta exponenciály pozadí   |
| $d_{eff}$  | efektivní tloušťka absorbátoru  |
| $\delta$   | izomerní posun  |
| $\Delta E$ | energie Dopplerovy modulace   |
| $\delta t$ | časový posun  |
| $E$        | energie základního stavu  |
| $E^*$      | energie excitovaného jádra  |
| $E_0$      | původní energie modulovaného záření                                     |
| $E_\gamma$ | energie gama fotonu   |
| $E_r$      | energie zpětného rázu   |
| $f$        | frekvence absorbátoru   |
| $\Gamma_0$ | šířka spektrální čáry   |
| $h$        | Planckova konstanta $h = 6.62607515 \cdot 10^{-34}$ J·s                 |
| $\hbar$    | redukovaná Planckova konstanta $\hbar = 1.054572613 \cdot 10^{-34}$ J·s |
| $I$        | intenzita   |
| $i$        | imaginární jednotka $i = \sqrt{-1}$                                     |

|                 |   |
|-----------------|---|
| $j$             | číslo kvantování celkového momentu hybnosti                   |
| $\lambda$       | vlnová délka  |
| $m$             | průmět spinu do osy kvantování                                |
| $\vec{\mu}$     | magnetický dipólový moment                                    |
| $N$             | počet detekcí   |
| $\Omega$        | úhlová frekvence pohybu absorbátoru                           |
| $\omega_a$      | energie nukleárního přechodu absorbátoru                      |
| $\omega_\gamma$ | energie gama fotonu   |
| $p$             | vibrační amplituda  |
| $P_\gamma$      | hybnost gama fotonu   |
| $\pi$           | Ludolfovo číslo $\pi = 3.141592$                              |
| $P_r$           | hybnost Mössbauerova jádra                                    |
| $R$             | amplituda pohybu absorbátoru                                  |
| $\sigma_t$      | časové rozlišení  |
| $t$             | čas   |
| $t_0$           | čas emise gama fotonu   |
| $\tau$          | doba života   |
| $v$             | rychlost  |
| $V_{pp}$        | hodnota rozsahu napětí minima k maximu (voltage peak to peak) |
| $\varphi$       | fáze  |
| $z$             | pozice absorbátoru  |
| $z_0$           | počáteční pozice absorbátoru                                  |

# A Software k fitování koincidenčních spekter

Listing A.1: Kód k fitování koincidenčních měření.

```
1 import numpy as np
2 import matplotlib.pyplot as plt
3 import os
4 import re
5 import itertools
6 from scipy.optimize import curve_fit
7 from collections import Counter
8
9
10 def Fit_file(E_tuned_values, Vpp_values, signal_data_combined, save_folder, data_range):
11
12
13     #####
14     ##### Parameters #####
15
16
17     ### Elementary constants ###
18     gamma_0 = 1.126830 # [1/us] natural linewidth in [MHz] (0.097 mm/s * 11.61685)
19     E0 = 14413 # resonant transition energy level [eV]
20     q = 1.602176 * 10 ** (-19) # elementary charge [C]
21     c = 299.792458 # speed of light in vacuum [m/us]
22     h = 6.62607015 * 10 ** (-34) # Planck constant [J/s]
23     j = complex(0, 1) # complex unit
24
25     ### Simulation parameters ###
26     minus_t = 0.500 # [us] lower limit of the time integration [1 us requires to cut the first]
27     time_range = 2.048 # [us] simulation time range - upper limit of the time integration
28     num_of_points = 1024 # [-] number of points in time domain
29     dt = time_range / num_of_points # [us] time axis step
30     Time_axis = np.linspace(0, ((num_of_points - 1) * dt), num=(num_of_points)) # time axis
31     generation
32     vibration_freq = 9 # [MHz] fundamental vibration frequency
33     num_of_harmonics = 1 # [-] number of harmonics in the Fourier series of the absorber
34     motion_profile
35     d_eff = 7.07 # [-] effective thickness
36     absorption_shift = 2.61 # 2.493 # [MHz] of the absorption function relative to the source
37     bhyf = 0.58 # [T] hyperfine magnetic field
38     gamma_source_multiple = 1.00 # broadening of source emission line in multiple of natural
39     linewidth
40     gamma_absorber_multiple = 1.00 # broadening of absorber line in multiple of natural
41     linewidth
42     motion_waveform_inverted = "No" # inversion of motion profile "yes" = inverted, others =
43     original
44
45     ### Fourier series parameters - amplitudes and phases ###
46     f_amps = [2.292, 0.0, 0.764, 0.0, 0.458, 0.0, 0.327, 0.0, 0.254, 0.0, 0.208, 0.0, 0.176,
47             0.0, 0.152, 0.0, 0.134,
48             0.0, 0.12, 0.0, 0.109, 0.0, 0.099, 0.0, 0.091, 0.0, 0.084, 0.0, 0.078, 0.0,
49             0.073, 0.0, 0.068, 0.0, 0.064,
50             0.0, 0.061, 0.0, 0.058, 0.0, 0.055, 0.0, 0.052, 0.0, 0.05, 0.0, 0.047, 0.0,
51             0.045, 0.0]
52     f_phases = [0.0, 0, 0.0, 0, 0.0, 0, 0.0, 0, 0.0, 0, 0.0, 0, 0.0, 0, 0.0, 0, 0.0, 0, 0.0, 0,
53             0.0, 0, 0.0, 0, 0.0, 0,
54             0.0, 0, 0.0, 0, 0.0, 0, 0.0, 0, 0.0, 0, 0.0, 0, 0.0, 0, 0.0, 0, 0.0, 0, 0.0, 0,
55             0.0, 0, 0.0, 0]
56
57     ### Define the parameters of the Gaussian function ###
58     A = 1 # Amplitude
59     B = 0 # Baseline
60     mu = 1.024 # Mean, because of the asymmetry of the data around 0 it is necessary to choose
61     the value 1.024
62     G_Time_axis = np.linspace(0, 2.048, 1024) # Gauss time-axis
63
64     #####
65     #####
66     #####
```

```

58 ##### Define functions #####
59
60
61 ### Define Simulation function of gamma pulses ###
62 def Simulation_func(motion_time_shift, E_tuned, p):
63     def generate_motion(t, num_of_harmonics, f_amps, f_phases, w, time_delay):
64         val = 0
65         t = np.subtract(t, time_delay) # shifting of the time axis (and thus the motion
66             profile) in time
67         for i in range(1, num_of_harmonics + 1):
68             val += f_amps[i - 1] * np.sin(w * i * t - f_phases[i - 1]) # sum over all
69             harmonics
70         return val
71
72     def normalize(array):
73         norm_constant = max(np.abs(array)) # normalize array by its maximum absolute value
74         return np.multiply(array, 1 / norm_constant)
75
76     def generate_photon_field(t, A, j_w_s_plus_gmma_over_2, p_over_w_s, z_motion):
77         return A * np.heaviside(t, 1) * np.exp(-(j_w_s_plus_gmma_over_2) * (
78             t - p_over_w_s * z_motion)) # generation of the to the absorber incident
79             gamma photon field
80
81     def magnetic_splitting(bhyf,
82         absorption_shift): # calculation of the absorption lines
83         positions induced by
84
85         # mangetic splitting
86         gg = 0.18125 # gyromagnetic ration of ground state
87         ge = -0.10348 # gyromagnetic ratio of excited state
88         un = 7.6226077 # nuclear magneton in [MHz]
89
90         un_bhyf = un * bhyf / 2 # preparatory calculation
91
92         ### calculation of individual lines ###
93         E1 = (-gg + 3 * ge) * un_bhyf + absorption_shift
94         E2 = (-gg + ge) * un_bhyf + absorption_shift
95         E3 = (-gg - ge) * un_bhyf + absorption_shift
96         E4 = (gg + ge) * un_bhyf + absorption_shift
97         E5 = (gg - ge) * un_bhyf + absorption_shift
98         E6 = (gg - 3 * ge) * un_bhyf + absorption_shift
99         lines_positions = [E1, E2, E3, E4, E5, E6] # assembling in list
100        lines_amps = [3, 2, 1, 1, 2, 3] # sextet lines amplitudes
101        normalized_lines_amps = np.divide(lines_amps, sum(lines_amps)) # normalization of
102            the lines amplitudes
103        return lines_positions, normalized_lines_amps
104
105    def absorption_function(f, bhyf, absorption_shift, gamma_0):
106        lines_positions, lines_amplitudes = magnetic_splitting(bhyf,
107            absorption_shift) # get the
108            lines positions and
109
110        # amplitudes by magnetic splittin function
111
112        ### conversion into the angular frequencis: w = 2*pi*f ###
113        lines_positions_w = np.multiply(lines_positions, 2 * np.pi)
114        absorption_shift_w = np.multiply(absorption_shift, 2 * np.pi)
115        gamma_0_w = np.multiply(gamma_0, 2 * np.pi)
116        w = np.multiply(f, 2 * np.pi)
117        j_gamma_0w_2 = j * gamma_0_w / 2 # preparatory calculation
118
119        val = 0
120        for i in range(len(lines_positions)):
121            val += lines_amplitudes[i] * (-j_gamma_0w_2) / (w - lines_positions_w[
122                i] - j_gamma_0w_2) # sum of complex conjugated Lorentzian, complex
123                conjugation is necessary due
124            # to numpy FFT algorithm definition complex conjugate in energy domain causes
125            the reversal in the
126            # time domain
127        return val
128
129        gamma_source = gamma_0 * gamma_source_multiple # [1/us] source linewidth
130        gamma_absorber = gamma_0 * gamma_absorber_multiple # [1/us] absorber linewidth
131
132        w_0 = np.pi / (
133            dt) # [rad/us] maximum angular frequency of the wave for simulation given by two
134            times lower frequency
135        # than the maximum frequency range ((2*Pi)/dt)
136        w_s = w_0 - 2 * np.pi * E_tuned # [rad/us] minus is implemented maybe due to FFT which
137            turns the energy sign
138        vibration_w = 2 * np.pi * vibration_freq # [rad/us] angular frequency of absorber
139            ultrasound movement
140        gamma_source_w = gamma_source * (2 * np.pi) # [rad/us] angular frequency of the source
141            linewidth
142        gamma_absorber_w = gamma_absorber * (2 * np.pi) # [rad/us] angular frequency of the
143            absorber linewidth
144        absorption_shift_w = absorption_shift * (2 * np.pi) # [rad/us] angular frequency of
145            absorption functin shift
146
147        w_E0 = 10 ** (-6) * 2 * np.pi * E0 * q / h # [rad/us] angular frequency of the 14.413
148            keV transition
149        wavelength = 10 ** (12) * (2 * np.pi * c / w_E0) # [pm] gamma photon wavelength
150        Amp = p * c / (w_E0) # [m] amplitude of vibrations
151
152        t0_integration_range = np.linspace(-minus_t, time_range, int((minus_t / (
153            time_range / num_of_points))) + num_of_points) # time intensity integration
154            range (t0)

```



```

137
138     ### generation of the energy domain axis ###
139     frequency_axis = np.fft.fftfreq(num_of_points, d=dt) # frequency axis generation
140     frequency_axis = np.fft.fftshift(frequency_axis) # frequency axis shift for FFT
141     w_axis = np.multiply(frequency_axis, 2 * np.pi) # angular frequency axis generation
142
143     ### initiation of the gamma radiation intensity array ###
144     wave_intensity = np.zeros(num_of_points)
145
146     ### generation of movement waveform ###
147     absorber_motion = generate_motion(Time_axis, num_of_harmonics, f_amps, f_phases,
148                                     vibration_w, motion_time_shift)
149     absorber_motion_normalized = normalize(absorber_motion)
150     if motion_waveform_inverted == "yes":
151         absorber_motion_normalized = np.multiply(absorber_motion_normalized,
152                                                  -1) # inversion of the absorber motion
153                                     profile
154
155     ### generation of absorption function of absorber ###
156     absorption = absorption_function(w_axis, bhyf, absorption_shift_w, gamma_absorber_w)
157
158     ### Calculate exponential values for absorption_function array ###
159     exponential_absorption = np.exp(-(d_eff / 2) * absorption)
160
161     ### preparatory calculations for generation of the incident photon field ###
162     p_over_w_s = p / w_s
163     j_w_s_plus_gmma_over_2 = j * w_s + gamma_source_w / 2
164     photon_field_amplitude = np.sqrt(gamma_source_w)
165
166     counter = 0 # counter for watching the
167
168     ### Numerical integration over t0 ###
169     for t0 in t0_integration_range:
170         Time_axis_t0 = np.subtract(Time_axis, t0) # preparatory calculation (time axis
171                                     shift)
172
173         ### generation of electric intensity wave ###
174         incident_wave = generate_photon_field(Time_axis_t0, photon_field_amplitude,
175                                               j_w_s_plus_gmma_over_2,
176                                               p_over_w_s, absorber_motion_normalized)
177
178         ## FFT transform of the electric intensity from the time domain to energy
179         domain ###
180         incident_field_energy_domain = np.fft.fft(incident_wave)
181
182         ### Absorption process ###
183         energy_domain_after_absorption = incident_field_energy_domain *
184                                     exponential_absorption
185
186         ### Conversion of the energy domain by inverse FFT back to time domain ###
187         wave_after_absorption = np.fft.ifft(energy_domain_after_absorption)
188
189         ### Electric field intensity calculation ###
190         wave_intensity += np.abs(wave_after_absorption) ** 2 * dt
191
192         counter += 1
193         if counter % 500 == 0:
194             print(str(round((counter / len(t0_integration_range)) * 100, 0)) + "%_done",
195                  end='\r')
196
197     return wave_intensity
198
199     ### Define intensity function ###
200     def Simulation_func_exp(Time_axis, E_tuned, motion_time_shift, A_bcg, C_bcg, N_0, p):
201         Simulation_func_exp = (((A_bcg + Simulation_func(motion_time_shift, E_tuned, p)) /
202                                (A_bcg + 1)) * (
203                                 np.exp((-Time_axis) / C_bcg) * N_0)) # Use the desired value from the tuple
204     return Simulation_func_exp
205
206     ### Define the Gaussian function ###
207     def Gaussian(G_Time_axis, time_resolution):
208         Gaussian = B + (A / ((np.sqrt(2 * np.pi) * time_resolution))) * np.exp(
209             -(G_Time_axis - mu) ** 2 / (2 * time_resolution ** 2)) # Normalized Gaussian
210         function
211     return Gaussian
212
213     ### Convolution of intensity function with Gaussian ###
214     def Fit_func(Time_axis, E_tuned, motion_time_shift, p, time_resolution, A_bcg, C_bcg, N_0):
215         Fit_func = np.convolve(Gaussian(G_Time_axis, time_resolution),
216                                (1 / 500) * Simulation_func_exp(Time_axis, E_tuned,
217                                                                    motion_time_shift, A_bcg, C_bcg, N_0,
218                                                                    p),
219                                mode='same') # The 1/500 factor is there because of the dt in
220                                               convolution integral
221     return Fit_func
222
223     ### Cuted Fit_func ###
224     def Cuted_fit_func(Time_axis, E_tuned, motion_time_shift, p, time_resolution, A_bcg, C_bcg,
225                        N_0):
226         Cuted_fit_func = Fit_func(Time_axis, E_tuned, motion_time_shift, p, time_resolution,
227                                   A_bcg, C_bcg, N_0)[
228             data_range] # Function is cuted due to the numerical artefacts at the beginning of
229                           simulation_function
230     # and data format
231     return Cuted_fit_func

```

```

218
219 ### Define your Combined_fit_function to accept variable arguments ###
220 def Combined_fit_function(Time_axis, time_resolution, *args):
221     num_args = len(args)
222     motion_time_shift_values = args[:(len(E_tuned_values) // repetitions)]
223     C_bcg_values = args[(len(E_tuned_values) // repetitions):2 * (len(E_tuned_values) //
224         repetitions)]
225     p_values = args[2 * (len(E_tuned_values) // repetitions):3 * (len(E_tuned_values) //
226         repetitions)]
227     A_bcg_values = args[3 * (len(E_tuned_values) // repetitions):3 * (len(E_tuned_values)
228         // repetitions) + (
229         (num_args - 3 * (len(E_tuned_values) // repetitions)) // 2)]
230     N_0_values = args[3 * (len(E_tuned_values) // repetitions) + (
231         (num_args - 3 * (len(E_tuned_values) // repetitions)) // 2):]
232     combined_fits = []
233
234     ### Create a cycle iterator for p_values ###
235     motion_time_shift_cycle = itertools.cycle(motion_time_shift_values)
236     C_bcg_cycle = itertools.cycle(C_bcg_values)
237     p_cycle = itertools.cycle(p_values)
238
239     for E_tuned, N_0, A_bcg in zip(E_tuned_values, N_0_values, A_bcg_values):
240         motion_time_shift = next(motion_time_shift_cycle)
241         C_bcg = next(C_bcg_cycle)
242         p = next(p_cycle)
243
244         combined_fits.append(
245             Cuted_fit_func(Time_axis, E_tuned, motion_time_shift, p, time_resolution,
246                 A_bcg, C_bcg, N_0))
247         combined_fits.append(
248             Cuted_fit_func(Time_axis, -E_tuned, motion_time_shift, p, time_resolution,
249                 A_bcg, C_bcg, N_0))
250
251     return np.concatenate(
252         combined_fits) # The first half corresponds to data with positive E_tuned (first
253         time histogram) ...
254
255 #####
256 #####
257
258 #####
259 ##### Data processing #####
260
261 ### Load data ###
262 signal_data = signal_data_combined
263 error = np.sqrt(signal_data)
264
265 #####
266 #####
267
268 #####
269 ##### Fitting #####
270
271 value_counts = Counter(Vpp_values)
272 repetitions = min(value_counts.values())
273 print('datafiles for one Vpp: ', repetitions)
274
275 initial_guess_list = [0.15, 3.5, 0.0035, 15.5, 80,
276     300000] # Initial guess for the parameters --> [time_shift, p,
277     time_resolution, A_bcg,
278
279 # C_bcg, N_0]
280 lower_bounds_list = [0, 2.5, 0.002, 5, 20, 2e5] # Lower limits for each parameter
281 upper_bounds_list = [1, 4.5, 0.005, 20, 180, 3.5e5] # Upper limits for each parameter
282
283 p_i = np.ones(len(E_tuned_values) // repetitions) * initial_guess_list[1]
284 N_0_i = np.ones(len(E_tuned_values)) * initial_guess_list[5]
285 A_bcg_i = np.ones(len(E_tuned_values)) * initial_guess_list[3]
286 motion_time_shift_i = np.ones(len(E_tuned_values) // repetitions) * initial_guess_list[0]
287 C_bcg_i = np.ones(len(E_tuned_values) // repetitions) * initial_guess_list[4]
288
289 p_l = np.ones(len(E_tuned_values) // repetitions) * lower_bounds_list[1]
290 N_0_l = np.ones(len(E_tuned_values)) * lower_bounds_list[5]
291 A_bcg_l = np.ones(len(E_tuned_values)) * lower_bounds_list[3]
292 motion_time_shift_l = np.ones(len(E_tuned_values) // repetitions) * lower_bounds_list[0]
293 C_bcg_l = np.ones(len(E_tuned_values) // repetitions) * lower_bounds_list[4]
294
295 p_h = np.ones(len(E_tuned_values) // repetitions) * upper_bounds_list[1]
296 N_0_h = np.ones(len(E_tuned_values)) * upper_bounds_list[5]
297 A_bcg_h = np.ones(len(E_tuned_values)) * upper_bounds_list[3]
298 motion_time_shift_h = np.ones(len(E_tuned_values) // repetitions) * upper_bounds_list[0]
299 C_bcg_h = np.ones(len(E_tuned_values) // repetitions) * upper_bounds_list[4]
300
301 ### Perform the curve fitting ###
302 initial_guess = [initial_guess_list[2]] + list(motion_time_shift_i) + list(C_bcg_i) +
303     list(p_i) + list(
304         A_bcg_i) + list(N_0_i) # Initial guess for the parameters
305 print('initial guess:', initial_guess)
306 lower_bounds = [lower_bounds_list[2]] + list(motion_time_shift_l) + list(C_bcg_l) +
307     list(p_l) + list(
308         A_bcg_l) + list(N_0_l) # Lower limits for each parameter
309 upper_bounds = [upper_bounds_list[2]] + list(motion_time_shift_h) + list(C_bcg_h) +
310     list(p_h) + list(

```

```

303     A_bcg_h) + list(N_0_h) # Upper limits for each parameter
304
305 fit_params, covariance_matrix = curve_fit(Combined_fit_function, Time_axis, signal_data,
306     p0=initial_guess,
307     sigma=error, absolute_sigma=True,
308     bounds=(lower_bounds, upper_bounds),
309     ftol=3e-16, verbose=2, method="trf", maxfev=300)
310
311 ### Extract parameter uncertainties from the covariance matrix (diagonal elements) ###
312 parameter_uncertainties = np.sqrt(np.diag(covariance_matrix))
313
314 ### Extract the fitted parameters and uncertainties ###
315 time_resolution_fit, *args_fit = fit_params
316 time_resolution_unc, *args_unc = parameter_uncertainties
317 num_args_fit = len(args_fit)
318 motion_time_shift_fit = [x for x in args_fit[: (len(E_tuned_values) // repetitions)] for _ in
319     range(repetitions)] # duplicate elements (e.g. [1, 2] --> [1, 1,
320     2, 2])
321 motion_time_shift_unc = [x for x in args_unc[: (len(E_tuned_values) // repetitions)] for _ in
322     range(repetitions)]
323 C_bcg_fit = [x for x in args_fit[(len(E_tuned_values) // repetitions):2 *
324     (len(E_tuned_values) // repetitions)] for
325     _ in range(repetitions)]
326 C_bcg_unc = [x for x in args_unc[(len(E_tuned_values) // repetitions):2 *
327     (len(E_tuned_values) // repetitions)] for
328     _ in range(repetitions)]
329 p_fit = [x for x in args_fit[2 * (len(E_tuned_values) // repetitions):3 *
330     (len(E_tuned_values) // repetitions)] for
331     _ in range(repetitions)]
332 p_unc = [x for x in args_unc[2 * (len(E_tuned_values) // repetitions):3 *
333     (len(E_tuned_values) // repetitions)] for
334     _ in range(repetitions)]
335 A_bcg_fit = args_fit[3 * (len(E_tuned_values) // repetitions):3 * (len(E_tuned_values) //
336     repetitions) + (
337     (num_args_fit - 3 * (len(E_tuned_values) // repetitions)) // 2)]
338 A_bcg_unc = args_unc[3 * (len(E_tuned_values) // repetitions):3 * (len(E_tuned_values) //
339     repetitions) + (
340     (num_args_fit - 3 * (len(E_tuned_values) // repetitions)) // 2)]
341 N_0_fit = args_fit[3 * (len(E_tuned_values) // repetitions) + (
342     (num_args_fit - 3 * (len(E_tuned_values) // repetitions)) // 2):]
343 N_0_unc = args_unc[3 * (len(E_tuned_values) // repetitions) + (
344     (num_args_fit - 3 * (len(E_tuned_values) // repetitions)) // 2):]
345
346 print('Fitted parameters [motion_time_shift, time_resolution, C_bcg, p, A_bcg, N_0]=',
347     fit_params)
348
349 ### Generate the fitted curve ###
350 fitted_curve = Combined_fit_function(Time_axis, time_resolution_fit, *args_fit)
351
352 ### Calculate residuals ###
353 residuals = (signal_data_combined - fitted_curve)
354 abs_residuals = np.abs(residuals)
355 residuals_mean = np.mean(abs_residuals)
356 print('residuals mean:', residuals_mean)
357
358 ### Calculate chi**2 ###
359 def chi2(signal_data_combined, fitted_curve):
360     if len(signal_data_combined) != len(fitted_curve):
361         raise ValueError("signal_data and fitted_curve lists must have the same length")
362
363     diff = signal_data_combined - fitted_curve
364     squared_diff = diff ** 2
365     weighted_squared_diff = squared_diff / signal_data_combined
366     total_sum = np.sum(weighted_squared_diff)
367
368     return total_sum
369
370 chi_2 = chi2(signal_data_combined, fitted_curve)
371 chi_2_norm = chi_2 / (len(signal_data_combined) - 5)
372 print("chi2:", chi_2_norm)
373
374 #####
375 #####
376 #####
377 ##### Plot #####
378
379 length = len(signal_data_combined) / (2 * len(E_tuned_values))
380
381 for i in np.linspace(0, len(E_tuned_values) - 1, len(E_tuned_values)):
382     i = int(i) # Convert i to an integer
383
384     idx_start_1 = int(2 * i * length)
385     idx_end_1 = int(idx_start_1 + length)
386     idx_start_2 = int(2 * i * length + length)
387     idx_end_2 = int(idx_start_2 + length)
388
389     fig, ((ax1), (ax2), (ax3), (ax4)) = plt.subplots(4, 1, gridspec_kw={'height_ratios':
390         [7, 2.5, 7, 2.5]}),
391         figsize=(16, 9)
392
393     ax1.set_title(f'FIT of 9_MHz, E={E_tuned_values[i]:.2f}, Vpp={Vpp_values[i]:.2f}',
394         fontweight='bold',

```

```

385         fontsize=17)
386     ax1.errorbar(Time_axis[data_range] * 1000, signal_data_combined[idx_start_1:idx_end_1],
387                 yerr=error[idx_start_1:idx_end_1], fmt='o', markersize=2, capsiz=2,
388                 linewidth=1,
389                 label='Data_1. histogram')
390     ax1.plot(Time_axis[data_range] * 1000, fitted_curve[idx_start_1:idx_end_1],
391             linewidth=1.5, label='Fit')
392     ax1.set_xlabel(r'$\mathbf{t}$ [ns]', fontsize=13, fontweight='bold')
393     ax1.set_ylabel(r'$\mathbf{N}_0$ [-]', fontsize=13, fontweight='bold')
394     info_str = f'$time\; shift_{p_fit[i]:.3f}_{p_unc[i]:.3f} ns\ n'
395     info_str += f'$p_{p_fit[i]:.3f}_{p_unc[i]:.3f} [-]\ n'
396     info_str += f'$time\; resolution_{1000*time_resolution_fit:.3f}_{1000*time
397     time_resolution_unc:.3f} ns\ n'
398     info_str += f'$C_{bcg}_{C_bcg_fit[i]:.3f}_{C_bcg_unc[i]:.3f} us\ n'
399     info_str += f'$N_0_{N_0_fit[i]:.0f}_{N_0_unc[i]:.0f} [-]'
400     ax1.text(0.01, 0.1, info_str, transform=ax1.transAxes,
401            bbox=dict(facecolor='white', edgecolor='black', alpha=0.7))
402     ax1.legend(loc='upper_right')
403
404     ax2.set_title(f'Residuals, E={E_tuned_values[int(i)]:.2f}', fontweight='bold',
405                fontsize=13)
406     ax2.plot(Time_axis[data_range] * 1000, residuals[idx_start_1:idx_end_1],
407            label='Residuals')
408     ax2.axhline(np.sqrt(N_0_fit[i]), color='green', linestyle='--', label='$\sigma_{N_0}$')
409     ax2.axhline(-np.sqrt(N_0_fit[i]), color='green', linestyle='--')
410     ax2.axhline(2 * np.sqrt(N_0_fit[i]), color='red', linestyle='--',
411            label='$2\sigma_{N_0}$')
412     ax2.axhline(-2 * np.sqrt(N_0_fit[i]), color='red', linestyle='--')
413     ax2.set_xlabel(r'$\mathbf{t}$ [ns]', fontsize=9, fontweight='bold')
414     ax2.set_ylabel(r'$\mathbf{N}_0$ [-]', fontsize=9, fontweight='bold')
415     ax2.legend(fontsize='7', loc='upper_right')
416
417     ax3.set_title(f'FIT of 9 MHz, E={-E_tuned_values[i]:.2f}, Vpp={Vpp_values[i]:.2f}',
418                fontweight='bold',
419                fontsize=17)
420     ax3.errorbar(Time_axis[data_range] * 1000, signal_data_combined[idx_start_2:idx_end_2],
421                 yerr=error[idx_start_2:idx_end_2], fmt='o', markersize=2, capsiz=2,
422                 linewidth=1,
423                 label='Data_2. histogram')
424     ax3.plot(Time_axis[data_range] * 1000, fitted_curve[idx_start_2:idx_end_2],
425            linewidth=1.5, label='Fit')
426     ax3.set_xlabel(r'$\mathbf{t}$ [ns]', fontsize=13, fontweight='bold')
427     ax3.set_ylabel(r'$\mathbf{N}_0$ [-]', fontsize=13, fontweight='bold')
428     ax3.legend(loc='upper_right')
429
430     ax4.set_title(f'Residuals, E={-E_tuned_values[i]:.2f}', fontweight='bold', fontsize=13)
431     ax4.plot(Time_axis[data_range] * 1000, residuals[idx_start_2:idx_end_2],
432            label='Residuals')
433     ax4.axhline(np.sqrt(N_0_fit[i]), color='green', linestyle='--', label='$\sigma_{N_0}$')
434     ax4.axhline(-np.sqrt(N_0_fit[i]), color='green', linestyle='--')
435     ax4.axhline(2 * np.sqrt(N_0_fit[i]), color='red', linestyle='--',
436            label='$2\sigma_{N_0}$')
437     ax4.axhline(-2 * np.sqrt(N_0_fit[i]), color='red', linestyle='--')
438     ax4.set_xlabel(r'$\mathbf{t}$ [ns]', fontsize=9, fontweight='bold')
439     ax4.set_ylabel(r'$\mathbf{N}_0$ [-]', fontsize=9, fontweight='bold')
440     ax4.legend(fontsize='7', loc='upper_right')
441
442     plt.subplots_adjust(bottom=0.1, hspace=0.8)
443
444     ### Save the figure ###
445     figure_filename = file_names[int(i)]
446     figure_path = os.path.join(save_folder, f'{figure_filename}.png')
447     plt.savefig(figure_path, dpi=900)
448     plt.close() # Close the current figure to release memory
449
450     #####
451     #####
452
453     return motion_time_shift_fit, time_resolution_fit, C_bcg_fit, absorption_shift, p_fit,
454            A_bcg_fit, N_0_fit, \
455            residuals_mean, chi_2_norm, motion_time_shift_unc, time_resolution_unc, C_bcg_unc,
456            p_unc, A_bcg_unc, N_0_unc
457
458     #####
459     ##### select data and extract parameters #####
460
461     folder_path = 'D:/xxx/' # select a folder with files to fit
462     save_folder = 'D:/xxx/' # select a folder for saving fits
463     parameter_file_path = 'D:/xxx/fited_param.txt' # select a folder for saving fitted
464     # parameters
465     data_range = slice(100, 300)
466     E_tuned_values = [] # To store extracted E_tuned values
467     Vpp_values = []
468     signal_data_combined = [] # To store concatenated signal data
469     file_names = []
470
471     allowed_E_values = [13, 16.5]
472     allowed_Vpp_values = [8, 8.25]
473
474     for filename in os.listdir(folder_path):
475         if filename.endswith('.sumdata'):

```

```

466 match_E = re.search(r'E=(\d.+)\.sumdata', filename)
467 if match_E:
468     extracted_value_E = float(match_E.group(1))
469     if extracted_value_E in allowed_E_values:
470         match_Vpp = re.search(r'Vpp=(\d.+)\_', filename)
471         if match_Vpp:
472             extracted_value_Vpp = float(match_Vpp.group(1))
473             if extracted_value_Vpp in allowed_Vpp_values:
474                 file_path = os.path.join(folder_path, filename)
475
476                 ### Load data from the current file ###
477                 data = np.loadtxt(file_path)
478
479                 ### Process first time histogram ###
480                 First_signal_data_1half = data[:, 5]
481                 First_signal_data_2half = data[:, 6]
482                 Histogram_1 = np.concatenate((First_signal_data_1half,
483                                             First_signal_data_2half))
484                 Histogram_1_cut = Histogram_1[data_range]
485                 error1 = np.sqrt(Histogram_1_cut)
486
487                 ### Process second time histogram ###
488                 Second_signal_data_1half = data[:, 7]
489                 Second_signal_data_2half = data[:, 8]
490                 Histogram_2 = np.concatenate((Second_signal_data_1half,
491                                             Second_signal_data_2half))
492                 Histogram_2_cut = Histogram_2[data_range]
493                 error2 = np.sqrt(Histogram_2_cut)
494
495                 ### Data for fitting ###
496                 signal_data = np.concatenate((Histogram_1_cut, Histogram_2_cut))
497
498                 ### Store the signal data and extract E_tuned from the filename ###
499                 signal_data_combined.append(signal_data)
500                 E_tuned_str = re.search(r'E=(\d.+)\.sumdata', filename)
501                 if E_tuned_str:
502                     E_tuned = float(E_tuned_str.group(1))
503                     E_tuned_values.append(E_tuned)
504                     print(f"Processed file: {filename}, E_tuned: {E_tuned}")
505                 file_names.append(os.path.splitext(filename)[0]) # Append the filename
506                 to the list
507
508                 ### Extract Vpp value ###
509                 Vpp_str = re.search(r'Vpp=(\d.+)\_', filename)
510                 if Vpp_str:
511                     Vpp = float(Vpp_str.group(1))
512                     Vpp_values.append(Vpp)
513
514 ### Concatenate all the processed histograms ###
515 signal_data_combined = np.concatenate(signal_data_combined)
516
517 print('signal_data_combined len:', len(signal_data_combined))
518 print('E_tuned values:', E_tuned_values)
519 print('Vpp values:', Vpp_values)
520
521 ### Perform the fitting process after processing all files ###
522 motion_time_shift_fit, time_resolution_fit, C_bcg_fit, absorption_shift, p_fit, A_bcg_fit,
523 N_0_fit, residuals_mean, \
524 chi_2_norm, motion_time_shift_unc, time_resolution_unc, C_bcg_unc, p_unc, A_bcg_unc,
525 N_0_unc = Fit_file(
526     E_tuned_values, Vpp_values, signal_data_combined, save_folder, data_range)
527
528 parameter_names = ['E_tuned', 'V_pp', 'absorption_shift', 'time_resolution_fit',
529                  'time_resolution_unc', 'p_fit',
530                  'p_unc', 'C_bcg_fit', 'C_bcg_unc', 'A_bcg_fit', 'A_bcg_unc', 'N_0_fit',
531                  'N_0_unc', 'residuals_mean',
532                  'chi_2_norm']
533 parameter_file = open(parameter_file_path, 'a')
534 parameter_file.write(','.join(parameter_names) + '\n')
535
536 for i in range(len(E_tuned_values)):
537     i = int(i) # Convert i to an integer
538
539     ### Create a list to hold the parameter values as strings ###
540     parameter_lines =
541         [f'{E_tuned_values[i]}\t{Vpp_values[i]}\t{absorption_shift}\t{time_resolution_fit}'
542          f'\t{time_resolution_unc}\t{p_fit[i]}\t{p_unc[i]}\t{C_bcg_fit[i]}'
543          f'\t{C_bcg_unc[i]}\t{A_bcg_fit[i]}\t{A_bcg_unc[i]}\t{N_0_fit[i]}'
544          f'\t{N_0_unc[i]}\t{residuals_mean}\t{chi_2_norm}']
545
546     ### Write the parameter values in the subsequent lines ###
547     parameter_file.write(','.join(parameter_lines) + '\n')
548
549 ### Close the parameter file ###
550 parameter_file.close()
551
552 #####
553 #####
554
555 # Script:
556 # Jungling Tomas
557 # Stejskal Ales

```